

T.C.
GEBZE TEKNİK ÜNİVERSİTESİ
FEN BİLİMLERİ ENSTİTÜSÜ

BETONARME BİNALARDA
DOĞRUSAL OLMAYAN STATİK İTME ANALİZ
YAKLAŞIMININ ETKİNLİĞİNİN İNCELENMESİ

ÖZCAN YILMAZ
YÜKSEK LİSANS TEZİ
İNŞAAT MÜHENDİSLİĞİ ANABİLİM DALI
DEPREM VE YAPI MÜHENDİSLİĞİ PROGRAMI

GEBZE
2023

T.C.
GEBZE TEKNİK ÜNİVERSİTESİ
FEN BİLİMLERİ ENSTİTÜSÜ

**BETONARME BİNALARDA DOĞRUSAL
OLMAYAN STATİK İTME ANALİZ
YAKLAŞIMININ ETKİNLİĞİNİN
İNCELENMESİ**

ÖZCAN YILMAZ
YÜKSEK LİSANS TEZİ
İNŞAAT MÜHENDİSLİĞİ ANABİLİM DALI
DEPREM VE YAPI MÜHENDİSLİĞİ PROGRAMI

DANIŞMANI
DR. ÖĞR. ÜY. AHMET ANIL DİNDAR
II. DANIŞMANI
DOÇ. DR. ALİ BOZER

GEBZE

2023

T.R.
GEBZE TECHNICAL UNIVERSITY
GRADUATE SCHOOL OF NATURAL AND APPLIED SCIENCES

**INVESTIGATION OF THE
EFFECTIVENESS OF NONLINEAR STATIC
PUSHOVER ANALYSIS APPROACH IN
REINFORCED CONCRETE BUILDINGS**

ÖZCAN YILMAZ
A THESIS SUBMITTED FOR THE DEGREE OF
MASTER OF SCIENCE
DEPARTMENT OF CIVIL ENGINEERING
EARTHQUAKE AND STRUCTURAL
ENGINEERING PROGRAM

THESIS SUPERVISOR
ASSIST. PROF. DR. AHMET ANIL DİNDAR
II. THESIS SUPERVISOR
ASSOC. PROF. DR. ALİ BOZER

GEBZE

2023



YÜKSEK LİSANS JÜRİ ONAY FORMU

GTÜ Fen Bilimleri Enstitüsü Yönetim Kurulu'nun 13/07/2023 tarih ve 2023/39 sayılı kararıyla oluşturulan jüri tarafından 26/07/2023 tarihinde tez savunma sınavı yapılan Özcan Yılmaz'ın tez çalışması İnşaat Mühendisliği Anabilim Dalı, Deprem ve Yapı Mühendisliği Programında YÜKSEK LİSANS tezi olarak kabul edilmiştir.

JÜRİ

ÜYE

(TEZ DANIŞMANI)

: DR. ÖĞR. ÜY. AHMET ANIL DİNDAR

ÜYE

(II. DANIŞMANI)

: DOÇ. DR. ALİ BOZER

(ESKİŞEHİR TEKNİK ÜNİVERSİTESİ)

ÜYE

: DR. ÖĞR. ÜY. KIVANÇ TAŞKIN

(ESKİŞEHİR TEKNİK ÜNİVERSİTESİ)

ÜYE

: DR. ÖĞR. ÜY. ÜLGİN MERT-TUĞSAL

(GEBZE TEKNİK ÜNİVERSİTESİ)

ÜYE

: DOÇ. DR. HASAN ÖZKAYNAK

(BEYKENT ÜNİVERSİTESİ)

ONAY

Gebze Teknik Üniversitesi Fen Bilimleri Enstitüsü Yönetim Kurulu'nun

...../...../..... tarih ve/..... sayılı kararı.

İMZA/MÜHÜR

ÖZET

Bu tez çalışmasında, Sabit Tek Modlu İtme Analizi (STMİA) ile Uyarlanan Tek Modlu İtme Analizi (UTMİA) yöntemlerinin sonuçlarının karşılaştırılması amaçlanmıştır. Bununla birlikte, bu yöntemlerin “ETABS (Extended Three-Dimensional Analysis of Building Systems)” adlı yapısal analiz programında kolaylıkla uygulanabilmesi ve hızlı bir şekilde sonuçlarının değerlendirilebilmesi amacıyla bir Excel makro uygulaması geliştirilmiştir. Çalışmada Türkiye Bina Deprem Yönetmeliği – 2018’e göre tasarlanmış, taşıyıcı sistemi betonarme moment çerçevelerinden oluşan 5 ve 10 katlı yapı modelleri ve bunların zemin kat kolon donatıları azaltılmış varyasyonları olmak üzere dört farklı yapı modeli kullanılmıştır. Uyarlanan tek modlu itme analizi (UTMİA) yönteminde, her biri yapıda yaklaşık 10mm tepe deplasmanı oluşturacak şekilde çok sayıda ardışık itme analizi yapılmıştır. Ardışık itme analizlerinin her birinin son adımı, bir sonraki itme analizinin başlangıç koşulu olarak kabul edilmiştir. Bununla birlikte sonlu miktarda her itme aralığı sonunda (örneğin 10mm tepe deplasmanlarında), bir sonraki analizde kullanılacak olan yatay yük dağılımını belirlemek için güncel hakim mod şekli belirlenmiştir. Analizler X ve Y doğrultularında, farklı deprem düzeyleri (DD1, DD2 ve DD3) için yürütülmüştür. Analizlerin sonucunda binaların kapasite eğrileri, UTMİA boyunca binaların titreşim periyodundaki ve birinci mod şeklindeki değişim, elemanların hasar seviyeleri, binaların deprem performans seviyeleri ve kolonların bina tepe deplasmanı – birim şekil değiştirme ilişkileri incelenmiş ve birbirleriyle karşılaştırılmıştır. Çalışma sonucunda, binaların taşıyıcı elemanlarında meydana gelen plastik şekil değiştirmeler arttıkça, iki analiz yönteminden elde edilen sonuçların farklılaştığı, düşük dayanımlı ve/veya deprem talebinin yüksek olduğu binalarda sonuçlar arasındaki farkların daha belirgin olduğu, deprem talebinin düşük olduğu durumlarda ise iki yöntemin birbirine çok yakın sonuçlar verdiği tespit edilmiştir.

Anahtar Kelimeler: Betonarme Binalar, Deprem Performans Hesabı, Artımsal Doğrusal Olmayan Analiz.

SUMMARY

In this thesis, it's aimed to compare the results of Constant Single Mode Pushover (CSMP) and Adaptive Single Mode Pushover (ASMP) analysis methods. Besides, an Excel macro application has been developed to apply these methods on the structural analysis program named ETABS and evaluate the results fastly. In this work, four building models were used: 5 and 10 storey buildings with the RC moment frames which are designed according to TBSC - 2018 and variations of these buildings with reduced reinforcement in ground floor columns. In ASMP method, numerous consecutive pushover analysis each are causing approximately 10mm roof displacement were performed. Results of each analysis have been accepted as beginning condition of the next analysis. At the end of each analyzes, the current mode shapes has been designated to determine the horizontal force distribution along the building. Analyzes were performed in X and Y directions for earthquake levels DD1, DD2, DD3. At the end of the analyzes the capacity curves, the change in the vibration periods and first mode shapes, damage levels of the elements, earthquake performance levels of the buildings and roof displacement – strain relations of columns during ASMPA were examined and compared with each other. It has been revealed that results from both methods differ when plastic deformation on the structural elements increase, that results have bigger difference on buildings with lower strength and/or high seismic demand and that results of both methods are close to each other in cases of where seismic demand is low.

Keywords: Reinforced Concrete Buildings, Earthquake Performance Evaluation, Incremental Nonlinear Analysis.

TEŞEKKÜR

Başta, tez çalışmam boyunca bilgi ve tecrübelerini benden esirgemeyen, çalışmamın kalitesini arttırmak adına değerli önerilerde bulunan ve yol gösteren saygıdeğer hocalarım Dr. Öğr. Üy. Ahmet Anıl Dindar’a ve Doç. Dr. Ali Bozer’e derin bir minnettarlık duyuyor ve teşekkürlerimi sunuyorum.

Beni yüksek lisans eğitimim için teşvik eden ve cesaretlendiren değerli yöneticilerim M. Görkem Yıldız’a ve Murat Çelik’e,

Bana huzurlu bir çalışma ortamı sağlayarak destek olan ve çalışmalarına odaklanabilmem için çoğu zaman planlarını bana göre düzenleyen, bu süreç boyunca anlayışlı ve özverili olan sevgili aileme, annem Nilgün Yılmaz’a, babam Hüseyin Yılmaz’a ve abim Özkan Yılmaz’a,

Evliliğimizin ilk yılında bu yoğun çalışma tempomdan dolayı hiç şikayet etmeden beni destekleyen, çalışmamı tamamlamam konusunda beni daima motive eden, sevgisiyle ve tüm fedakarlıklarıyla hep yanımda olan çok kıymetli eşim Duygu Yılmaz’a tüm içtenliğimle teşekkür ediyorum.

İÇİNDEKİLER

	<u>Sayfa</u>
ÖZET	v
SUMMARY	vi
TEŞEKKÜR	vii
İÇİNDEKİLER	viii
SİMGELER ve KISALTMALAR DİZİNİ	x
ŞEKİLLER DİZİNİ	xii
TABLolar DİZİNİ	xvi
1.GİRİŞ	1
1.1 Araştırma Motivasyonu	2
1.2 Kapsam	3
1.3 İçerik	4
2. DOĞRUSAL OLMAYAN YAPI ANALİZİ İLE TASARIM	6
YAKLAŞIMI	
2.1. Doğrusal Olmayan Statik İtme Analizi Yöntemleri	7
2.2. Yönetmeliklerde Doğrusal Olmayan Modelleme ile Analiz	10
2.2.1. DBYBHY-2007'ye Göre Doğrusal Olmayan Modelleme ile	10
Analiz ve Yapı Deprem Performansının Belirlenmesi	
2.2.2. TBDY-2018'e Göre Doğrusal Olmayan Modelleme ile	14
Analiz ve Yapı Deprem Performansının Belirlenmesi	
3. YÖNTEM	19
3.1. Hedef Tepe Deplasmanının Belirlenmesi	20
3.2. Yapısal Analizlerde Kullanılan Araçlar	22
3.2.1. Tez Kapsamında Oluşturulan Excel Makro Uygulaması	24
3.2.2. Excel Makro Uygulamasının Kodlama Akış Şeması	26
4. SAYISAL ÖRNEKLER	33
4.1. Tez Kapsamında Kullanılan Bina Modelleri	33
4.2. Analizlerde Dikkate Alınan Deprem Etkileri	39
4.3. İtme Analizi Sonuçları	40
4.3.1. Kapasite Eğrilerinin Karşılaştırılması	43

4.3.2. Uyarlanan Tek Modlu İtme Analizi Boyunca Bina Periyodunun Değişimi	52
4.3.3. Binaların Performans Noktasındaki Kiriş Hasar Dağılımları	57
4.3.4. Binaların Performans Noktasındaki Kolon Hasar Dağılımları	61
4.3.5. Kolonlarda Bina Tepe Deplasmanı – Kesit Birim Şekil Değiştirmesi İlişkisinin İncelenmesi	65
4.3.6. Binaların Deprem Performans Seviyeleri	69
5. SONUÇLAR	71
KAYNAKLAR	73
ÖZGEÇMİŞ	75
EKLER	76

SİMGELER VE KISALTMALAR DİZİNİ

<u>Simgeler ve</u> <u>Kısaltmalar</u>	<u>Açıklamalar</u>
C_R	: Spektral yer değiştirme oranı
$d_{1,max}^{(X)}$: Modal tek serbestlik dereceli sistemin en büyük yer değiştirmesi
DD1	: 50 yılda aşılma olasılığı %2 (tekrarlanma periyodu 2475 yıl) olan deprem yer hareketi düzeyi
DD2	: 50 yılda aşılma olasılığı %10 (tekrarlanma periyodu 475 yıl) olan deprem yer hareketi düzeyi
DD3	: 50 yılda aşılma olasılığı %50 (tekrarlanma periyodu 72 yıl) olan deprem yer hareketi düzeyi
EI_0	: Çatlamamış kesite ait eğilme rijitliği
EI_e	: Çatlamış kesite ait eğilme rijitliği
f_e	: Elastik dayanım talebi
f_y	: Akma dayanımı
R_y	: Akma dayanımı azaltma katsayısı
$S_{ae}(T_1)$: Elastik dayanım talebine karşılık gelen elastik spektral ivme
S_{D1}	: 1.0 saniye periyot için tasarım spektral ivme katsayısı
S_{DS}	: Kısa periyot tasarım spektral ivme katsayısı
$S_{de}(T_1)$: Elastik tasarım spektral yer değiştirme
$S_{di}(T_1)$: Taşıyıcı sistemin birinci doğal titreşim periyodu T_1 'e karşı gelen doğrusal olmayan spektral yer değiştirme
T	: Yapının birinci doğal titreşim periyodu
T_A	: Yatay elastik tasarım ivme spektrumunun köşe periyodu
T_B	: Yatay elastik tasarım ivme spektrumunun köşe periyodu
u_{xN1}	: Yapı tepe noktası hedef deplasman değeri
ω	: Yapının doğal titreşim açısal frekansı
Γ_{x1}	: Yapının birinci moduna ait modal katılım çarpanı
ϕ_{xN1}	: Yapı tepe noktası mod şekli genliği
API	: Application Programming Interface
BH	: Belirgin Hasar Sınırı

CG	: Can Güvenliđi Sınırı
DBYBHY	: Deprem Bölgelerinde Yapılacak Binalar Hakkında Yönetmelik
DGT	: Dayanıma Göre Tasarım
ETABS	: Extended Three-Dimensional Analysis of Building Systems
GD	: Göçme Durumu
GÇ	: Göçme Sınırı
GÖ	: Göçme Öncesi Hasar Sınırı
GV	: Güvenlik Sınırı
HK	: Hemen Kullanım Performans Seviyesi
İYTS	: İvme – Yer Deđiştirme Tepki Spektrumu
KH	: Kontrollü Hasar Sınırı
MN	: Minimum Hasar Sınırı
SH	Sınırlı Hasar Sınırı
SRSS	Square Root of Sum of Squares
STMİA	Sabit Tek Modlu İtme Analizi
TBDY	Türkiye Bina Deprem Yönetmeliđi
UTMİA	Uyarlanan Tek Modlu İtme Analizi
ZTADOA	Zaman Tanım Alanında Doğrusal Olmayan Analiz

ŞEKİLLER DİZİNİ

<u>Sekil No:</u>	<u>Sayfa</u>
2.1 Kesit hasar bölgeleri.	11
2.2 Kesit hasar bölgeleri.	15
3.1 $T < T_B$ olması durumunda spektral yer değiştirme hedefi.	21
3.2 $T > T_B$ olması durumunda spektral yer değiştirme hedefi.	22
3.3 Excel makro uygulamasının görünümü.	25
3.4 Excel makro uygulaması kodlama akış şeması (1. kısım).	26
3.5 Excel makro uygulaması kodlama akış şeması (2. kısım).	27
3.6 Excel makro uygulaması kodlama akış şeması (3. kısım).	28
3.7 Excel makro uygulaması kodlama akış şeması (4. kısım).	29
3.8 Excel makro uygulaması kodlama akış şeması (5. kısım).	30
3.9 Excel makro uygulaması kodlama akış şeması (6. kısım).	31
4.1 5 Katlı binaların kolon donatı detayları.	35
4.2 10 Katlı binaların kolon donatı detayları.	36
4.3 5 Katlı binanın taşıyıcı sistem planı.	37
4.4 5 Katlı binanın perspektif görünümü.	38
4.5 10 Katlı binanın taşıyıcı sistem planı.	38
4.6 10 Katlı binanın perspektif görünümü.	39
4.7 Binalar için elde edilen yatay elastik tasarım ivme spektrumu.	40
4.8 5 Katlı binanın itme analizlerinden elde edilen kapasite eğrileri (+X).	43
4.9 5 Katlı binanın itme analizlerinden elde edilen kapasite eğrileri (+Y).	43
4.10 5 Katlı binanın UTMİA sonucunda birinci mod şeklinde meydana gelen değişim (+X).	44
4.11 5 Katlı binanın UTMİA sonucunda birinci mod şeklinde meydana gelen değişim (+Y).	45
4.12 10 Katlı binanın itme analizlerinden elde edilen kapasite eğrileri (+X).	45
4.13 10 Katlı binanın itme analizlerinden elde edilen kapasite eğrileri (+Y).	46

4.14	10 Katlı binanın UTMİA sonucunda birinci mod şeklinde meydana gelen değişim (+X).	46
4.15	10 Katlı binanın UTMİA sonucunda birinci mod şeklinde meydana gelen değişim (+Y).	47
4.16	5 Katlı, zemin katı zayıflatılmış binanın itme analizlerinden elde edilen kapasite eğrileri (+X).	47
4.17	5 Katlı, zemin katı zayıflatılmış binanın itme analizlerinden elde edilen kapasite eğrileri (+Y).	48
4.18	5 Katlı, zemin katı zayıflatılmış binanın UTMİA sonucunda birinci mod şeklinde meydana gelen değişim (+X).	49
4.19	5 Katlı, zemin katı zayıflatılmış binanın UTMİA sonucunda birinci mod şeklinde meydana gelen değişim (+Y).	49
4.20	10 Katlı, zemin katı zayıflatılmış binanın itme analizlerinden elde edilen kapasite eğrileri (+X).	50
4.21	10 Katlı, zemin katı zayıflatılmış binanın itme analizlerinden elde edilen kapasite eğrileri (+Y).	50
4.22	10 Katlı, zemin katı zayıflatılmış binanın UTMİA sonucunda birinci mod şeklinde meydana gelen değişim (+X).	51
4.23	10 Katlı, zemin katı zayıflatılmış binanın UTMİA sonucunda birinci mod şeklinde meydana gelen değişim (+Y).	51
4.24	5 Katlı binanın UTMİA boyunca periyot değişimi (+X).	52
4.25	5 Katlı binanın UTMİA boyunca periyot değişimi (+Y).	53
4.26	5 Katlı, zemin katı zayıflatılmış binanın UTMİA boyunca periyot değişimi (+X).	53
4.27	5 Katlı, zemin katı zayıflatılmış binanın UTMİA boyunca periyot değişimi (+Y).	54
4.28	10 Katlı binanın UTMİA boyunca periyot değişimi (+X).	54
4.29	10 Katlı binanın UTMİA boyunca periyot değişimi (+Y).	55
4.30	10 Katlı, zemin katı zayıflatılmış binanın UTMİA boyunca periyot değişimi (+X).	55
4.31	10 Katlı, zemin katı zayıflatılmış binanın UTMİA boyunca periyot değişimi (+Y).	56

4.32	5 Katlı binanın (Bina-1) STMİA sonucunda tespit edilen kiriş hasar seviyelerinin katlara göre dağılımı (+Y yönü).	57
4.33	5 Katlı binanın (Bina-1) UTMİA sonucunda tespit edilen kiriş hasar seviyelerinin katlara göre dağılımı (+Y yönü).	58
4.34	5 Katlı binanın (Bina-1) STMİA ve UTMİA sonucunda 4.katında tespit edilen kiriş hasar seviyeleri (Deprem düzeyi: DD1).	58
4.35	10 Katlı binanın (Bina-3) STMİA sonucunda tespit edilen kiriş hasar seviyelerinin katlara göre dağılımı (+Y yönü).	59
4.36	10 Katlı binanın (Bina-3) UTMİA sonucunda tespit edilen kiriş hasar seviyelerinin katlara göre dağılımı (+Y yönü).	59
4.37	10 Katlı binanın (Bina-3) STMİA ve UTMİA sonucunda 8.katında tespit edilen kiriş hasar seviyeleri (Deprem düzeyi: DD1).	60
4.38	10 Katlı binanın (Bina-3) STMİA ve UTMİA sonucunda 9.katında tespit edilen kiriş hasar seviyeleri (Deprem düzeyi: DD1).	60
4.39	5 Katlı binanın (Bina-1) STMİA sonucunda tespit edilen kolon hasar seviyelerinin katlara göre dağılımı (+X yönü).	61
4.40	5 Katlı binanın (Bina-1) UTMİA sonucunda tespit edilen kolon hasar seviyelerinin katlara göre dağılımı (+X yönü).	61
4.41	5 Katlı binanın (Bina-1) STMİA ve UTMİA sonucunda zemin katında tespit edilen kolon hasar seviyeleri (Deprem düzeyi: DD1).	62
4.42	10 Katlı binanın (Bina-3) STMİA sonucunda tespit edilen kolon hasar seviyelerinin katlara göre dağılımı (+X yönü).	63
4.43	10 Katlı binanın (Bina-3) UTMİA sonucunda tespit edilen kolon hasar seviyelerinin katlara göre dağılımı (+X yönü).	63
4.44	10 Katlı binanın (Bina-3) STMİA ve UTMİA sonucunda zemin katında tespit edilen kolon hasar seviyeleri (Deprem düzeyi: DD1).	64
4.45	5 Katlı binanın (Bina-1) “2” numaralı kolonunun STMİA ve UTMİA sonuçlarından elde edilen bina tepe deplasmanı – birim şekil değiştirmesi ilişkisi (DD1, +X yönü, alt uç, beton).	65

4.46	5 Katlı binanın (Bina-1) “2” numaralı kolonunun STMİA ve UTMİA sonuçlarından elde edilen bina tepe deplasmanı – birim şekil değıştirmesi ilişkisi (DD1, +X yönü, alt uç, donatı).	66
4.47	10 Katlı binanın (Bina-3) “2” numaralı kolonunun STMİA ve UTMİA sonuçlarından elde edilen bina tepe deplasmanı – birim şekil değıştirmesi ilişkisi (DD1, +X yönü, alt uç, beton).	67
4.48	10 Katlı binanın (Bina-3) “2” numaralı kolonunun STMİA ve UTMİA sonuçlarından elde edilen bina tepe deplasmanı – birim şekil değıştirmesi ilişkisi (DD1, +X yönü, alt uç, donatı).	68

TABLÖLAR DİZİNİ

<u>Tablo No:</u>	<u>Sayfa</u>
2.1 Farklı deprem düzeylerinde binalar için öngörülen performans hedefleri.	12
2.2 Bilgi düzeyi katsayıları.	13
2.3 Bilgi düzeyi katsayıları.	17
4.1 Bina özellikleri.	34
4.2 5 Katlı binaların kolon donatı tablosu.	34
4.3 10 Katlı binaların kolon donatı tablosu.	35
4.4 Binaların bulunduğu konum için elde edilen spektral ivme katsayıları.	39
4.5 Farklı deprem düzeyleri için 5 katlı binanın (Bina-1) hedef tepe deplasmanının belirlenmesi.	40
4.6 Farklı deprem düzeyleri için 5 katlı zemin katı zayıflatılmış binanın (Bina-2) hedef tepe deplasmanının belirlenmesi.	41
4.7 Farklı deprem düzeyleri için 10 katlı binanın (Bina-3) hedef tepe deplasmanının belirlenmesi.	41
4.8 Farklı deprem düzeyleri için 10 katlı zemin katı zayıflatılmış binanın (Bina-4) hedef tepe deplasmanının belirlenmesi.	42
4.9 Binaların deprem performans seviyeleri (+X).	69
4.10 Binaların deprem performans seviyeleri (+Y).	70

1. GİRİŞ

Deprem mühendisliği alanındaki ilerlemeler ve geliştirilen özel yazılımlar sayesinde günümüzde, bir yapının olası deprem etkileri altındaki davranışını ve yapıda meydana gelebilecek hasar seviyesini belirlemek mümkün hale gelmiştir. Mevcut yapıların deprem güvenliğinin incelenmesi ihtiyacının yanı sıra, yeni yapılacak yapıların tasarımında da yapı deprem performansının belirlenmesi önem arz etmektedir. Yapıların deprem performansının belirlenmesi için, malzemelerin elastik olmayan davranışlarının dikkate alındığı doğrusal olmayan hesap yöntemleri kullanılmaktadır. Bu yöntemlerden en gerçekçi olanı, “Zaman Tanım Alanında Doğrusal Olmayan Dinamik Analiz (ZTADOA)” yöntemidir. Bu yöntem, seçilen ve ölçeklenen deprem yer hareketinin etkisi altında taşıyıcı sistemin hareket denklemlerini ifade eden diferansiyel denklem takımının zaman artımları ile adım adım doğrudan integrasyonunu içermektedir. Bu işlem sırasında, doğrusal olmayan davranış nedeni ile sistem rijitlik matrisinin hesap süresince değişimi göz önüne alınır [Türkiye Bina Deprem Yönetmeliği (TBDY), 2018]. Gerçek deprem kayıtlarının kullanıldığı ZTADOA yöntemi, doğru sonuçlar elde edebilmek için bir modelleme ve analiz süreci gerektirmektedir. Bununla birlikte analizlerin yürütülmesi ve sonuçların değerlendirilmesi oldukça fazla zaman almaktadır. Bu sebeple daha basit, hızlı ve aynı zamanda yeterli bir doğruluk seviyesinde sonuçlar veren alternatif yöntemlere ihtiyaç duyulmaktadır. ZTADOA yöntemine alternatif olarak en çok tercih edilen yöntem, “Sabit Tek Modlu İtme Analizi (STMİA)” yöntemidir.

Doğrusal Olmayan Statik İtme Analizi yöntemlerinden biri olan STMİA yönteminde ilk önce, olası deprem etkileri altında yapıda oluşması beklenen hedef tepe deplasman değeri belirlenir. Yapının ilgili doğrultudaki hakim mod şekli ile uyumlu bir yatay yük dağılımı kullanılarak, belirlenen hedef tepe deplasman değerine ulaşıncaya kadar yapı itilir. Hedef deplasman değerine ulaşıldığı andaki deformasyonlar dikkate alınarak elemanların doğrusal olmayan tanımlama yapılmış (plastik mafsallı) bölgelerindeki hasar seviyeleri belirlenir. Ancak bu yöntem genellikle düzenli ve simetrik yapılarda daha doğru sonuçlar vermektedir. Yapıda geometrik ya da yapısal düzensizliklerin bulunması (burulma, zayıf kat, yumuşak kat vs.), farklı kat yüklemelerinin olması gibi durumlar söz konusu olduğunda STMİA yöntemi yapı davranışını gerçekçi bir şekilde yansıtmayabilir. Bu yöntemin bir diğer dezavantajı da

taşıyıcı sistemin yapısal özelliklerindeki (periyot, mod şekli vb.) değişikliklerin dikkate alınmamasıdır. Oysa yapısal elemanlarda doğrusal ötesi davranışlar meydana geldikçe yapının rijitliği azalacak, mod şekli değişecektir. Bu dezavantajların giderilmesi ve itme analizinin tüm yapı tiplerinde uygulanabilirliğini arttırmak amacıyla çeşitli çalışmalar yürütülmüş ve birçok farklı yöntem geliştirilmiştir. Bu yöntemlere örnek olarak yapı davranışının belirlenmesinde yüksek modların da etkisinin dikkate alındığı çok modlu itme analizi yöntemleri, itme sırasında oluşan plastik deformasyonlara bağlı olarak mod şeklinde meydana gelen değişimlerin dikkate alındığı Uyarlanan tek/çok modlu itme analizi yöntemleri sayılabilir.

1.1. Araştırma Motivasyonu

Yapıların deprem etkilerine karşı dayanıklı olması, başta can güvenliğinin sağlanması olmak üzere depremin sosyal etkilerinin ve ekonomik kayıpların minimize edilmesi açısından büyük önem taşımaktadır. Depremlerin yol açtığı yıkım, yaşanan kayıplar ve toplumsal sorunlar, geçmişte birçok trajik olayın göstergesi olmuştur. Depreme karşı dayanıklı yapılar tasarlamak ve mevcut yapılardaki riskleri tespit etmek, deprem ve yapı mühendisliği alanındaki temel hedeflerdendir. Bu bağlamda, yapısal analiz yöntemleri ve araçları, yapıların deprem performansını değerlendirmede merkezi bir role sahiptir. Sabit Tek Modlu İtme Analizi (STMİA) yöntemi, yapıların deprem performansının belirlenmesinde kullanılan doğrusal olmayan analiz yöntemlerinden biridir. Günümüzdeki yapısal analiz programları kullanılarak kolaylıkla uygulanabilen, bu nedenle de mühendisler tarafından sıklıkla tercih edilen bu yöntemin genellikle düzenli ve simetrik yapılarda daha doğru sonuçlar verdiği bilinmektedir. Uyarlanan Tek Modlu İtme Analizi (UTMİA) yöntemi ise temelde STMİA yöntemiyle benzeşen ancak analiz süresince yapıda meydana gelen deformasyonlar nedeniyle oluşan rijitlik kaybını da dikkate alan bir yöntemdir.

Sabit Tek Modlu İtme Analizi (STMİA) ve Uyarlanan Tek Modlu İtme Analizi (UTMİA) yöntemlerinin sonuçlarını karşılaştırarak, bu iki yöntemin deprem performans tahminlerindeki farklarını ortaya koymak, analiz süresince meydana gelen rijitlik kaybının dikkate alınmasıyla elde edilen sonuçların, geleneksel STMİA yöntemine kıyasla ne kadar farklılaştığını ve hangi durumlarda daha güvenilir sonuçlar üretebileceğini belirlemek ve böylelikle yapı mühendislerinin daha güvenilir sonuçlara

ulařmalarını saęlayabilmek bu alıřmanın ana motivasyonunu oluřturmaktadır. Ayrıca, tez kapsamında geliřtirilen Excel makro uygulaması, STMİA ve UTMİA yöntemlerinin hızlı bir řekilde uygulanabilmesini ve sonuçlarının deęerlendirilmesini kolaylařtırmayı hedeflemektedir. Bu alıřma sonucunda mühendislerin, statik itme analizi ve analiz sonuçlarını deęerlendirme sürecini hızlandırmak için kullanabilecekleri bir araç sunulması amaçlanmıřtır.

1.2. Kapsam

Doęrusal olmayan sabit tek modlu itme analizi yöntemine göre daha gereki bir yaklařımla, yatay yüklerin etkisi altındaki yapıda oluřan plastik řekil deęiřtirmeler sonucunda mod řeklinde meydana gelen deęiřimleri dikkate alarak yük daęılımının analiz boyunca sürekli güncellendięi “Uyarlanan (Adaptive) Tek Modlu İtme Analizi (UTMİA)” yöntemi geliřtirilmiřtir. Bu konuda gemiřten günümüze ok sayıda alıřma yapılmıř olsa da pratikte bu yöntem, dünya apında yaygın olarak kullanılan yapısal analiz programlarında (ETABS, Sap2000) kolaylıkla uygulanabilir bir yöntem deęildir.

Bu tez kapsamında, yukarıda bahsedilen uyarlanan tek modlu itme analizi yöntemi ile sabit tek modlu itme analizi yöntemlerinin sonuçlarının karřılařtırılması amaçlanmıřtır. Ayrıca, her iki yöntemin de “ETABS” programında kolaylıkla uygulanabilmesi ve hızlı bir řekilde sonuçlarının deęerlendirilebilmesi amacıyla bir Excel makro uygulaması geliřtirilmiřtir. Geliřtirilen bu uygulama sayesinde, ETABS’ta oluřturulmuř ve elemanların doęrusal olmayan davranıřları tanımlanmıř olan bir yapı modelinde, otomatik olarak gerekli tüm analiz tanımlamaları yapılmakta ve alıřtırılmaktadır. Ardından analiz sonuçlarına göre söz konusu yapının deprem performans seviyesi TBDY-2018 Bölüm 15 kapsamında belirlenmektedir. Tez kapsamında, taşıyıcı sistemi yalnızca betonarme moment erevelerinden oluřan 5 ve 10 katlı yapılar üzerinde alıřılmıřtır. Farklı taşıyıcı sisteme sahip binalar (elik, ahřap, betonarme perdeli vb.) alıřma kapsamı dıřındadır. Söz konusu yapılar, geliřtirilen makro uygulaması kullanılarak farklı deprem düzeylerindeki (DD1, DD2 ve DD3) tasarım depremleri için, sabit ve uyarlanan tek modlu itme analizi yöntemlerinin her ikisiyle de analiz edilmiř, ardından sonuçları deęerlendirilerek elemanların hasar daęılımları ve bina performans seviyeleri belirlenmiřtir. İncelenen binaların tümü aynı

malzeme özelliklerine ve aynı plan geometrisine sahiptir. Binaların kat adetleri, eleman kesit boyutları ve/veya kesitlerinde bulunan donatılar birbirinden farklıdır. Bu çalışmada binaların farklı malzeme dayanımlarına sahip olması, bina planlarının farklı geometrilerde olması (planda çıkıntılar, üst katlarda kat alanının küçülmesi vb.) gibi durumlar dikkate alınmamıştır.

Yapılan bu çalışma ile, geleneksel sabit tek modlu itme analizi ve uyarlanan tek modlu itme analizi yöntemlerinin kıyaslanması ve her iki yöntemin de ETABS programında pratik bir şekilde uygulanmasına olanak sağlayacak bir aracın geliştirilmesi amaçlanmıştır. Analiz sonuçlarının kıyaslanması, taşıyıcı sistem elemanlarının hasar seviyeleri, kesitlerin birim şekil değiştirme değerleri, bina performans seviyeleri, bina periyotları ve mod şekilleri üzerinden yapılmıştır. Ancak, elemanlarda oluşan iç kuvvetler veya yapı tarafından sönmölen enerji miktarı gibi parametreler bu çalışmanın kapsamı dışında tutulmuştur.

1.3. İçerik

Bu tezin ikinci bölümünde, öncelikle doğrusal analiz yöntemlerinin bazı eksikliklerinden ve doğrusal olmayan analiz yöntemlerinin kullanılmasının gerekliliğinden bahsedilmiştir. Ardından, geçmişten günümüze kadar geliştirilen doğrusal olmayan statik itme analizi yöntemleri hakkında literatür bilgileri verilmiştir. Son olarak, deprem yönetmelikleri kapsamında doğrusal olmayan modelleme ile analiz ve bina deprem performansının belirlenmesine dair ilkeler anlatılmaktadır. Üçüncü bölümde, çalışmada kullanılacak olan analiz yöntemleri ve analizlerde kullanılacak olan araçlar hakkında bilgiler verilmiştir. Sayısal örneklerin yer aldığı dördüncü bölümde, ilk olarak analizleri yapılacak olan binalar tanıtlmış, binalarda bulunan kesitlerin donatı detayları, bina planları ve yapısal analiz modellerine ait görüntüler sunulmuştur. Analizlerde dikkate alınacak deprem etkilerinden bahsedilmiş, farklı deprem düzeyleri için oluşturulan yatay elastik tasarım ivme spektrumları gösterilmiştir. Ardından, itme analizlerinin sonuçlarından elde edilen kapasite eğrileri, mod şekilleri, bina periyotları, eleman hasar seviyeleri ve bina performans seviyeleri grafiklerle desteklenerek karşılaştırılmıştır. Beşinci ve son bölümde ise, sabit tek modlu itme analizi ile uyarlanan tek modlu itme analizi

yöntemlerinden elde edilen sonuçlarla ilgili yorumlar ve konuyla ilgili gelecekte yapılabilecek çalışma önerileri yer almaktadır.

2. DOĞRUSAL OLMAYAN YAPI ANALİZİ İLE TASARIM YAKLAŞIMI

Yeni yapılacak bir yapının tasarımında kullanılacak olan analiz yöntemleri, yapının niteliğine ve bulunduğu bölgenin depremselliğine bağlı olarak değişiklik göstermektedir. Hızlı ve kolay uygulanabilir olması nedeniyle yapı tasarımında temel olarak doğrusal analiz yöntemleri (Eşdeğer Deprem Yüğü, Mod Birleştirme Yöntemi, vb.) kullanılmaktadır. Doğrusal analiz yöntemlerinde binanın deprem etkisi altındaki davranışının lineer elastik olduğu kabulü yapılır. Doğrusal analiz yöntemlerinde dikkate alınan deprem kuvvetleri yönetmeliklerde belirtilen yapı davranış katsayıları ile azaltılarak, deprem anında yapıda plastik şekil değiştirmelerin meydana gelmesine izin verilir. Tasarımda kullanılan yük kombinasyonları, güvenlik katsayıları ve uygulanan sismik detaylarla yapıda can güvenliğinin sağlanması hedeflenir. Ancak bu tasarım yaklaşımında bazı eksiklikler söz konusudur.

Yönetmeliklere göre belirlenen statik kuvvetlerle yapılan doğrusal analizler sonucu elde edilen eleman iç kuvvetleri ile deprem etkisi altında doğrusal olmayan davranış gösteren yapıdaki iç kuvvetler birbirinden oldukça farklıdır. Doğrusal analizlerde, izin verilen plastik şekil değiştirmelerin yapının hangi bölgesinde ve ne seviyede meydana geleceğini belirlemek mümkün değildir. Bu nedenle tüm yapısal elemanlarda bazı sismik detaylar uygulanır. Ancak yine de uygulanan bu detayların her zaman yeterli olacağından emin olunamaz. Doğrusal analizlerle yapılan tasarımlarda yapının görelî kat ötelemeleri yönetmelikler tarafından sınırlandırılır. Ancak deprem etkisi altında plastik şekil değiştirmelerin meydana geldiği yapıdaki görelî kat ötelemeleri doğrusal analizlerle hesaplanandan farklı olacaktır. Bu durumda amaçlanan hasar kontrolü ve güvenlik sağlanamayabilir [Li, 1996].

Doğrusal analiz yöntemlerinde yapının gerçek davranışının tam olarak tespit edilememesi nedeniyle daha gelişmiş yöntemlere ihtiyaç duyulmuştur. Yapıların deprem etkisi altındaki gerçek davranışının daha doğru bir şekilde tespit edilebilmesi amacıyla doğrusal olmayan analiz yöntemleri geliştirilmiştir. Doğrusal olmayan analiz yöntemlerinde malzemelerin doğrusal ötesi davranışları da dikkate alınmaktadır. Bu sayede yapıda oluşması beklenen plastik şekil değiştirmelerin nerelerde ve ne mertebede oluşacağı tespit edilebilmektedir. Böylece, söz konusu doğrusal olmayan analiz yöntemleri hem mevcut yapıların deprem performansının belirlenmesine hem

de yeni yapılacak yapıların istenen performansı gösterecek şekilde tasarlanmasına olanak sağlamaktadır.

2.1. Doğrusal Olmayan Statik İtme Analizi Yöntemleri

Yapıların deprem davranışını belirlemede en gerçekçi sonuç veren yöntemin "Zaman Tanım Alanında Doğrusal Olmayan Analiz (ZTADOA)" yöntemi olmasına rağmen bugünkü mühendislik uygulamalarında genellikle "Doğrusal Olmayan Statik İtme Analizi" yöntemi tercih edilmektedir. Bu yöntem, yapının modal parametreleri ile ilişkili olarak hesaplanan bir hedef deplasman değerine ulaşınca kadar, bina yüksekliği boyunca belirlenen bir yatay kuvvet dağılımı kullanılarak yapının itilmesi prensibine dayanır. Söz konusu yatay kuvvet dağılımının nasıl belirlendiği analiz sonuçlarının doğruluğu için çok önemli bir etkidir. Literatürde bu konuda yapılmış çok sayıda çalışma ve geliştirilmiş birçok farklı statik itme analizi yöntemi bulunmaktadır.

Statik itme analizi yöntemi ilk kez 1970'lerde Amerika Birleşik Devletleri'nde Puget Sound Deniz Üssü'ndeki binaların deprem performansını değerlendirmek için bir pilot proje kapsamında hızlı bir değerlendirme yöntemi olarak kullanılmıştır. Bu yöntemde, inceleme konusu yapının tepe deplasmanı-taban kesme kuvveti ilişkisi (kapasite eğrisi) belirlenmiş ve bu ilişki spektral ivme – periyot ilişkisine dönüştürülmüştür. Yürütülen sahaya özgü çalışmalar sonucunda elde edilen deprem spektrumu da aynı formatta oluşturulmuştur. Böylece hem kapasite eğrisi hem de deprem spektrumu aynı grafikte gösterilmiş ve bu grafik yorumlanarak yapının deprem performansı hakkında çıkarımlar yapılmıştır. Bu yöntem 1983 yılında, Amerikan Ordusu, Deniz Kuvvetleri ve Hava Kuvvetleri için önemli yapıların tasarımında kullanılmak üzere geliştirilmiştir [Freeman, 2004]. "Kapasite Spektrumu Metodu (KSM)" olarak adlandırılan bu yöntemde yapıların doğrusal olmayan davranışının dikkate alınması için yüksek sönümlü spektrumlar kullanılmıştır. Daha sonra Avrupa kıtasında geliştirilen Eurocode-8'de, KSM yönteminden farklı olarak yüksek sönümlü spektrumlar yerine inelastik spektrumların kullanıldığı "N2" yöntemi yer almıştır. 1989 yılında meydana gelen Loma Prieta depreminin ardından birkaç bina kapasite spektrum metodu kullanılarak değerlendirilmiştir [Mahaney et al., 1993]. Spektral ivme (S_a) – periyot (T) tepki spektrumu formatına alternatif olarak, spektral

ivme (S_a) – spektral yer deęiřtirme (S_d) tepki spektrumu (İYTS) formatı ilk kez bu makalede tanıtılmıřtır [Freeman, 2004]. 1996 yılında “Betonarme Binaların Sismik Deęerlendirmesi ve Glendirilmesi (Seismic Evaluation and Retrofit of Concrete Buildings)” adlı ATC-40 kılavuzunda kapasite spektrumu yntemine yer verilmiřtir. Bu yntemin ATC-40 ve FEMA 273’te yayınlanmasının ardından, itme analizine dayanan yntemlerin kullanımı hız kazanmıřtır [Fajfar, 2022].

Sz konusu geleneksel itme analizi ynteminde yapı davranıřını yalnızca birinci mod řeklinin kontrol ettięi varsayılmaktadır. Bununla birlikte akma sonrasında da mod řeklinin (dolayısıyla yatay kuvvet daęılımının) deęiřmedięi kabul edilmektedir. Bu varsayımların, sonuların doęruluęunu ciddi derecede etkileyebilecek sınırlamaları vardır [Goel and Chopra, 2004]. Ayrıca geleneksel sabit tek modlu itme analizi yntemi, planda ya da dřey doęrultuda sreksizliklerin bulunması durumunda hatalı sonular verebilmektedir. nk bu tip yapıların davranıřında yksek modların etkisi artmakta ve davranıř daha karmařık bir hale gelmektedir. Bu eksikliklerin giderilebilmesi iin birok farklı itme analizi yntemi geliřtirilmiřtir.

Paret vd. tarafından 1996 yılında nerilen “Modal İtme Analizi Prosedr (Modal Pushover Procedure)”, her birinde farklı mod řekline gre belirlenen yatay yk daęılımının kullanıldıęı, bir dizi kapasite spektrumu analizinden oluřmaktadır. Bu yntemde, farklı modlar iin belirlenen kapasite eęrileri ve deprem spektrumu, İvme – Yer deęiřtirme Tepki Spektrumu formatında bir arada gsterilir ve her mod iin bir etki/kapasite oranı (Modal Criticality Index) hesaplanır. Bu oranlara gre hangi modun yapı davranıřında daha kritik olduęu tespit edilir [Paret et al., 1996].

Daha sonra, Chopra ve Goel tarafından 2001 yılında bařka bir “Modal İtme Analizi Yntemi (Modal Pushover Analysis Procedure)” geliřtirilmiřtir. Temelde 1996 yılında Paret vd. tarafından nerilen yntemden pek farklı olmayan bu yntemde, yapının farklı modları iin belirlenen yatay yk daęılımları kullanılarak her bir mod iin itme analizi yapılır, ardından elde edilen sonular kareleri toplamının karekk (Square root of sum of squares – SRSS) yntemi ile birleřtirilir [Chopra and Goel, 2001].

Yksek yapıların deprem taleplerinin belirlenmesi iin Poursha vd. tarafından 2009 yılında “Ardıřık Modal İtme Analizi (Consecutive Modal Pushover Analysis)” yntemi geliřtirilmiřtir. Bu yntemde ilk olarak geleneksel sabit tek modlu itme analizi uygulanır. Ardından ok ařamalı itme analizi gerekleřtirilir. ok ařamalı itme analizinde, yapı periyodunun byklęne gre ilk iki ya da ilk  mod dikkate alınır.

Belirlenen hedef deplasman değeri dikkate alınan modların modal kütle katılım oranlarına göre parçalara ayrılır ve ilgili mod şekliyle uyumlu yatay kuvvet dağılımları kullanılarak ardışık itme analizleri uygulanır. Her itme analizinin başlangıç koşulu, kendisinden bir önceki analizin son adımı olarak belirlenir. Yapıdaki yer değiştirme, göreceli kat ötelemeleri, plastik dönmeler vb. deprem talepleri için, tek ya da çok aşamalı itme analizi sonuçlarından maksimum olanı kabul edilir [Poursha et al., 2009].

Yukarıda bahsedilen yöntemlerde birden fazla mod şeklinin yapı davranışına etkisi dikkate alınmaktadır. Ancak, her bir mod için doğrusal olmayan hesap, sadece o mod için başlangıçta tanımlanan ve hesap boyunca sabit kalan eşdeğer deprem yükü profili altında bağımsız olarak yapılmaktadır [Aydınoglu ve Önem, 2007]. Oysa taşıyıcı sistem elemanlarında plastik mafsallar oluşukça yapının rijitliği ve dolayısıyla mod şekli değişmektedir. Bu değişimin de hesaba katılabilmesi için uyarlanan itme analizi yöntemleri geliştirilmiştir.

Tamamen uyarlanan yük dağılımı kullanan bir yöntemi ilk kez 1997 yılında Bracci, Kunnath ve Reinhorn tarafından tanıtılmıştır. Bu analiz yönteminde, başlangıçta genellikle üçgen şeklinde olan bir yatay kuvvet dağılımı kullanılır, ancak sonraki adımlarda uygulanan yük artışları önceki adımın anlık taban kesme ve kat rijitlikleri kullanılarak hesaplanır [Bracci et al., 1997], [Antoniou and Pinho, 2004].

Gupta ve Kunnath tarafından 2000 yılında geliştirilen “Uyarlanan Spektrum Tabanlı İtme Analizi Yöntemi (Adaptive Spectra-Based Pushover Procedure)”, yatay kuvvet dağılımının, her adımda yapının o anki dinamik özelliklerine ve deprem spektrumuna göre sürekli güncellendiği bir yöntemdir. Bu yöntemde her yük artışından önce modal analiz yapılır ve her mod için yeni kat kuvveti dağılımı hesaplanır. Dikkate alınan tüm modlar için ayrı ayrı statik analizler yapılır ve sonuçlar SRSS yöntemiyle birleştirilir. Elde edilen sonuçlar bir önceki adımda elde edilen sonuçlara eklenir ve sonraki adıma geçilir [Gupta and Kunnath, 2000].

Bir başka çok modlu uyarlanan itme analizi yöntemi de Aydınoglu tarafından 2003 yılında geliştirilen “Artımsal Tepki Spektrumu Analizi (ARSA)” yöntemidir. Bu yöntem standart doğrusal tepki spektrumu analizinin artımsal olarak uygulanmasına dayalı bir yöntemdir. ARSA yönteminde her bir itme adımında, modal yer değiştirmeler ilk adımdaki elastik spektral yer değiştirmelerle orantılı olacak şekilde bütün modlar için aynı oranda arttırılmakta ve son adımda hedef değerler olan spektral yer değiştirmelere ulaşılmaktadır. Modal yer değiştirmelerin büyütülmesinde kullanılan ölçekleme katsayıları, her adımın sonunda yeni bir plastik mafsallın

oluşacağı şekilde hesaplanmaktadır. Her adımda, oluşan son plastik mafsallara dikkate alınarak rijitlik matrisi değiştirilmekte ve güncel mod şekilleri ile uyumlu yatay kuvvet dağılımları kullanılmaktadır [Aydınoğlu, 2003].

2.2. Yönetmeliklerde Doğrusal Olmayan Modelleme ile Analiz

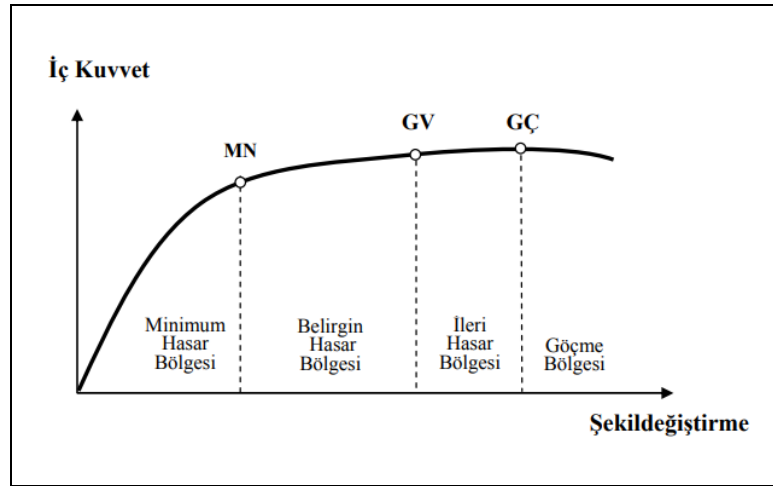
Yapıların deprem etkisi altındaki davranışını gerçekçi bir şekilde tespit edebilmek için kullanılan doğrusal olmayan analiz yöntemleri, hem mevcut yapıların deprem performansının değerlendirilmesinde hem de yeni yapılacak yapıların tasarımında kullanılmaktadır. Yapı tasarımında doğrusal elastik analiz yöntemleri kullanıldığında bile, yapının deprem anında elastik olmayan davranış göstermesi amaçlanmaktadır. Bu nedenle, yapının davranışını daha iyi anlayabilmek için doğrusal olmayan analiz yöntemlerinin kullanılması önem arz etmektedir. Doğrusal olmayan analiz yöntemlerinin kullanılması durumunda, oluşturulan yapı modelinde tüm taşıyıcı sistem elemanlarının, malzeme ve geometrik özellikleri dikkate alınarak elastik ötesi davranışının tanımlanması gerekmektedir. Bu bölümde, Türkiye Bina Deprem Yönetmeliği (TBDY) - 2018 yönetmeliğinde ve bundan bir önceki deprem yönetmeliği olan Deprem Bölgelerinde Yapılacak Binalar Hakkında Yönetmelik (DBYBHY) - 2007’de betonarme binaların tasarımında ve deprem performansının değerlendirilmesinde doğrusal olmayan modelleme ile analizin nasıl ele alındığı incelenmiştir. Bu tezde sunulan çalışmalarda yalnızca statik itme analizi yöntemleri ve betonarme moment çerçevelerinden oluşan bina modelleri kullanıldığı için yönetmelikler de bu çerçevede incelenmiştir.

2.2.1. DBYBHY-2007’ye Göre Doğrusal Olmayan Modelleme ile Analiz ve Yapı Deprem Performansının Belirlenmesi

Deprem Bölgelerinde Yapılacak Binalar Hakkında Yönetmelik - 2007’de yeni yapılacak binaların tasarımında kullanılabilecek yöntemler arasında, doğrusal elastik analiz yöntemlerinin dışında yalnızca zaman tanım alanında doğrusal elastik olmayan analiz yöntemi bulunmaktadır. İtme analizi yöntemleri ise, mevcut binaların deprem performansının belirlenmesinde ya da güçlendirilmesinde kullanılmaktadır. Deprem performansı, “belirli bir deprem etkisi altında bir binada oluşabilecek hasarların düzeyi

ve dağılımına bağlı olarak belirlenen yapı güvenliği durumu” olarak tanımlanabilir [Sucuoğlu, 2006].

DBYBHY-2007'de, taşıyıcı sistem elemanlarının deprem etkisi altındaki performans seviyesinin belirlenmesinde kullanılacak olan hasar sınırları Minimum Hasar Sınırı (MN), Güvenlik Sınırı (GV) ve Göçme Sınırı (GÇ) olarak tanımlanmıştır. Yürütülen analizler sonucunda elde edilen eleman iç kuvvetleri ya da şekil değiştirmeleri, bu hasar sınırlarına karşılık gelen değerlerle karşılaştırılarak her bir elemanın hangi hasar bölgesinde olduğu belirlenir. Kritik kesitindeki hasar MN'ye ulaşmamış olan elemanlar Minimum Hasar Bölgesi'nde, MN-GV arasındaki elemanlar Belirgin Hasar Bölgesi'nde, GV-GÇ arasındaki elemanlar İleri Hasar Bölgesi'nde, GV'yi aşan elemanlar Göçme Bölgesi'nde yer alır [DBYBHY, 2007]. Gevrek hasar (kesme hasarı) oluşan elemanlar Göçme Bölgesi'nde kabul edilirler. Söz konusu eleman hasar bölgeleri Şekil 2.1'de grafik üzerinde gösterilmiştir.



Şekil 2.1: Kesit hasar bölgeleri.

Tüm elemanların hasar seviyeleri belirlendikten sonra bina genelindeki hasar dağılımlarına bakılarak binanın deprem performansı tespit edilir. Söz konusu yönetmelikte dört farklı bina performans seviyesi tanımlanmıştır. Bunlar; Hemen Kullanım, Can Güvenliği, Göçme Öncesi ve Göçme Durumu performans seviyeleridir. Hemen Kullanım performans seviyesi, analizlerde dikkate alınan seviyede bir depremin meydana gelmesi durumunda, herhangi bir yapısal onarıma ihtiyaç duyulmadan yapının hemen kullanılabileceği anlamına gelmektedir. Can Güvenliği performans seviyesinde, söz konusu depremde yapısal hasarlar meydana gelebilecek ancak can güvenliği açısından bir risk oluşturmayacaktır. Göçme Öncesi performans

seviyesinde ise kirişlerin bir kısmında göçme meydana gelebilecek ve diğer taşıyıcı elemanlarda ileri hasar seviyesinde hasarlar oluşabilecektir. Bu performans seviyesindeki yapının mevcut durumunda kullanımı can güvenliği bakımından sakıncalıdır [DBYBHY, 2007]. Göçme Öncesi performans seviyesinin sağlanamadığı yapıların Göçme Durumu seviyesinde olduğu kabul edilir. Yukarıda bahsedilen performans seviyelerinin her biri için sağlanması gereken şartlar DBYBHY-2007 Bölüm 7.7’de bulunmaktadır. DBYBHY-2007’de binalar için minimum performans hedefleri, Tablo 2.1 kullanılarak bina kullanım amacına göre belirlenmektedir.

Tablo 2.1: Farklı deprem düzeylerinde binalar için öngörülen performans hedefleri.

Binanın Kullanım Amacı ve Türü	Deprem Aşılma Olasılığı		
	50 yılda %50	50 yılda %10	50 yılda %2
Deprem Sonrası Kullanımı Gereken Binalar: Hastaneler, sağlık tesisleri, ulaşım istasyonları, vilayet, kaymakamlık ve belediye yönetim binaları, afet yönetim merkezleri, vb.	-	HK	CG
İnsanların Uzun Süreli ve Yoğun Olarak Bulunduğu Binalar: Okullar, yatakhaneler, yurtlar, pansiyonlar, askeri kışlalar, cezaevleri, müzeler, vb.	-	HK	CG
İnsanların Kısa Süreli ve Yoğun Olarak Bulunduğu Binalar: Sinema, tiyatro, konser salonları, kültür merkezleri, spor tesisleri	HK	CG	-
Tehlikeli Madde İçeren Binalar: Toksik, parlayıcı ve patlayıcı özellikleri olan maddelerin bulunduğu ve depolandığı binalar	-	HK	GÖ
Diğer Binalar: Yukarıdaki tanımlamalara girmeyen diğer binalar (konutlar, işyerleri, oteller, turistik tesisler, endüstri yapıları, vb.)	-	CG	-

Mevcut binaların değerlendirilmesinde ve güçlendirilmesinde yeni yapılacak binalar için tanımlanan ivme spektrumunun azaltılmamış hali kullanılacaktır. Yukarıdaki tabloda gösterilen deprem seviyelerinden 50 yılda aşılma olasılığı %50 olan deprem için bu ivme spektrumunun ordinatları %50 azaltılarak, 50 yılda aşılma olasılığı %2 olan deprem içinse 1.5 katına çıkartılarak dikkate alınacaktır.

Bir yapının deprem yükleri etkisi altındaki davranışını doğru bir şekilde tespit edebilmek için söz konusu yapı hakkında detaylı bilgi sahibi olunması gerekmektedir. Bunun için incelenecek yapıda veri toplama çalışmaları yapılmalıdır. Bu çalışmada yapılacak işlemler, yapısal sistemin tanımlanması, bina geometrisinin, temel sisteminin ve zemin özelliklerinin saptanması, varsa mevcut hasarın ve evvelce

yapılmış olan deęişiklik ve/veya onarımların belirlenmesi, eleman boyutlarının ölçülmesi, malzeme özelliklerinin saptanması, sahada derlenen tüm bu bilgilerin binanın varsa projesine uygunluęunun kontrolüdür [DBYBHY, 2007]. Bu çalışmalardan elde edilen bilgilerin kapsamına göre bilgi düzeyi ve buna baęlı olarak bilgi düzeyi katsayıları belirlenir. DBYBHY-2007 Bölüm 7.2.2’de bilgi düzeyleri, Sınırlı Bilgi Düzeyi, Orta Bilgi Düzeyi ve Kapsamlı Bilgi Düzeyi olarak tanımlanmıştır. Bu bilgi düzeylerinin gerektirdięi kriterler de aynı bölümde detaylı olarak belirtilmektedir. Yapı hakkında edinilen bilgi düzeyine göre Tablo 2.2’de verilen bilgi düzeyi katsayıları eleman kapasitelerine uygulanacaktır.

Tablo 2.2: Bilgi düzeyi katsayıları.

Bilgi Düzeyi	Bilgi Düzeyi Katsayısı
Sınırlı	0.75
Orta	0.90
Kapsamlı	1.00

Binanın taşıyıcı sistem modeli, deprem etkileri ile düşey yüklerin ortak etkileri altında yapı elemanlarında oluşacak iç kuvvet, yer deęiştirme ve şekil deęiştirmeleri hesaplamak için yeterli doğrulukta hazırlanacaktır. Eğilme etkisindeki betonarme elemanlarda çatlamış kesite ait etkin eğilme rijitlikleri (EI_e) kullanılacaktır [DBYBHY, 2007]. Etkin eğilme rijitlikleri kirişler için $0.40 \times (EI_0)$, kolonlar için eksenel yük seviyesine göre $0.40 \times (EI_0)$ ile $0.80 \times (EI_0)$ aralığında verilmiştir. Oluşturulan yapısal model üzerinde yürütülecek doğrusal olmayan hesap yöntemleri ile göz önünde bulundurulan deprem etkisi altında yapı elemanlarında oluşacak şekil deęiştirmelerin ve iç kuvvetlerin belirlenmesi amaçlanmaktadır. Elde edilen bu deęerler, şekil deęiştirme ve iç kuvvet kapasiteleri ile karşılaştırılarak her bir elemanın hasar seviyesi belirlenir. Bu hasar seviyelerine ve bina genelindeki hasar dağılımına göre binanın performansı belirlenir. Doğrusal olmayan analizlerin uygulanabilmesi için yapı modelinde elemanların doğrusal olmayan davranışının tanımlanması gerekmektedir. DBYBHY-2007’de doğrusal olmayan davranışın idealleştirilmesinde yığılı plastik davranış modeli esas alınmıştır. Basit eğilme durumunda plastik mafsallara karşı gelen bu modelde, çubuk eleman olarak idealleştirilen kiriş, kolon ve perde türü taşıyıcı sistem elemanlarındaki iç kuvvetlerin plastik kapasitelerine eriştięi sonlu uzunluktaki bölgeler boyunca, plastik şekil deęiştirmelerin düzgün yayılı

biçimde olduğu varsayılmaktadır. Yığılı plastik şekil değiştirmeyi temsil eden plastik kesitin, teorik olarak plastik şekil değiştirme bölgesinin tam ortasına yerleştirilmesi gerekir. Bir veya iki eksenli eğilme ve eksenel kuvvet etkisinde plastikleşen betonarme kesitlerin akma yüzeyleri olarak etkileşim diyagramları kullanılacaktır. Akma yüzeyleri, doğrusallaştırılarak iki boyutlu davranış durumunda akma çizgileri, üç boyutlu davranış durumunda ise akma düzlemleri olarak modellenilebilir [DBYBHY, 2007].

Artımsal eşdeğer deprem yükü yönteminde, yapının dikkate alınan deprem doğrultusundaki hakim mod şekli ile uyumlu bir yatay yük dağılımı kullanılarak, adım adım arttırılan eşdeğer deprem yükleri ile itme analizi yapılır. Artımsal itme analizi sırasında, eşdeğer deprem yükü dağılımının, taşıyıcı sistemdeki plastik kesit oluşumlarından bağımsız biçimde sabit kaldığı varsayımı yapılabilir [DBYBHY, 2007]. Analiz sonucunda tepe deplasmanı – taban kesme kuvveti diyagramı (itme eğrisi) elde edilir. Bu eğri uygulanan koordinat dönüşümü ile modal deplasman ve modal ivme eğrisine (modal kapasite eğrisi) dönüştürülebilir. Modal kapasite eğrisiyle birlikte elastik ivme spektrumu da göz önüne alınarak, hakim moda ait maksimum modal deplasman değeri, yani modal deplasman hedefi belirlenir. Yapının tepe deplasman değerinin, belirlenen hedef deplasman değerine ulaştığı andaki şekil değiştirmeler ve iç kuvvetler, elemanların sınır değerleri ile karşılaştırılarak eleman hasar seviyeleri tespit edilir.

Alternatif olarak, artımsal itme analizi sırasında eşdeğer deprem yükü dağılımı, her bir itme adımında öncekilere göre değişken (uyarlanan) olarak göz önüne alınabilir. Bu durumda yük dağılımı, her bir itme adımı öncesinde taşıyıcı sistemde oluşmuş bulunan tüm plastik kesitler göz önüne alınarak hesaplanan birinci (deprem doğrultusundaki hakim) titreşim mod şeklinin genliği ile ilgili kütlelerin çarpımından elde edilen değerle orantılı olarak tanımlanacaktır [DBYBHY, 2007].

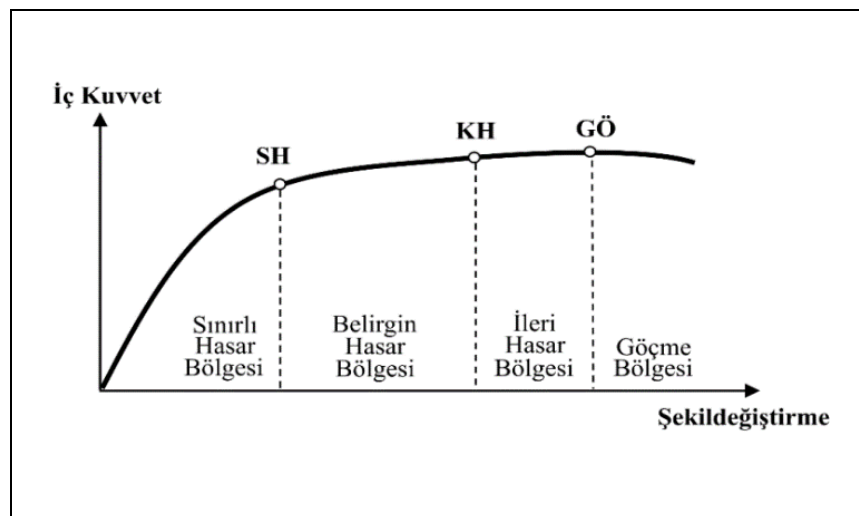
2.2.2. TBDY-2018'e Göre Doğrusal Olmayan Modelleme ile Analiz ve Yapı Deprem Performansının Belirlenmesi

01 Ocak 2019 tarihinde yürürlüğe girmiş olan Türkiye Bina Deprem Yönetmeliği'nde yeni yapılacak veya mevcut binalar için minimum performans hedefleri ve uygulanacak değerlendirme/tasarım yaklaşımları, binanın deprem tasarım sınıfına göre belirlenmektedir. Dayanıma Göre Tasarım (DGT) ve Şekil Değiştirmeye

Göre Değerlendirme ve Tasarım (ŞGDT) yaklaşımı olmak üzere iki farklı hesap yaklaşımı bulunmaktadır. DGT yaklaşımında kullanılacak hesap yöntemleri doğrusal hesap yöntemleridir. ŞGDT yaklaşımı ise doğrusal olmayan hesap yöntemlerini içermektedir.

Şekil değiştirmeye göre değerlendirme ve tasarım yaklaşımında, elemanların doğrusal olmayan davranış özelliklerinin tanımlandığı yapısal model üzerinde yürütülen analizler sonucunda elemanlarda oluşacak şekil değiştirme ve iç kuvvet talepleri elde edilir. Bu talepler, şekil değiştirme ve iç kuvvet dayanımları ile karşılaştırılarak her bir elemanın hasar seviyesi tespit edilir. Yapı genelindeki hasar dağılımı ve hasar seviyeleri, yönetmelikte verilen kriterlere göre değerlendirilerek yapının deprem performansı belirlenir.

TBDY-2018 yönetmeliğinde üç farklı kesit hasar sınırı tanımlanmış olup bunlar Sınırlı Hasar (SH), Kontrollü Hasar (KH) ve Göçme Öncesi (GÖ) hasar sınırlarıdır. Sınırlı hasar ilgili kesitte sınırlı miktarda elastik ötesi davranışı, kontrollü hasar kesit dayanımının güvenli olarak sağlanabileceği elastik ötesi davranışı, göçme öncesi hasar durumu ise kesitte ileri düzeyde elastik ötesi davranışı tanımlamaktadır. Kritik kesitlerinin hasarı SH'ye ulaşmayan elemanlar Sınırlı Hasar Bölgesi'nde, SH ile KH arasında kalan elemanlar Belirgin Hasar Bölgesi'nde, KH ile GÖ arasında kalan elemanlar İleri Hasar Bölgesi'nde, GÖ'yü aşan elemanlar ise Göçme Bölgesi'nde yer alırlar [TBDY, 2018]. Bununla birlikte gevrek hasar oluşan elemanlar Göçme Bölgesi'nde kabul edilirler. Söz konusu hasar bölgeleri Şekil 2.2'de grafik üzerinde gösterilmiştir.



Şekil 2.2: Kesit hasar bölgeleri.

Söz konusu kesit hasar sınır değerlerinin elde edildiği formülasyonlar bu yönetmelikte DBYBHY-2007'ye göre farklı tanımlanmıştır. Örneğin DBYBHY-2007'de Minimum Hasar olarak tanımlanan hasar sınır değeri betonarme kesitler için 0.0035 olarak verilmişken, TBDY-2018'de buna karşılık gelen Sınırlı Hasar sınır değeri 0.0025 olarak verilmiştir. Yine betonarme kesitler için DBYBHY-2007'deki Göçme Sınırı ve Güvenlik Sınırı değerleri kesitteki enine donatıların hacimsel oranına bağlı bir formülasyonla hesaplanırken, TBDY-2018'de tanımlanan Göçme Öncesi hasar sınırı malzeme dayanımlarının da dikkate alındığı enine donatı mekanik oranına bağlı bir formülasyonla hesaplanır. Bu değer %75'i Kontrollü Hasar sınırı olarak kabul edilir. DBYBHY-2007'de donatı çeliğinin tüm hasar sınırları sabit değerler olarak verilmişken TBDY-2018 yönetmeliğinde donatının maksimum uzama şekil değiştirme değerine bağlı olarak değişmektedir.

Her bir elemanın hasar bölgesi tespit edildikten sonra dört farklı performans seviyesi için verilen kriterlere göre değerlendirilerek yapının performans seviyesi belirlenir. TBDY-2018'de dört farklı performans seviyesi tanımlanmıştır. Bunlar Kesintisiz Kullanım, Sınırlı Hasar, Kontrollü Hasar ve Göçmenin Önlenmesi performans seviyeleridir. Söz konusu performans seviyelerinin her biri için sağlanması gereken kriterler TBDY-2018 Bölüm 15.8'de verilmiştir. Bu kriterlerde de DBYBHY-2007 yönetmeliğine göre farklılıklar mevcuttur. Yukarıda bahsedilen performans seviyelerinin herhangi birinin sağlanamaması durumunda yapı Göçme Durumu'nda olduğu kabul edilir.

Yeni yapılacak ya da mevcut binalar için minimum performans hedefleri DBYBHY-2007'den farklı olarak yalnızca bina kullanım amacına göre değil, binanın deprem tasarım sınıfına, bina türüne ve yüksekliğine göre belirlenmektedir. Binalar için minimum performans hedefleri ve uygulanacak değerlendirme/tasarım yaklaşımları TBDY-2018'de verilmektedir. Şekil değiştirmeye göre değerlendirme ve tasarım yaklaşımında kullanılabilecek doğrusal olmayan hesap yöntemleri, itme yöntemleri ve zaman tanım alanında hesap yöntemidir. İtme yöntemleri kendi içinde sabit tek modlu itme yöntemi, değişken tek modlu itme yöntemi ve çok modlu itme yöntemleri olmak üzere üçe ayrılmaktadır. Bu yöntemlerden Sabit Tek Modlu İtme Yöntemi'nde, göz önüne alınan deprem doğrultusunda her bir itme adımında katlara etkiyen deprem yükü artımları, deprem dışı yüklemelerden sonraki birinci adımda belirlenen ve itme hesabı boyunca hiç değiştirilmeyen sabit mod şekli ile orantılı olarak tanımlanırlar. Değişken Tek Modlu İtme Yöntemi'nde ise, Değişken Tek

Modlu İtme Yöntemi'nde, göz önüne alınan deprem doğrultusunda katlara etkiyen deprem yükü artımları ile bunlarla uyumlu kat yer değiştirme artımları, deprem dışı yüklemelerden sonraki her bir itme adımında, daha önce oluşan plastik mafsallar göz önüne alınarak yenilenen serbest titreşim hesabından elde edilen değişken mod şekli ile orantılı olarak tanımlanırlar [TBDY, 2018]. Çok Modlu İtme Yöntemleri ise dikkate alınan her bir deprem doğrultusunda birden fazla mod şeklinin dikkate alındığı yöntemlerdir. Yönetmelikte verilen bazı koşulların sağlanması durumunda uluslararası uygulama literatüründe yer almış bulunan Çok Modlu İtme Yöntemleri'nin kullanılmasına izin verilmektedir.

Doğrusal olmayan hesap yöntemi olarak İtme Yöntemleri'nin kullanılması durumunda deprem etkisi, yönetmelikte verilen yatay elastik ivme spektrumu ya da sahaya özel elastik ivme spektrumu kullanılarak dikkate alınır.

TBDY-2018 kapsamında mevcut bir yapının deprem performansının değerlendirilmesi için yapı hakkında bilgi toplama çalışmaları yapılmalıdır. Binalardan bilgi toplanması kapsamında yapılacak işlemler, yapısal sistemin tanımlanması, bina geometrisinin, temel sisteminin ve zemin özelliklerinin saptanması, varsa mevcut hasarın ve evvelce yapılmış olan değişiklik ve/veya onarımların belirlenmesi, eleman boyutlarının ölçülmesi, malzeme özelliklerinin saptanması, sahada derlenen tüm bu bilgilerin binanın varsa projesine uygunluğunun kontrolüdür [TBDY, 2018]. Bu yönetmelikte bilgi düzeyleri DBYBHY-2007'den farklı olarak sınırlı ve kapsamlı bilgi düzeyleri olmak üzere ikiye ayrılmıştır. İnceleme konusu bina hakkında edinilen bilgi düzeyine göre eleman kapasitelerine uygulanacak bilgi düzeyi katsayıları Tablo 2.3'ten alınır.

Tablo 2.3: Bilgi düzeyi katsayıları.

Bilgi Düzeyi	Bilgi Düzeyi Katsayısı
Sınırlı	0.75
Kapsamlı	1.00

TBDY-2018 Bölüm 5.4'te doğrusal olmayan hesap için taşıyıcı sistemin modellenmesine ilişkin bazı kurallar verilmiştir. Mevcut binaların şekil değiştirmeye göre değerlendirilmesinde beton ve donatı çeliği için mevcut malzeme dayanımları kullanılmalıdır. Yeni yapılacak binalarda ise TBDY-2018 Bölüm 5.4.1'de tanımlanan beklenen (ortalama) malzeme dayanımları kullanılmalıdır. Şekil değiştirmeye göre

değerlendirme ve tasarım yaklaşımlarının kullanılabilmesi için binanın üç boyutlu yapı modelinde elemanların doğrusal olmayan davranışlarının yeterli doğrulukta tanımlanmış olması gerekmektedir. Doğrusal olmayan davranış, elemanların uçlarında tanımlanan sonlu plastik şekil değiştirme bölgelerinde yığılı plastik davranış modeli ile veya yayılı plastik davranış modelleri ile modellenebilir. Uygulamada yığılı plastik mafsallı modelinin kullanımı genel olarak yeterli kabul edilebilir. Yığılı plastik davranış hipotezine göre elemanlara ait elastik ötesi davranış parametreleri, bu davranışın eleman uçlarında yoğunlaşacağı varsayımına dayanarak hesaplanmaktadır [Özmen vd., 2007]. Yığılı plastik davranış modelinde, iç kuvvetlerin plastik kapasitelerine eriştiği sonlu uzunluktaki bölgeler boyunca, plastik şekil değiştirmelerin düzgün yayılı biçimde olduğu varsayılmaktadır. Yığılı plastik şekil değiştirmeyi temsil eden plastik mafsallı, plastik şekil değiştirme bölgesinin ortasına yerleştirilmesi gerekir [TBDY, 2018]. Yığılı plastik mafsallı davranışı betonarme elemanların doğrusal olmayan davranışını önemli ölçüde temsil edebiliyor olsa da gerçekte plastik şekil değiştirmeler elemanların uç bölgelerindeki bir noktada yığılmayıp, bir uzunluk boyunca yayılmaktadır. Yayılı plastik davranış modelinde ise daha gerçekçi bir yaklaşımla plastik şekil değiştirmelerin elemanın uç bölgelerindeki sınırlı bir uzunlukta ya da eleman uzunluğu boyunca yayılı olduğu kabul edilmektedir. Yayılı plastik davranış varsayımında betonarme elemanlar kesit hücresi (fiber) olarak tanımlanır. Fiber modelinde her bir eleman kesitin beton ve donatıları küçük hücrelere ayrılır ve analizler sonucunda bu hücreler için ilgili malzemenin gerilme – şekil değiştirme ilişkisi kullanılarak oluşan şekil değiştirmeler hesaplanır.

3. YÖNTEM

Bu tez çalışmasında, doğrusal olmayan itme analizi yöntemlerinden Sabit Tek Modlu İtme Analizi (STMİA) yöntemi ile bir Uyarlanan Tek Modlu İtme Analizi (UTMİA) yöntemi kullanılarak betonarme binaların deprem performans seviyeleri belirlenecek ve sonuçlar karşılaştırılacaktır. Sabit tek modlu itme analizi yönteminde önceki bölümlerde de bahsedildiği üzere, inceleme konusu yapının göz önüne alınan deprem doğrultusundaki hakim mod şekli ile uyumlu bir eşdeğer deprem yükü dağılımı kullanılır. Binanın tepe deplasmanı, dikkate alınan deprem için belirlenen hedef deplasman değerine ulaşınca kadar eşdeğer deprem yükleri adım adım artırılır. Bu yöntemde, yapının mod şekilleri (dolayısıyla yatay yük dağılımı) analiz boyunca hiç değiştirilmez. Bu çalışmada kullanılacak olan uyarlanan tek modlu itme analizi yöntemi ise literatürde bulunan uyarlanan itme analizlerinden biraz farklıdır. Uyarlanan itme analizlerinde genelde her bir itme adımıdaki yük artışı yeni bir plastik mafsalları oluşturacak şekilde belirlenir ve her plastik mafsalları oluşumundan sonra mod şekilleri yeniden belirlenir. Bu çalışmada kullanılacak uyarlanan itme analizi yönteminde ise, her biri yapıda yaklaşık 10mm tepe deplasmanı oluşturacak şekilde çok sayıda ardışık itme analizi yapılır. Buradaki ardışık ifadesi, her itme analizinin son adımının, bir sonraki itme analizinin başlangıç koşulu olarak kabul edildiğini ifade etmektedir. Bununla birlikte sonlu miktarda her itme aralığı sonunda (örneğin 10mm tepe deplasmanlarında), bir sonraki analizde kullanılacak olan yatay yük dağılımını belirlemek için modal analiz yapılarak güncel hakim mod şekli belirlenir. Böylece analiz süresince oluşan plastik mafsalların yapı rijitliğinde meydana getireceği değişim belirli bir ölçekte dikkate alınmış olacaktır. Mod şekillerinin güncellenme sıklığı olarak seçilen 10mm tepe deplasmanı artışının incelenecek bina modelleri için yeterli bir sıklık olduğu düşünülmekle birlikte analiz sürelerini optimize etmek için bu değer seçilmiştir. Mod şekillerinin daha sık güncellenmesi daha kesin sonuçlar elde edilmesini sağlayacaktır. Yürütülen ardışık itme analizleri, hedef tepe deplasman değerine ulaşıldığında sonlandırılacaktır. Hedef deplasman değeri analiz başlamadan belirlenecek ve analiz boyunca değiştirilmeyecektir.

3.1. Hedef Tepe Deplasmanının Belirlenmesi

Analizlerde kullanılacak hedef tepe deplasmanı değeri TBDY-2018 Bölüm 5B.3'e göre doğrusal olmayan spektral yer değiştirme olarak belirlenecektir. Deprem modal yer değiştirme talebinin elde edilmesi, verilen deprem etkisi altında modal kapasite diyagramı tarafından temsil edilen modal tek serbestlik dereceli sistemin en büyük yer değiştirmesinin hesabına karşı gelmektedir [TBDY, 2018].

$$d_{l,max}^{(X)} = S_{di}(T_1) \quad (3.1)$$

$$S_{di}(T_1) = C_R S_{de}(T_1) \quad (3.2)$$

$d_{l,max}^{(X)}$: Modal tek serbestlik dereceli sistemin en büyük yer değiştirmesi

$S_{di}(T_1)$: Taşıyıcı sistemin birinci doğal titreşim periyodu T_1 'e karşı gelen doğrusal olmayan spektral yer değiştirme

$S_{de}(T_1)$: Elastik tasarım spektral yer değiştirme

C_R : Spektral yer değiştirme oranı

Spektral yer değiştirme oranı C_R , yapının birinci doğal titreşim periyodu T_1 'in yatay elastik tasarım ivme spektrumunun köşe periyodu olan T_B 'den büyük olması durumunda, eşit yer değiştirme kuralı uyarınca 1 olarak kabul edilir. T_B 'den küçük olması durumunda ise Denk (3.3)'te verilen bağıntıyla hesaplanır:

$$C_R = \frac{1 + (R_y - 1) \frac{T_B}{T_1}}{R_y} \geq 1 \quad (3.3)$$

$$R_y = \frac{f_e}{f_y} = \frac{S_{ae}(T_1)}{a_{y1}} \quad (3.4)$$

R_y : Akma dayanımı azaltma katsayısı

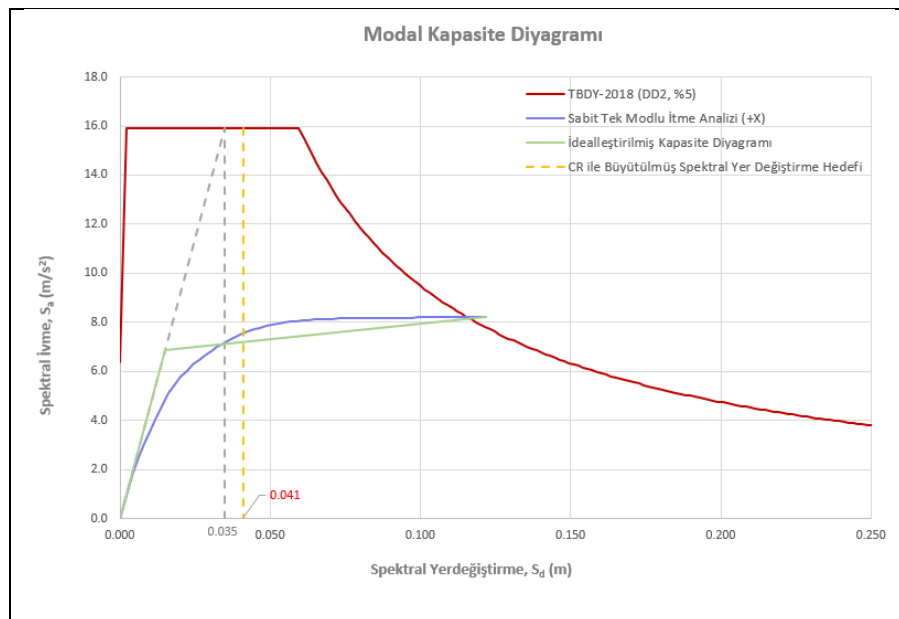
f_e : Elastik dayanım talebi

f_y : Akma dayanımı

$S_{ae}(T_1)$: Elastik dayanım talebine karşılık gelen elastik spektral ivme

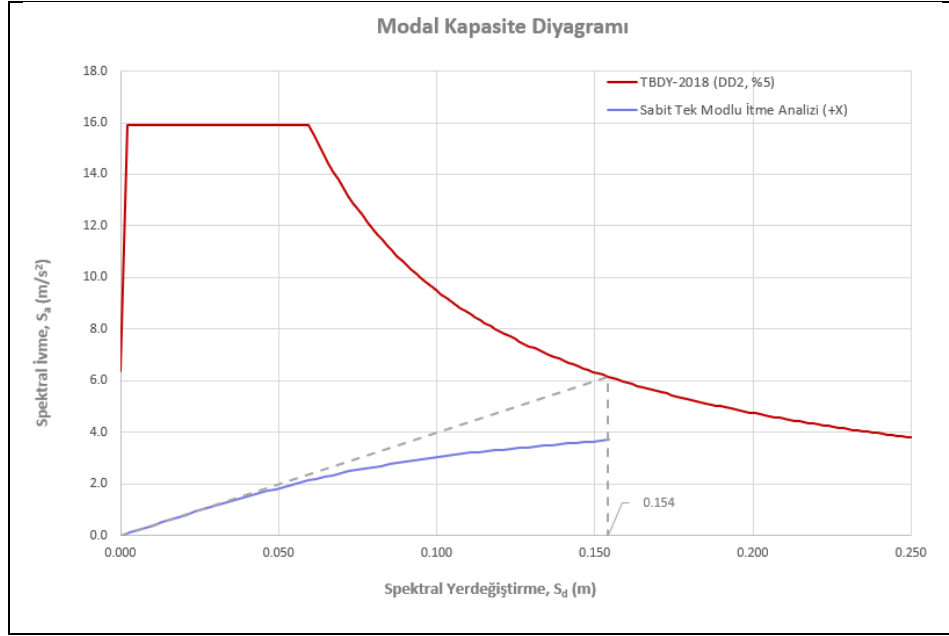
a_{y1} : Akma dayanımına karşılık gelen akma spektral ivmesi

Buradan anlaşılacağı üzere yapının birinci titreşim periyodunun T_B 'den küçük olması durumunda C_R katsayısının hesaplanabilmesi için yapının modal kapasite diyagramına ihtiyaç vardır. Bu durumda modal kapasite diyagramını elde etmek için büyükçe seçilen bir tepe deplasman değeri için sabit tek modlu itme analizi yapılır. Bu çalışmada söz konusu durum için yapı yüksekliğinin %4'ü kadar bir tepe deplasman değeri seçilecektir. Elde edilen modal kapasite diyagramı, akma spektral ivmesi a_{y1} 'in belirlenmesi için iki doğrulu elasto-plastik diyagrama dönüştürülür. Dönüşüm işleminde diyagramların altında kalan alanların eşitliği esas alınır. Elasto-plastik diyagramın başlangıç noktası sıfır noktası olarak, bitiş noktası ise modal kapasite diyagramında spektral ivmenin maksimum olduğu nokta olarak seçilir. Ardından akma noktası için yaklaşık bir spektral yer değiştirme değeri ve buna karşılık gelen spektral ivme değeri belirlenerek iki doğrulu diyagram oluşturulur. İki doğrulu diyagramın altında kalan alan ile modal kapasite diyagramının altında kalan alan birbirine yeterince yaklaşıncaya kadar akma noktası için seçilen spektral yer değiştirme değeri değiştirilir. Bu tez çalışmasında alanların birbirine yeterince yakın olması koşulu, aralarındaki oranın 0.01'den küçük olması durumu olarak kabul edilmiştir. Elde edilen akma spektral ivmesi kullanılarak önce R_y , ardından sırasıyla C_R katsayısı ve modal tek serbestlik dereceli sistemin en büyük yer değiştirmesi $d_{l,max}^{(X)}$ hesaplanır.



Şekil 3.1: $T < T_B$ olması durumunda spektral yer değiştirme hedefi.

Yapının birinci titreşim periyodunun T_B 'den büyük olması durumunda $C_R = 1$ olacağından, $d_{l,max}^{(X)}$ hesabı modal kapasite diyagramına ihtiyaç duyulmadan doğrudan hesaplanır.



Şekil 3.2: $T > T_B$ olması durumunda spektral yer değiştirme hedefi.

Modal tek serbestlik dereceli sistemin en büyük yer değiştirmesi hesaplandıktan sonra gerçek yapının tepe deplasman hedefi Denk (3.5)'te verilen bağıntı kullanılarak hesaplanır:

$$u_{xN1} = \Gamma_{x1} \phi_{xN1} d_{l,max}^{(X)} \quad (3.5)$$

u_{xN1} : Yapı tepe noktası hedef deplasman değeri

Γ_{x1} : Yapının birinci moduna ait modal katılım çarpanı

ϕ_{xN1} : Yapı tepe noktası mod şekli genliği

3.2. Yapısal Analizlerde Kullanılan Araçlar

Bu tez çalışması kapsamında gerçekleştirilen tüm analizler, günümüzde mühendisler tarafından yaygın olarak kullanılan uluslararası bir yapısal analiz

programı olan “ETABS (Extended Three-Dimensional Analysis of Building Systems)” kullanılarak gerçekleştirilmiştir. ETABS programı sonlu elemanlar yöntemini kullanarak yapıların doğrusal ve doğrusal olmayan analizlerini yapan bir programdır. Her türlü yapının 3 boyutlu olarak modellenmesine ve analizlerinin yapılmasına imkan tanıyan bu programda bir çok statik ve dinamik analiz tipine yer verilmiştir (Zaman Tanım Alanında Analiz, Tepki Spektrumu Analizi, Statik İtme Analizi, vb.). Binaların deprem performansının değerlendirilmesinde kullanılan sabit tek modlu itme analizi yöntemi, bu programda kolaylıkla tanımlanabilmektedir. Sabit tek modlu itme analizinin (STMİA) yapılabilmesi için yapısal modelde her bir eleman kesitinin doğrusal olmayan davranışının tanımlanmış olması gerekmektedir. Bununla birlikte analiz sırasında yer değiştirmesi takip edilecek olan düğüm noktası, hedef tepe deplasman değeri, itme analizi başlangıç koşulu, yük dağılımını belirlemede kullanılacak olan mod şekli ve diğer gerekli doğrusal olmayan parametreler tanımlanarak analizler gerçekleştirilebilmektedir. Ancak programda uyarlanan itme analizi yöntemlerini kolaylıkla uygulamak için geliştirilmiş bir arayüz bulunmamaktadır. Bu tez kapsamında kullanılacak olan Uyarlanan tek modlu itme analizini ETABS programında uygulayabilmek için, küçük tepe deplasman hedeflerine sahip çok sayıda tek modlu itme analizi tanımlaması yapmak ve her bir analiz tanımında başlangıç koşulu olarak bir önceki analizi seçmek gerekmektedir. Ayrıca oluşturulan bu itme analizlerinin her birinden önce çalıştırılmak üzere, yapının o anki plastik mafsallarını dikkate alacak şekilde modal analiz tanımlamalarının da yapılması gerekmektedir. Ardından, tanımlanan bu onlarca analiz uygun sıralama ile çalıştırılmalıdır. Kapsamlı tanımlamaların yanı sıra, analiz boyunca güncellenen mod şekillerinin yönlerinde bir değişiklik olması durumunda bir sonraki itme analizi çalıştırılmadan önce ölçek katsayısının işareti değiştirilmelidir. Anlaşıldığı üzere, uyarlanan itme analizi yöntemlerinin ETABS programında tanımlanması ve uygulanması oldukça karmaşık ve hata yapılmasına müsait bir prosedürdür. Tez çalışması kapsamında, sonuçları irdelenecek olan uyarlanan tek modlu itme analizi yönteminin, ETABS programında basit bir şekilde uygulanabilmesi için bir ETABS’ın yayınlanmış uygulama arayüz protokol (Application Programming Interface – API) kodları kullanılarak bir Excel makro uygulaması oluşturulmuştur.

3.2.1. Tez Kapsamında Oluşturulan Excel Makro Uygulaması

Excel programında, Visual Basic programlama dili kullanılarak oluşturulan uygulama, ETABS programının üreticileri tarafından paylaşılan API (Application Programming Interface) kodlarını kullanarak ETABS üzerinde işlemler yapabilmektedir. ETABS'ta oluşturulmuş, betonarme bir yapı modeli üzerinde sabit ve uyarlanan tek modlu itme analizi yöntemleri için gerekli tüm analiz tanımlamalarını yapmakta ve analizleri çalıştırmaktadır. Buna ek olarak ETABS'tan analiz sonuçlarını çekerek, her iki analiz tipi için de düzenli, kolay anlaşılabilir sonuç tabloları ve grafikler oluşturmakta, TBDY-2018 Bölüm 5 kapsamında binanın deprem performans seviyesini belirlemektedir. Uyarlanan tek modlu itme analizinin ETABS programında kolayca uygulanabilir olmasını sağlamanın yanı sıra tüm bu işlemler sırasında çok az kullanıcı müdahalesi gerektiren bu uygulama, analiz sonuçlarını değerlendirme aşamasındaki iş yükünü de en aza indirmektedir. Oluşturulan uygulama bir Excel çalışma sayfası üzerinde yer alan butonlarla çalıştırılmaktadır. Söz konusu Excel sayfasında uygulama çalıştırılmadan önce bazı verilerin girilmesi gerekmektedir. Bu veriler; dikkate alınan depremin spektral tasarım ivme katsayıları (S_{DS} ve S_{D1}), hareketli yük katılım katsayısı, itme analizinde yer değiştirmesi izlenecek olan tepe düğüm noktasının numarası, yapısal modelde tanımlı olan ölü ve hareketli yük isimleri, son olarak da yapıdaki farklı tüm kolon kesitleri için hesaplanan birim şekil değiştirme sınır değerleridir. Birim şekil değiştirme sınır değerleri, “Kolonlarda B Şekil Değ Sın (+X)” ve “Kolonlarda B Şekil Değ Sın (+Y)” isimli sayfalarda bulunan ilgili tablolara girilmelidir.

Ayrıca uygulamanın sorunsuz çalışması için dikkat edilmesi gereken birkaç husus bulunmaktadır:

- Analizi yapılacak olan yapının taşıyıcı sistemi yalnızca betonarme moment çerçevelerinden meydana gelmelidir.
- Yapı modelinde tanımlı olan beton malzemesinin ismi “C” ile donatı malzemesinin ismi “S” ile başlamalıdır.
- Seçilen yapı modelinde kirişler için M3 mafsalları, kolonlara için fiber mafsallar kullanılarak tüm elemanların her iki ucuna da mafsal ataması yapılmış olmalıdır.
- Modal analiz dışında farklı bir analiz tanımlaması bulunmamalıdır.

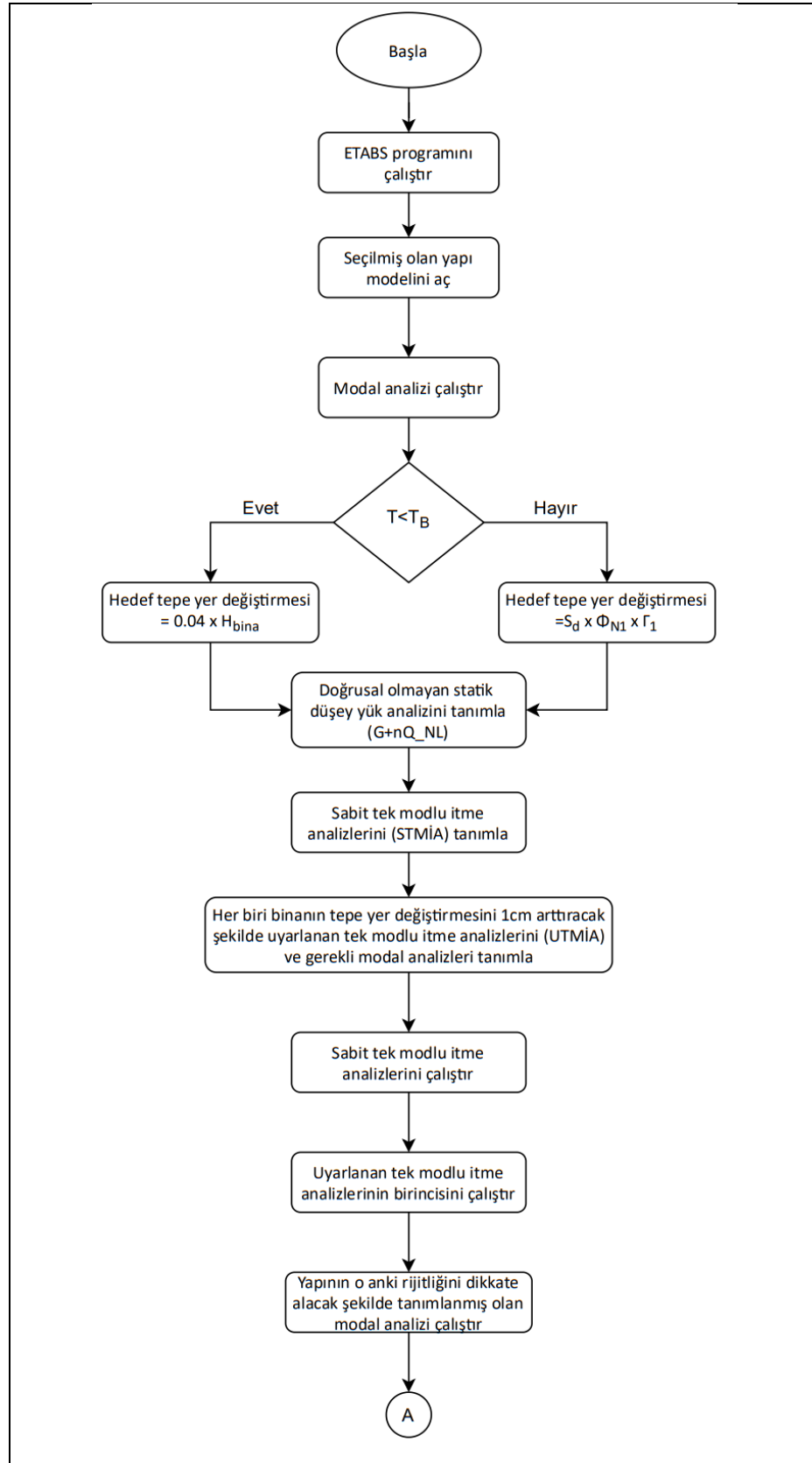
Tüm bu hususlara dikkat edilerek gerekli hazırlıklar yapıldıktan sonra “Model Seç” butonuna basılarak analizi yapılacak olan yapı modeli dosyası seçilir ve “Analizi Başlat” butonu ile uygulama çalıştırılır. Bir sonraki bölümde uygulama çalıştığında otomatik olarak gerçekleştirilen tüm işlemler sırasıyla anlatılacaktır. Şekil 3.3’te söz konusu Excel uygulamasına ait bir görüntü verilmiştir:

	A	B	C	D	E	F	G
1							
2		S_{DS} (g)	1.624		YÜK İSİMLERİ		
3		S_{D1} (g)	0.454		ÖLÜ YÜKLER	HAREKETLİ YÜKLER	
4		Hareketli Yük Katılım Katsayısı	0.30		Dead	Live	
5		Tepe Noktası (Unique Name)	122				
6		Model Seç	Temizle				
7		Analizi Başlat					
8		Tepe Deplasmanı - Şekil Değiştirme Grafiği					
9							
10		HEDEF TEPE DEPLASMANI					
11		(+X Yönü)			(+Y Yönü)		
12		Kütle (kN-s²/m)	2298.99		Kütle (kN-s²/m)	2298.99	
13		Γ_{x1}	42.18		Γ_{y1}	41.72	
14		Efektif Kütle	1778.83		Efektif Kütle	1740.72	
15		Kütle Katılım Oranı	0.77		Kütle Katılım Oranı	0.76	
16		Φ_{xN1}	0.03		Φ_{yN1}	0.03	
17		Φ_{xN1} × Γ_{x1}	1.36		Φ_{yN1} × Γ_{y1}	1.38	
18		T_x (sn)	1.31		T_y (sn)	1.31	
19		T_A (sn)	0.06		T_A (sn)	0.06	
20		T_B (sn)	0.28		T_B (sn)	0.28	
21		S_{ux} (m/sn²)	3.41		S_{uy} (m/sn²)	3.40	
22		ω	4.81		ω	4.80	
23		ω²	23.11		ω²	23.02	
24		S_{ux} (m)	0.147		S_{uy} (m)	0.148	
25		S_{0X} (m) (Hedef)	0.200		S_{0Y} (m) (Hedef)	0.204	
26		Pushover_PX için Performans Adımı	60		Pushover_PY için Performans Adımı	60	
27		AdaptivePushover_PX için Analiz Numarası	20		AdaptivePushover_PY için Analiz Numarası	21	
28		AdaptivePushover_PX için Performans Adımı	10		AdaptivePushover_PY için Performans Adımı	10	

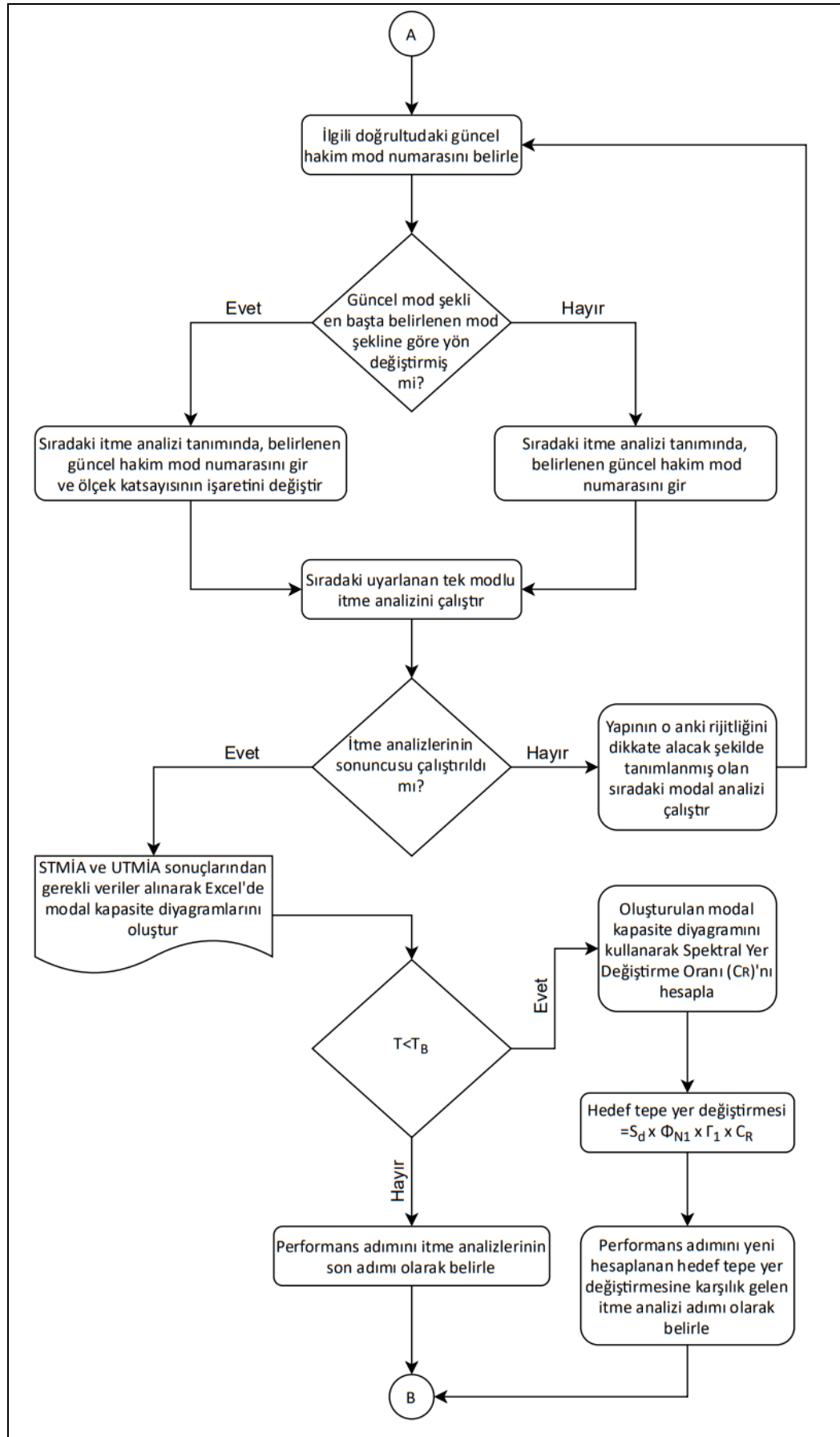
Şekil 3.3: Excel makro uygulamasının görünümü.

Söz konusu uygulama dosyası Ek A’da sunulmuştur.

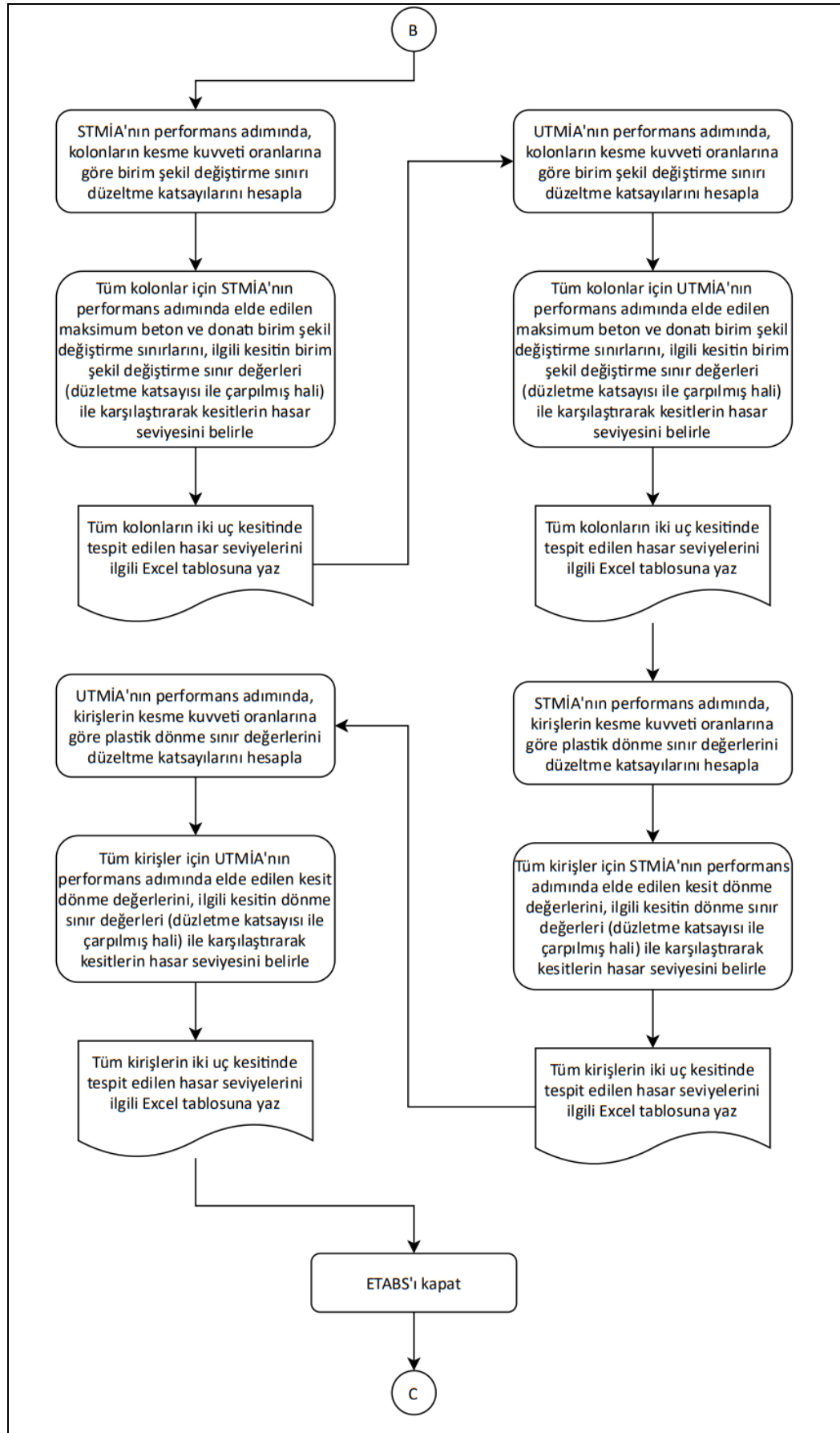
3.2.2. Excel Makro Uygulamasının Kodlama Akış Şeması



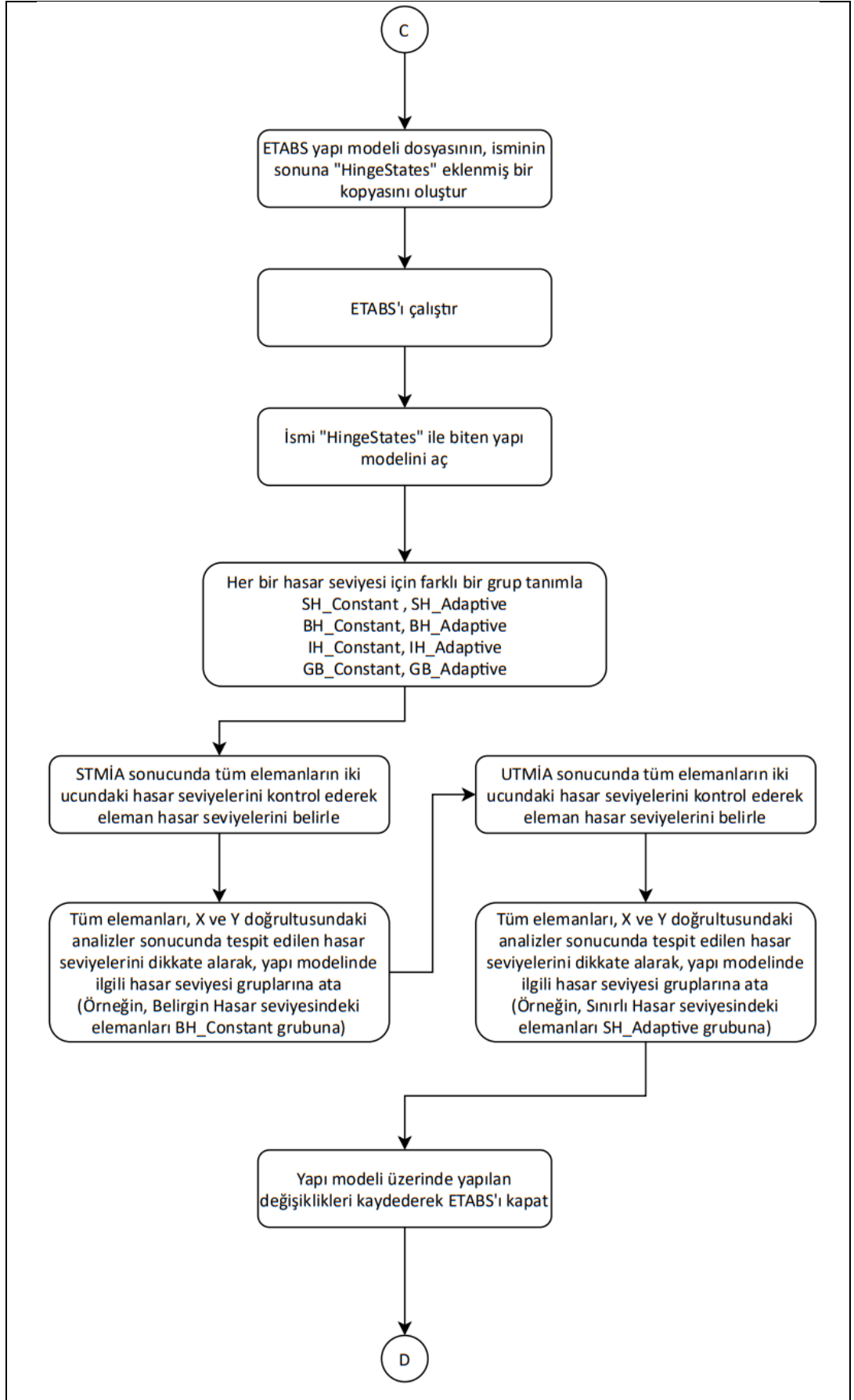
Şekil 3.4: Excel makro uygulaması kodlama akış şeması (1. kısım).



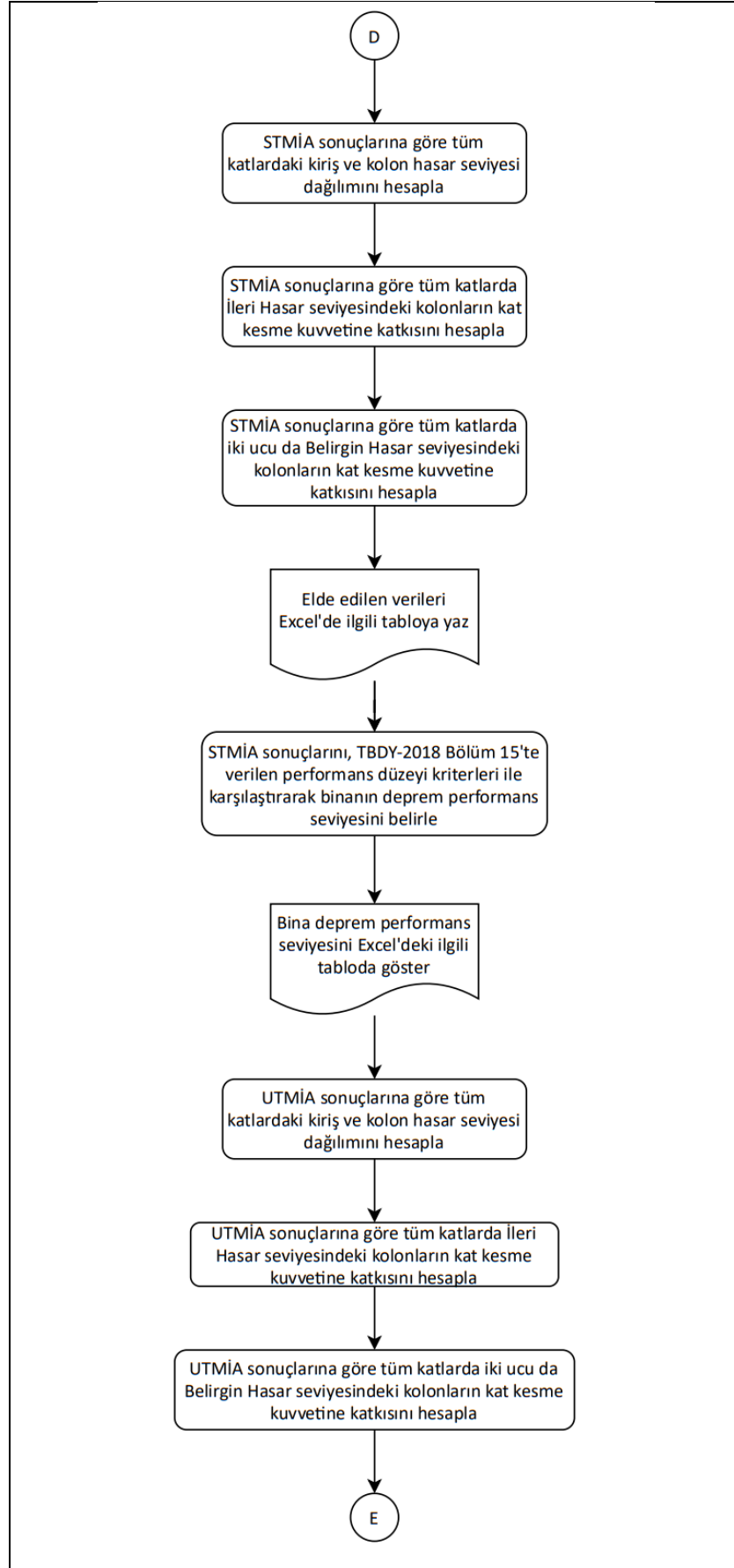
Şekil 3.5: Excel makro uygulaması kodlama akış şeması (2. kısım).



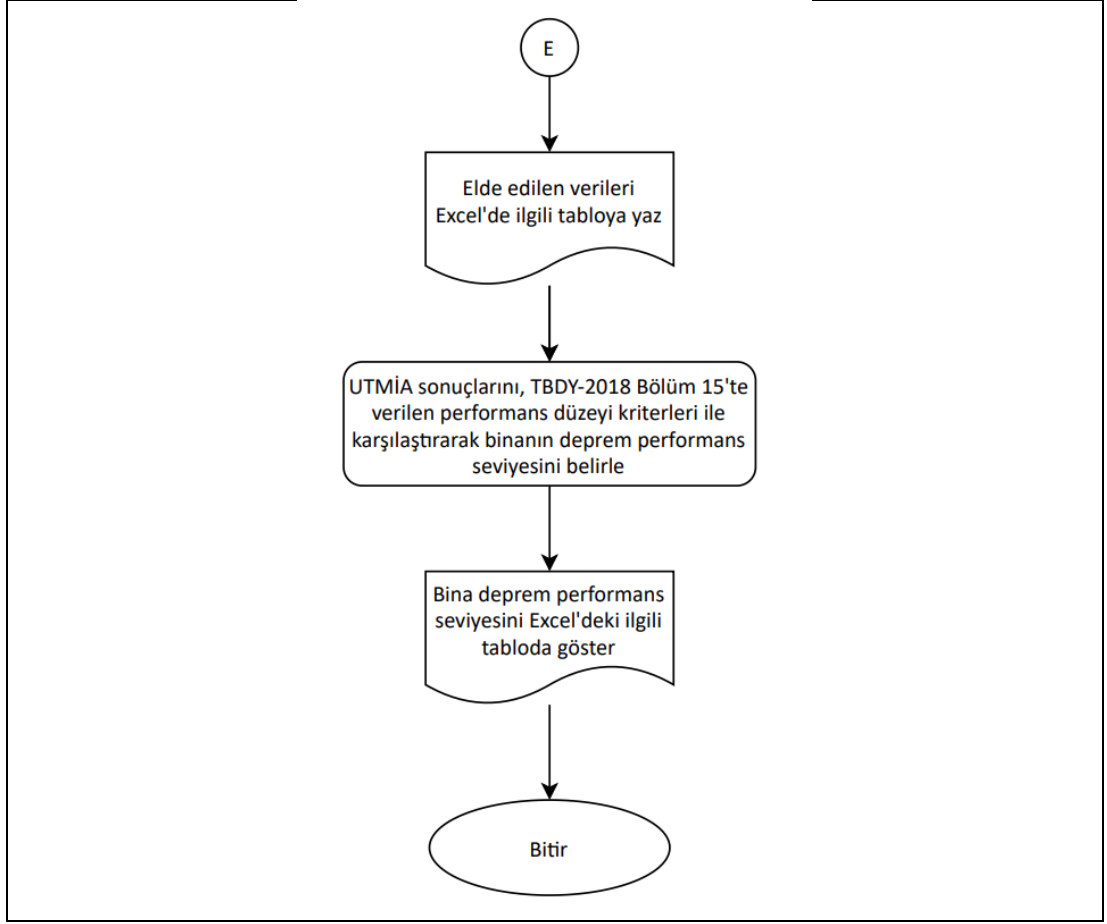
Şekil 3.6: Excel makro uygulaması kodlama akış şeması (3. kısım).



Şekil 3.7: Excel makro uygulaması kodlama akış şeması (4. kısım).



Şekil 3.8: Excel makro uygulaması kodlama akış şeması (5. kısım).



Şekil 3.9: Excel makro uygulaması kodlama akış şeması (6. kısım).

Yukarıdaki işlemlerin gerçekleştirilmesiyle iki analiz tipi için de hem X hem de Y doğrultusunda sonuçlar ayrı ayrı elde edilmektedir. Tüm bu işlemlerin sonucunda elde edilen veriler aşağıda özetlenmiştir:

- Yapının modal kütle katılım oranları tablosu.
- İtme analizlerinden elde edilen modal kapasite diyagramları.
- Tüm kolonların plastik mafsallı bölgelerindeki, beton ve donatı malzemelerinde meydana gelen birim şekil değiştirme değerlerinin ve kesit hasar seviyelerinin gösterildiği tablolar.
- Tüm kirişlerin plastik mafsallı bölgelerindeki plastik dönme değerlerinin ve kesit hasar seviyelerinin gösterildiği tablolar.
- Elemanların hasar seviyesine göre gruplandırıldığı ve renklendirildiği 3 boyutlu yapı modeli.
- Her kattaki kolon ve kirişlerde meydana gelen hasar dağılımını ve yapının TBDY-2018'e göre performans seviyesini gösteren itme analizi sonuç tabloları.

Bunlara ek olarak, söz konusu Excel makro uygulaması ile analizler tamamlanıp sonuçlar alındıktan sonra, “Tepe Deplasmanı – Şekil Değiştirme Grafiği” butonu kullanılarak ilave grafikler oluşturulabilir. Bu butona basıldığında analizleri tamamlanmış olan yapı modeli açılır ve en fazla 5 adet kolon seçilmesi istenir. Seçilen kolonlar için oluşturulan grafiklerde, beton ve donatı malzemelerinin tepe deplasmanı – birim şekil değiştirme ilişkisi sabit ve uyarlanan tek modlu itme analizlerinin her bir adımı için gösterilir. Söz konusu grafikler X ve Y doğrultuları için ayrı ayrı oluşturulur. Tez çalışması kapsamında, doğrusal analiz yöntemleri ile tasarlanmış olan yeni yapılacak binaların performans seviyesi belirlenecektir. Bu nedenle oluşturulan uygulamada kesme dayanımı kontrollerinin yapılmasına ihtiyaç duyulmamıştır.

Çalışma kapsamında yürütülen tüm analizler için yukarıda bahsedilen analiz sonuçlarını içeren Excel makro uygulaması dosyaları dijital olarak Ek A’da sunulmuştur.

4. SAYISAL ÖRNEKLER

Bu bölümde Bölüm 3.2.1’de bahsedilen Excel makro uygulaması aracılığıyla ETABS’ta Sabit Tek Modlu İtme Analizi (STMİA) ve Uyarlanan Tek Modlu İtme Analizi (UTMİA) yöntemleri ile yürütülen analizlerin sonuçları karşılaştırılacaktır.

4.1. Tez Kapsamında Kullanılan Bina Modelleri

Bu tez çalışmasında sabit ve uyarlanan itme analizi yöntemleri kullanılarak deprem performans seviyesi tespit edilecek binalar TBDY-2018’e göre tasarımı yapılmış, taşıyıcı sistemi betonarme moment çerçevelerinden meydana gelen 5 ve 10 katlı binalardır. İki binanın taşıyıcı sistemi birbirine çok benzer olup, yalnızca eleman kesitleri ve kat adetleri birbirinden farklıdır. Her iki binanın da tüm kat yükseklikleri 3’er metre olup, 5 katlı yapının toplam yüksekliği 15m, 10 katlı yapının toplam yüksekliği 30m’dir. Binaların X doğrultusunda 5 açıklık, Y doğrultusunda ise 4 açıklık bulunmaktadır. Dikdörtgen şeklinde oluşturulan taşıyıcı sistem planları 20m x 18m boyutlarındadır. 5 katlı yapının kolonları, 30x30cm, 30x70cm ve 70x30cm boyutlarında kare ve dikdörtgen şeklinde oluşturulmuştur. 10 katlı yapının kolonları ise 60x60cm, 60x70cm ve 70x60cm boyutlarında tasarlanmıştır. Her iki yapının da tüm girişleri 30x50cm boyutlarındadır. Kolonların tamamı bina yüksekliği boyunca aynı boyutta devam etmektedir. Çalışma kapsamında kullanılacak olan uyarlanan tek modlu itme analizi yönteminin etkinliğinin net bir şekilde görülebilmesi amacıyla, söz konusu 5 ve 10 katlı bina modellerinin yalnızca zemin kat kolon donatıları azaltılarak 2 farklı bina modeli daha oluşturulmuştur. Oluşturulan bu düşük dayanımlı kat nedeniyle itme analizi sırasında binanın mod şekillerinde belirgin değişiklikler meydana geleceği düşünülmüştür. Zemin kat kolonlarında diğer katlardan çok daha az donatı bulunması durumu gerçekte pek rastlanacak bir durum olmasa da çalışma konusu analiz yönteminin bu etkileri dikkate alıp almadığının gösterilmesi açısından bu modeller uygun olacaktır.

Tablo 4.1’de bu çalışmada kullanılacak olan binaların geometrik ve malzeme özellikleri özetlenmiştir:

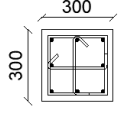
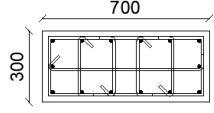
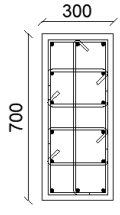
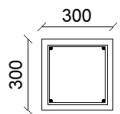
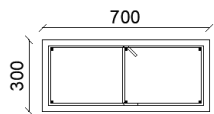
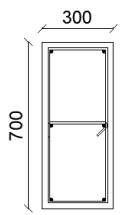
Tablo 4.1: Bina özellikleri.

	Bina-1 ve Bina-2	Bina-3 ve Bina-4
Bina Kat Adedi	5	10
Taşıyıcı Sistem Tipi	Bet. Moment Çerçeveleri	Bet. Moment Çerçeveleri
Açıklık Sayısı (X)	5	5
Açıklık Sayısı (Y)	4	4
Plan Boyutu	20x18m	20x18m
Kat Yükseklikleri	3m	3m
Bina Yüksekliği	15m	30m
Köşe Kolon Boyutları	30x30cm	60x60cm
Diğer Kolonların Boyutları	30x70cm ve 70x30cm	60x70cm ve 70x60cm
Kiriş Boyutları	30x50cm	30x50cm
Döşeme Sistemi	Kirişli Plak Döşeme	Kirişli Plak Döşeme
Döşeme Kalınlığı	12cm	12cm
Beton Malzeme Sınıfı	C25	C25
Donatı Malzeme Sınıfı	S420	S420

Kolon kesitlerinin donatı bilgileri Tablo 4.2 ile Tablo 4.3'te ve Şekil 4.1 ile Şekil 4.2'de gösterilmiştir:

Tablo 4.2: 5 Katlı binaların kolon donatı tablosu.

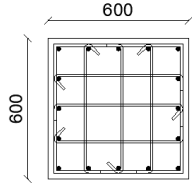
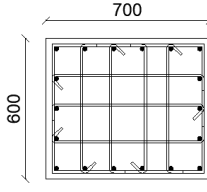
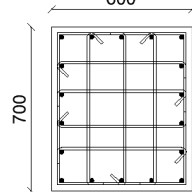
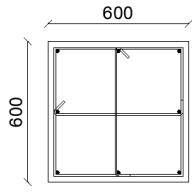
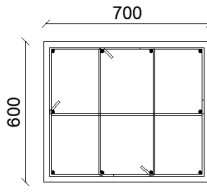
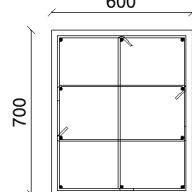
Bina-1 (5 Katlı)		
Kolon Kesiti	Boyuna Donatı	Enine Donatı
C30x30	8 ϕ 14	ϕ 10/10
C30x70	14 ϕ 14	ϕ 10/10
C70x30	14 ϕ 14	ϕ 10/10
Bina-2 (5 Katlı)		
Kolon Kesiti	Boyuna Donatı	Enine Donatı
C30x30	8 ϕ 14	ϕ 10/10
C30x70	14 ϕ 14	ϕ 10/10
C70x30	14 ϕ 14	ϕ 10/10
C30x30_Story1	4 ϕ 12	ϕ 8/25
C30x70_Story1	6 ϕ 12	ϕ 8/25
C70x30_Story1	6 ϕ 12	ϕ 8/25

C60x60	C70x60	C60x70
		
C60x60_Story1	C70x60_Story1	C60x70_Story1
		

Şekil 4.1: 5 Katlı binaların kolon donatı detayları.

Tablo 4.3: 10 Katlı binaların kolon donatı tablosu.

Bina-3 (10 Katlı)		
Kolon Kesiti	Boyuna Donatı	Enine Donatı
C60x60	16 ϕ 18	ϕ 10/10
C60x70	18 ϕ 18	ϕ 10/10
C70x60	18 ϕ 18	ϕ 10/10
Bina-4 (10 Katlı)		
Kolon Kesiti	Boyuna Donatı	Enine Donatı
C60x60	16 ϕ 18	ϕ 10/10
C60x70	18 ϕ 18	ϕ 10/10
C70x60	18 ϕ 18	ϕ 10/10
C60x60_Story1	8 ϕ 14	ϕ 8/25
C60x70_Story1	10 ϕ 14	ϕ 8/25
C70x60_Story1	10 ϕ 14	ϕ 8/25

C60x60	C70x60	C60x70
		
C60x60_Story1	C70x60_Story1	C60x70_Story1
		

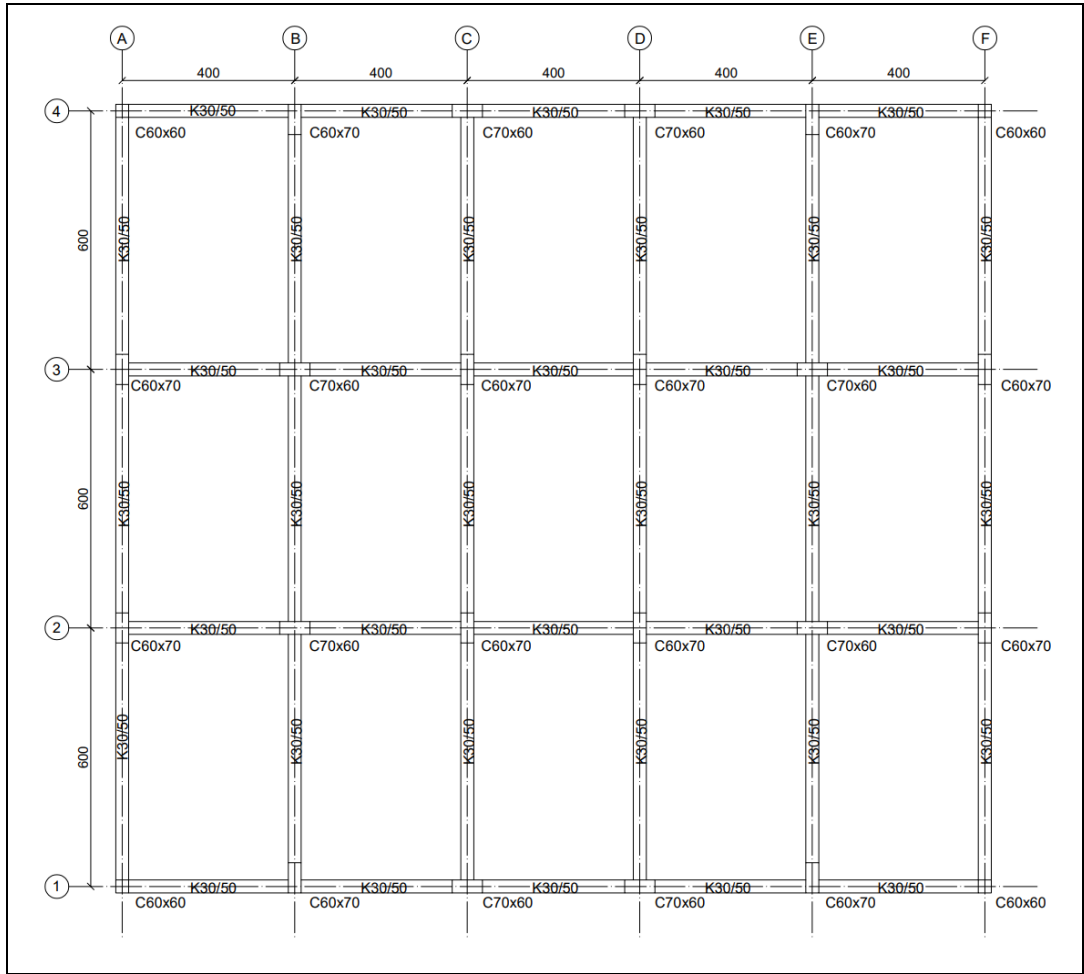
Şekil 4.2: 10 Katlı binaların kolon donatı detayları.

Yukarıda bahsedilen bina modelleri ETABS programı kullanılarak oluşturulmuştur. Yapı modelinde kolonlar ve kirişler, çubuk elemanlar olarak, plak döşemeler ise kabuk elemanlar olarak tanımlanmıştır. Modellere temeller dahil edilmemiş olup zemin kat kolonlarının alt uçlarına ankastre mesnetler atanmıştır. Yukarıda verilen donatı bilgileri modellerde tanımlanan ilgili kesitlere girilmiştir. Her kat seviyesindeki tüm düğüm noktalarına diyafram ataması yapılmıştır. Malzeme tanımında sargılı ve sargısız betonların gerilme – birim şekil değiştirme ilişkileri için Mander beton modeli kullanılmıştır. Söz konusu binalar yeni yapılacak binalar olduğundan, TBDY-2018 Bölüm 5’te belirtildiği üzere C25 sınıfı betonun dayanımı hesaplarda 32.5 MPa (beklenen beton dayanımı) olarak dikkate alınmıştır.

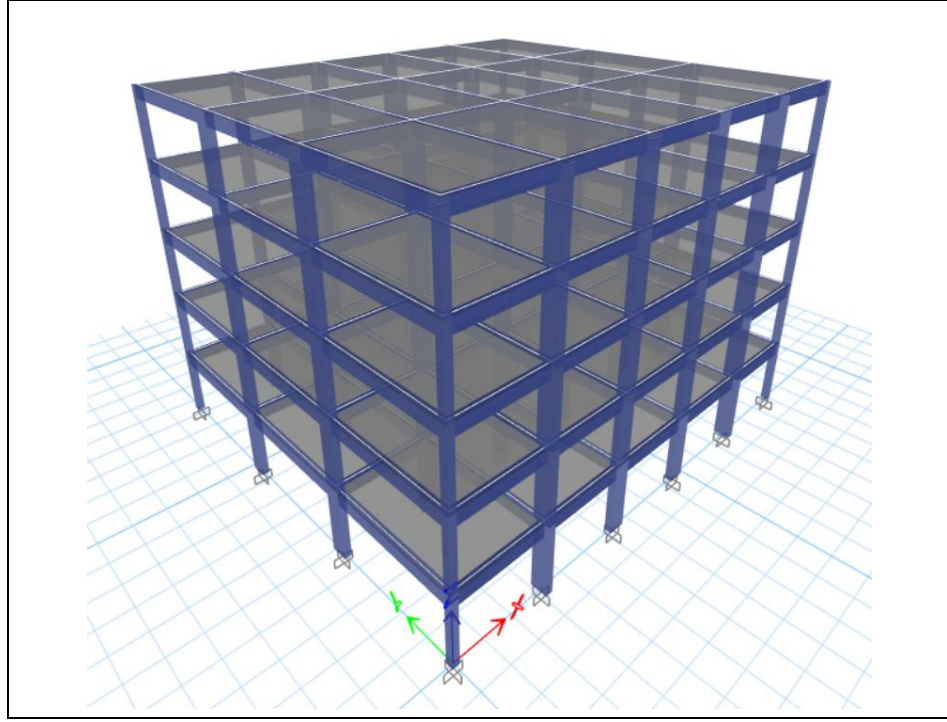
Kolonların plastik mafsalları, yayılı plastisite modelini temel alan fiber mafsallar kullanılarak tanımlanmıştır. Fiber mafsal tanımında kesitin beton ve donatıları çok sayıda fiber elemanlara bölünerek kesitteki eksenel yük ve eğilme etkileri altında meydana gelen şekil değiştirmeler, malzemeler için tanımlanmış olan gerilme-şekil değiştirme ilişkileri kullanılarak hesaplanır. Fiber mafsal modeli ile doğrusal olmayan davranışın eleman boyunca yayılışı gerçeğe yakın bir şekilde dikkate alınmış olur. Oluşan plastik mafsalların hasar seviyelerinin tespiti TBDY-2018’de verilen plastik şekil değiştirme sınırlarına göre yapılacaktır. Kirişlerin plastik mafsalları ise yığılı plastik davranış modelini esas alan tek eksenli eğilme “M3 mafsalları” ile

tanımlanmıştır. M3 mafsallarının tanımında gerekli plastik dönme sınır değerleri, kesitteki aksenal kuvvet ve malzemelerin gerilme – şekil değiştirme ilişkileri kullanılarak yapılan eğrilik analizleri sonucu hesaplanır. Kirişlerin hasar seviyeleri, itme analizlerinin performans adımlarında kiriş kesitlerinde meydana gelen dönmelerin, plastik dönme sınır değerleri ile karşılaştırılmasıyla belirlenecektir.

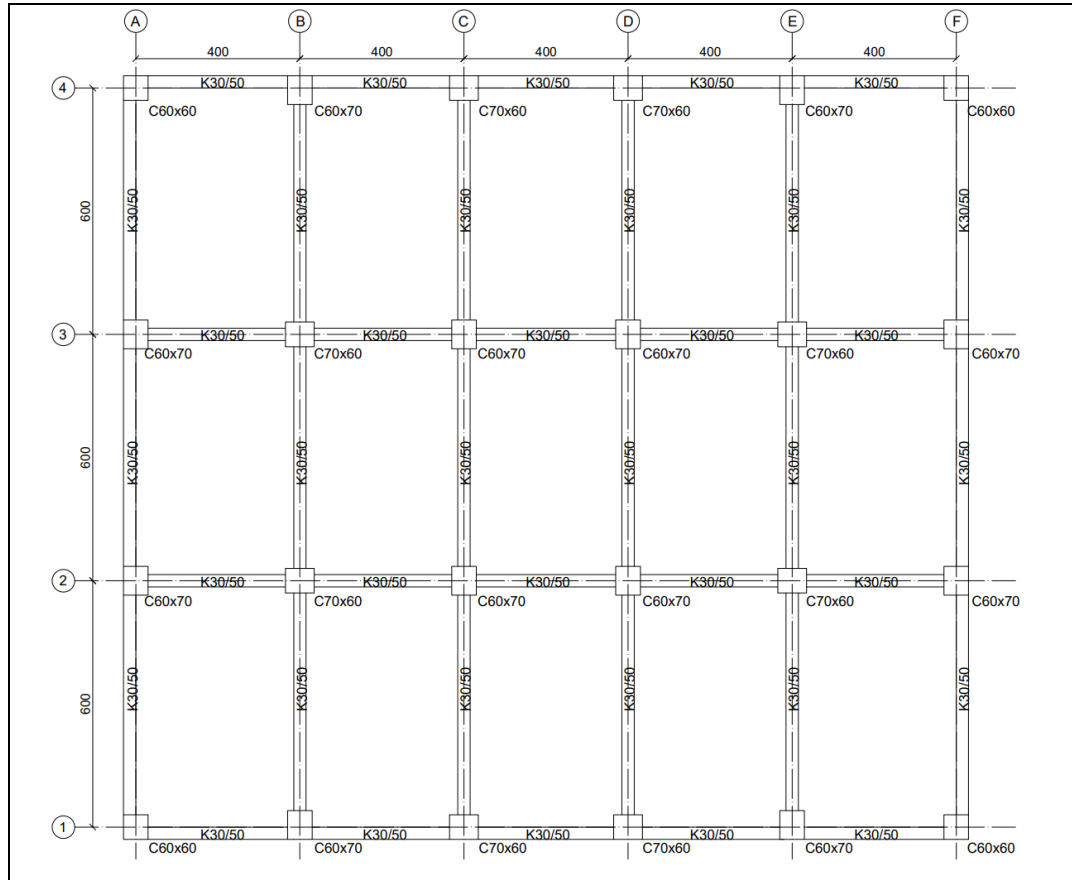
Şekil 4.3, Şekil 4.4, Şekil 4.5 ve Şekil 4.6’da yukarıda bahsedilen binaların taşıyıcı sistem planları ve 3 boyutlu yapı modellerine ait görüntüler verilmiştir:



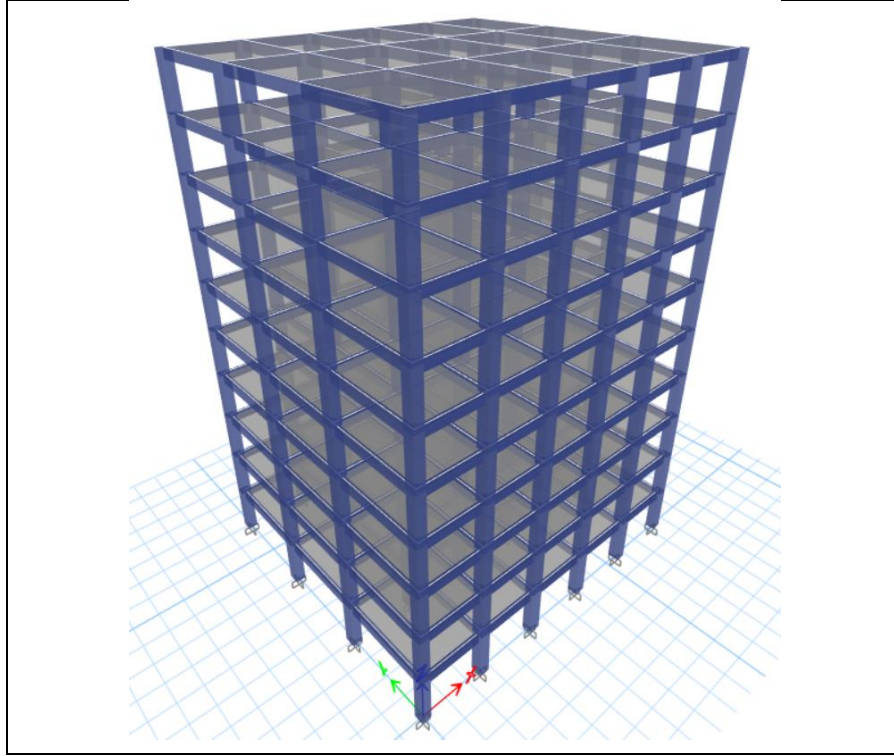
Şekil 4.3: 5 Katlı binanın taşıyıcı sistem planı.



Şekil 4.4: 5 Katlı binanın perspektif görünümü.



Şekil 4.5: 10 Katlı binanın taşıyıcı sistem planı.



Şekil 4.6: 10 Katlı binanın perspektif görünümü.

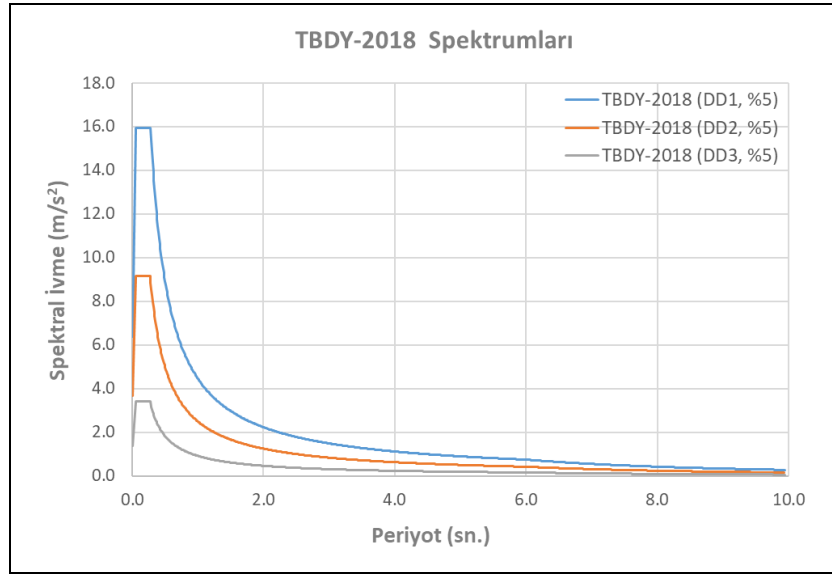
4.2. Analizlerde Dikkate Alınacak Deprem Etkileri

Bu tez çalışması kapsamında deprem performans seviyeleri belirlenecek olan binaların “Küçükçekmece/İstanbul, (40.996 enlem, 28.7748 boylam)” konumunda olduğu ve bölgedeki zemin sınıfının “ZA” olduğu kabul edilmiştir. Bu konum ve zemin bilgileri için “Türkiye Deprem Tehlike Haritaları” kullanılarak üç farklı deprem düzeyi için spektral ivme katsayıları elde edilmiştir.

Tablo 4.4: Binaların bulunduğu konum için elde edilen spektral ivme katsayıları.

Konum Bilgisi	Küçükçekmece, İstanbul
Koordinatlar	40.996, 28.7748
Zemin Sınıfı	ZA
DD1 Depremi - S_{DS}	1.624
DD1 Depremi - S_{D1}	0.454
DD2 Depremi - S_{DS}	0.934
DD2 Depremi - S_{D1}	0.254
DD3 Depremi - S_{DS}	0.347
DD3 Depremi - S_{D1}	0.093

Elde edilen spektral ivme katsayıları kullanılarak TBDY-2018'e göre yatay elastik tasarım ivme spektrumları Şekil 4.7'deki gibi oluşturulmuştur.



Şekil 4.7: Binalar için elde edilen yatay elastik tasarım ivme spektrumu.

4.3. İtme Analizi Sonuçları

Bölüm 3.3'te detaylı bilgileri verilmiş olan 5 katlı binanın DD1, DD2 ve DD3 düzeylerindeki deprem etkileri altında performans seviyelerinin belirlenmesi için itme analizleri gerçekleştirilmiştir. Birbirine dik iki doğrultuda (+X ve +Y) gerçekleştirilen itme analizleri için belirlenen hedef tepe deplasmanı hesabına ilişkin özet bilgi tabloları aşağıda verilmiştir:

Tablo 4.5: Farklı deprem düzeyleri için 5 katlı binanın (Bina-1) hedef tepe deplasmanının belirlenmesi.

Bina-1	+X Yönü	+Y Yönü
Bina Kütlesi (kN-s²/m)	2,298.99	2,298.99
Modal Katılım Çarpanı (Γ_1)	42.18	41.72
Efektif Kütle (kN-s²/m)	1,778.83	1,740.72
Kütle Katılım Oranı	0.77	0.76
(Mod Şeklinin Tepe Noktası Değeri) Φ_{N1}	0.03	0.03
$\Phi_{N1} \times \Gamma_1$	1.36	1.38
T (sn)	1.31	1.31
ω	4.81	4.80
ω^2	23.11	23.02

Tablo 4.5 (Devamı): Farklı deprem düzeyleri için 5 katlı binanın (Bina-1) hedef tepe deplasmanının belirlenmesi.

Bina-1	+X Yönü			+Y Yönü		
Deprem Düzeyi	DD1	DD2	DD3	DD1	DD2	DD3
T_A (sn)	0.06	0.05	0.05	0.06	0.05	0.05
T_B (sn)	0.28	0.27	0.27	0.28	0.27	0.27
S_a (m/sn ²)	3.41	1.91	0.70	3.40	1.90	0.70
S_d (m)	0.147	0.082	0.030	0.148	0.083	0.030
S_D (m) (Hedef Tepe Deplasmanı)	0.200	0.112	0.041	0.204	0.114	0.042
STMİA Performans Adımı	60	60	60	60	60	60
UTMİA Numarası	20	12	5	21	12	5
UTMİA Performans Adımı	10	10	10	10	10	10

Tablo 4.6: Farklı deprem düzeyleri için 5 katlı zemin katı zayıflatılmış binanın (Bina-2) hedef tepe deplasmanının belirlenmesi.

Bina-2	+X Yönü			+Y Yönü		
Bina Kütlesi (kN-s ² /m)	2,298.99			2,298.99		
Modal Katılım Çarpanı (Γ_1)	42.20			41.74		
Efektif Kütle (kN-s ² /m)	1,780.46			1,742.30		
Kütle Katılım Oranı	0.77			0.76		
(Mod Şeklinin Tepe Noktası Değeri) Φ_{N1}	0.03			0.03		
$\Phi_{N1} \times \Gamma_1$	1.36			1.38		
T (sn)	1.31			1.31		
ω	4.80			4.79		
ω^2	23.05			22.95		
Deprem Düzeyi	DD1	DD2	DD3	DD1	DD2	DD3
T_A (sn)	0.06	0.05	0.05	0.06	0.05	0.05
T_B (sn)	0.28	0.27	0.27	0.28	0.27	0.27
S_a (m/sn ²)	3.40	1.90	0.70	3.39	1.90	0.70
S_d (m)	0.148	0.083	0.030	0.148	0.083	0.030
S_D (m) (Hedef Tepe Deplasmanı)	0.200	0.112	0.041	0.204	0.114	0.042
STMİA Performans Adımı	60	60	60	60	60	60
UTMİA Numarası	21	12	5	21	12	5
UTMİA Performans Adımı	10	10	10	10	10	10

Tablo 4.7: Farklı deprem düzeyleri için 10 katlı binanın (Bina-3) hedef tepe deplasmanının belirlenmesi.

Bina-3	+X Yönü			+Y Yönü		
Bina Kütlesi (kN-s ² /m)	5,099.08			5,099.08		
Modal Katılım Çarpanı (Γ_1)	61.44			61.12		
Efektif Kütle (kN-s ² /m)	3,774.30			3,736.12		
Kütle Katılım Oranı	0.74			0.73		

Tablo 4.7 (Devamı): Farklı deprem düzeyleri için 10 katlı binanın (Bina-3) hedef tepe deplasmanının belirlenmesi.

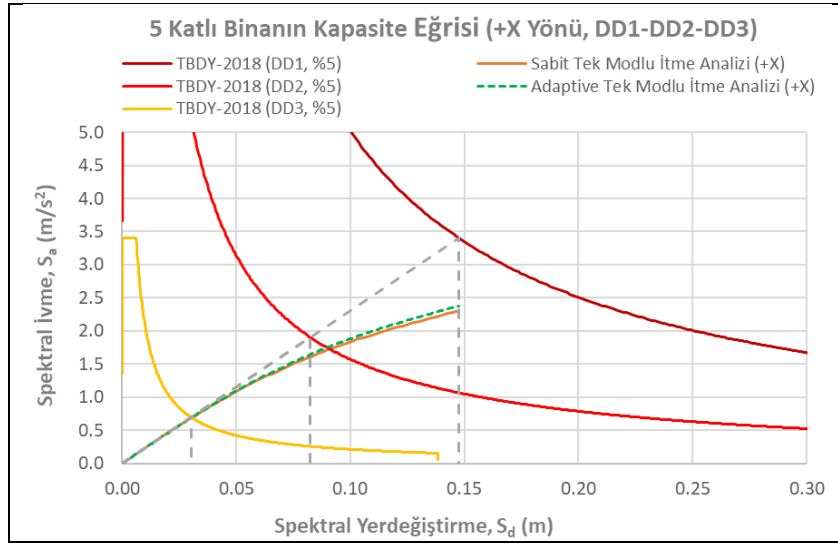
Bina-3	+X Yönü			+Y Yönü		
(Mod Şeklinin Tepe Noktası Değeri) Φ_{N1}	0.02			0.02		
$\Phi_{N1} \times \Gamma_1$	1.38			1.39		
T (sn)	2.42			2.60		
ω	2.59			2.41		
ω^2	6.73			5.82		
Deprem Düzeyi	DD1	DD2	DD3	DD1	DD2	DD3
T _A (sn)	0.06	0.05	0.05	0.06	0.05	0.05
T _B (sn)	0.28	0.27	0.27	0.28	0.27	0.27
S _a (m/sn ²)	1.84	1.03	0.38	1.71	0.96	0.35
S _d (m)	0.273	0.153	0.056	0.294	0.164	0.060
S _D (m) (Hedef Tepe Deplasmanı)	0.378	0.211	0.077	0.409	0.229	0.084
STMİA Performans Adımı	60	60	60	60	60	60
UTMİA Numarası	38	22	8	41	23	9
UTMİA Performans Adımı	10	10	10	10	10	10

Tablo 4.8: Farklı deprem düzeyleri için 10 katlı zemin katı zayıflatılmış binanın (Bina-4) hedef tepe deplasmanının belirlenmesi.

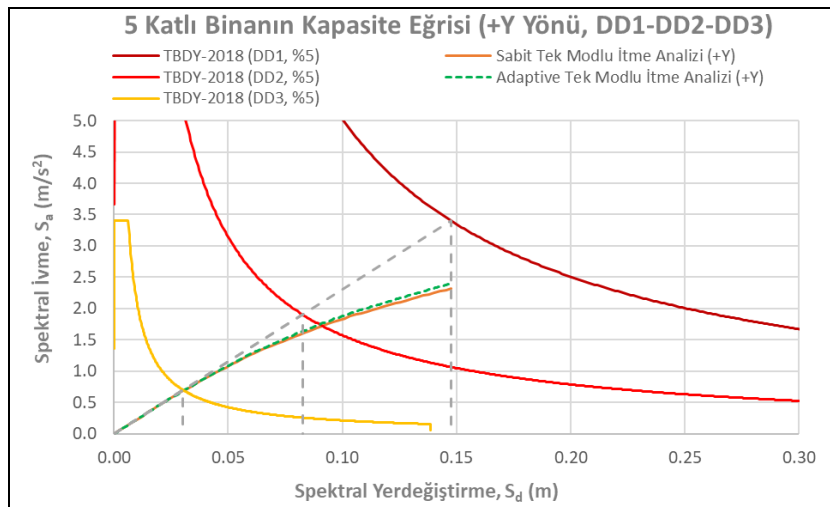
Bina-4	+X Yönü			+Y Yönü		
Bina Kütlesi (kN-s ² /m)	5,099.00			5,099.00		
Modal Katılım Çarpanı (Γ_1)	61.54			61.24		
Efektif Kütle (kN-s ² /m)	3,786.99			3,750.75		
Kütle Katılım Oranı	0.74			0.74		
(Mod Şeklinin Tepe Noktası Değeri) Φ_{N1}	0.02			0.02		
$\Phi_{N1} \times \Gamma_1$	1.38			1.39		
T (sn)	2.43			2.62		
ω	2.58			2.40		
ω^2	6.68			5.77		
Deprem Düzeyi	DD1	DD2	DD3	DD1	DD2	DD3
T _A (sn)	0.06	0.05	0.05	0.06	0.05	0.05
T _B (sn)	0.28	0.27	0.27	0.28	0.27	0.27
S _a (m/sn ²)	1.83	1.02	0.38	1.70	0.95	0.35
S _d (m)	0.274	0.153	0.056	0.295	0.165	0.060
S _D (m) (Hedef Tepe Deplasmanı)	0.379	0.212	0.078	0.411	0.230	0.084
STMİA Performans Adımı	60	60	60	60	60	60
UTMİA Numarası	38	22	8	42	23	9
UTMİA Performans Adımı	10	10	10	10	10	10

4.3.1. Kapasite Eğrilerinin Karşılaştırılması

Yürütülen itme analizleri sonucunda, binanın kapasite eğrileri İYTS formatında (Spektral ivme – Spektral yer değiştirme) oluşturulan tepki spektrumları üzerinde gösterilmiştir. Bölüm 4.1’deki tablolardan görüldüğü üzere en büyük tepe deplasman talebi DD1 depremi etkisi altında oluşmaktadır. Oluşturulan tepki spektrumlarında, söz konusu en büyük tepe deplasman değerine kadar elde edilen kapasite eğrisi üzerinde daha düşük deprem seviyeleri için belirlenen hedef tepe deplasman değerleri de işaretlenerek karşılaştırma yapılmıştır. Üç deprem düzeyi için de ayrı ayrı oluşturulan kapasite eğrileri dijital olarak Ek A’da sunulmuştur.

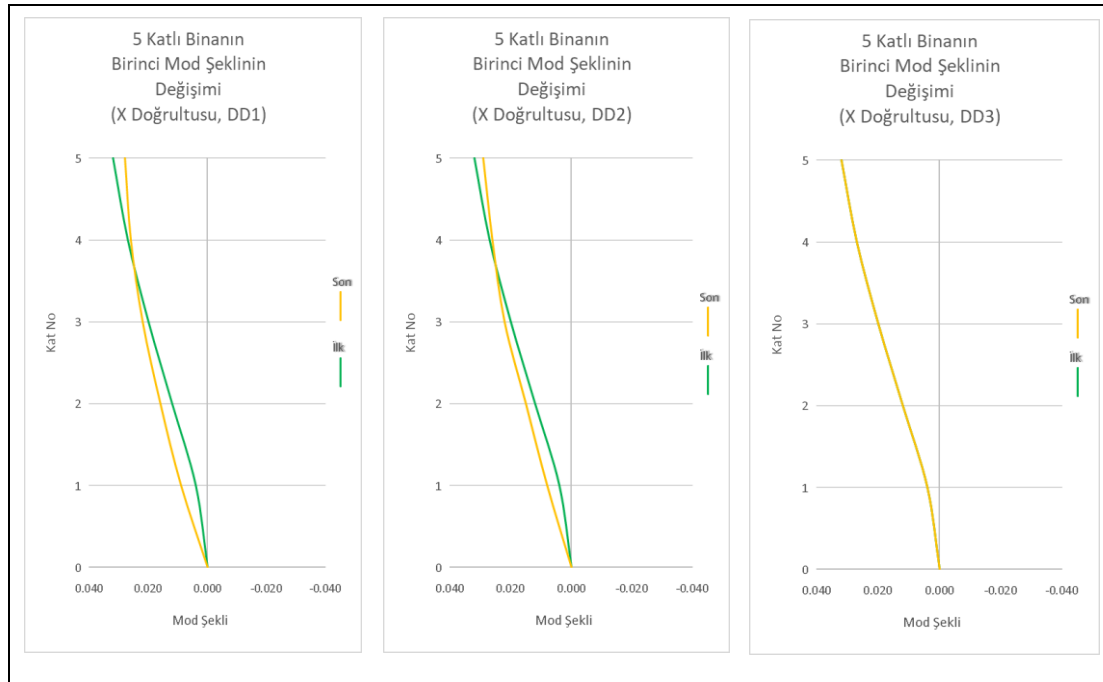


Şekil 4.8: 5 Katlı binanın itme analizlerinden elde edilen kapasite eğrileri (+X).

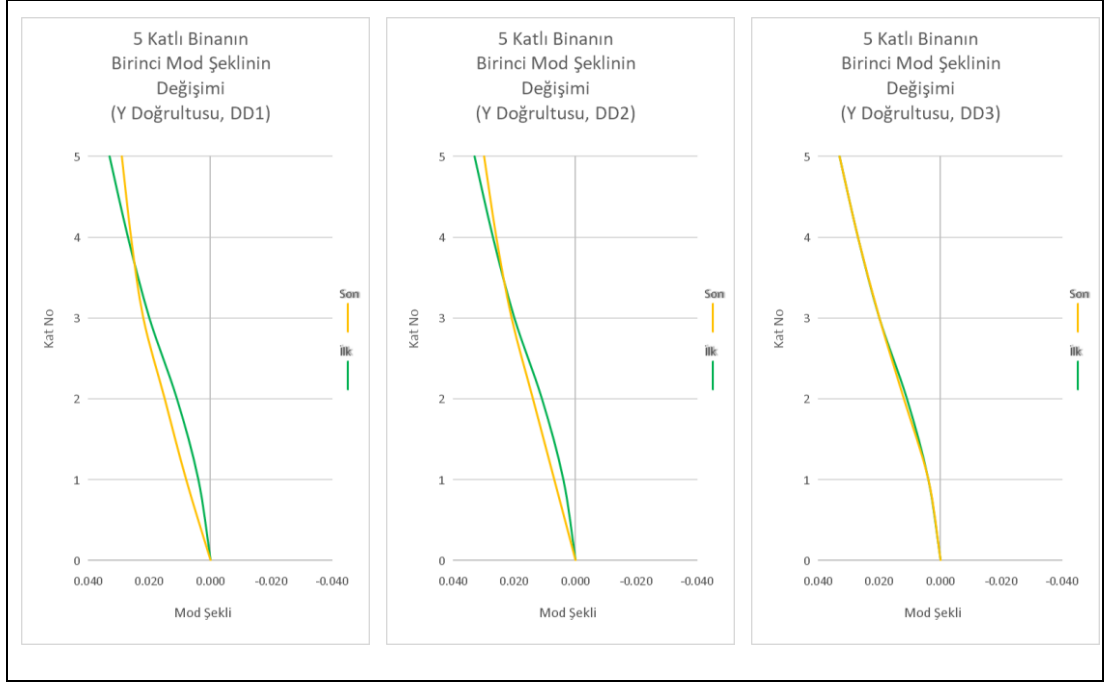


Şekil 4.9: 5 Katlı binanın itme analizlerinden elde edilen kapasite eğrileri (+Y).

Yukarıdaki kapasite eğrilerinden görüldüğü gibi, 5 katlı binanın tepe yer değiştirmesi arttıkça STMİA ve UTMİA yöntemlerinden elde edilen kapasite eğrilerinin farklılaştığı görülmektedir. DD3 deprem düzeyindeki hedef tepe deplasman değerine ulaşıldığı anda (performans noktasında) iki yonteme ait kapasite eğrilerinin neredeyse üst üste çakıştığı görülmektedir. DD2 deprem düzeyindeki performans noktasında, kapasite eğrileri arasında bir miktar fark oluşmuştur. DD1 deprem düzeyindeki performans noktasında ise bu fark artarak daha belirgin hale gelmiştir. UTMİA'dan elde edilen kapasite eğrisinin artan bina tepe deplasmanına bağlı olarak farklılaşması, itme analizi sırasında binada meydana gelen plastik mafsallar nedeniyle birinci mod şeklinin değişmesinin bir sonucudur. DD3 deprem düzeyindeki performans noktasında kapasite eğrilerinin neredeyse üst üste çakışması, henüz plastik şekil değiştirmelerin oluşmaması nedeniyle binanın mod şeklinde önemli bir değişikliğin meydana gelmediğini göstermektedir. UTMİA başlangıcındaki ve bitişindeki birinci mod şekilleri üst üste çizilerek karşılaştırılmıştır. Şekillerin kolay anlaşılabilir olması için, analizin ara adımlarında elde edilen mod şekilleri gösterilmemiştir. Tüm binalar için birinci mod şekillerinde meydana gelen değişimin gösterildiği grafikler dijital olarak Ek A'da sunulmuştur.

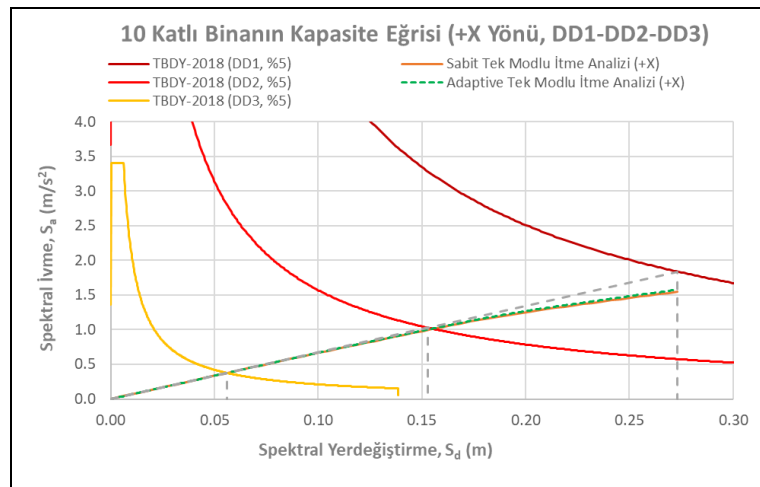


Şekil 4.10: 5 Katlı binanın UTMİA sonucunda birinci mod şeklinde meydana gelen değişim (+X).

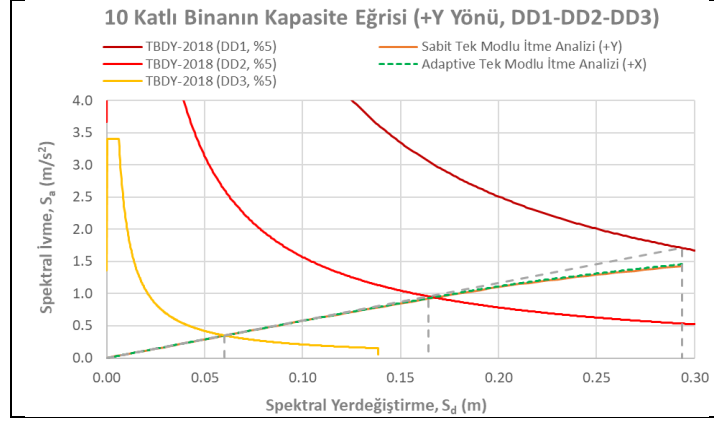


Şekil 4.11: 5 Katlı binanın UTMİA sonucunda birinci mod şeklinde meydana gelen değişim (+Y).

Görüldüğü gibi, DD1 deprem düzeyi için yürütülen uyarlanan tek modlu itme analizinde, binada meydana gelen plastik şekil değiştirmeler nedeniyle birinci mod şekli değişime uğramıştır. Tepe deplasman talebinin daha az olduğu DD2 deprem düzeyi için yürütülen analizde, mod şeklinde meydana gelen değişimin de daha az olduğu görülmektedir. DD3 deprem düzeyinde ise plastik şekil değiştirme meydana gelmediğinden mod şekli neredeyse hiç değişmemiştir.

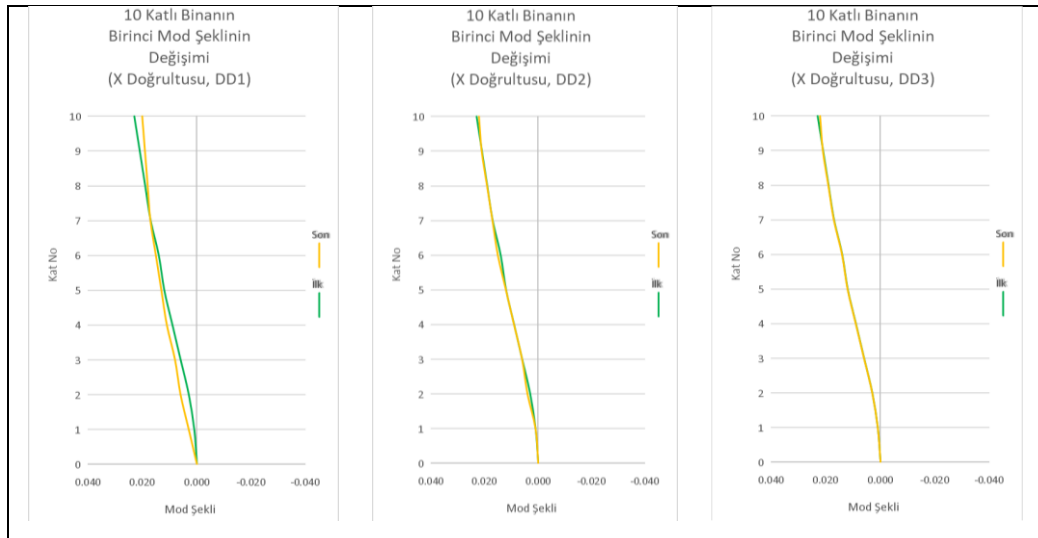


Şekil 4.12: 10 Katlı binanın itme analizlerinden elde edilen kapasite eğrileri (+X).

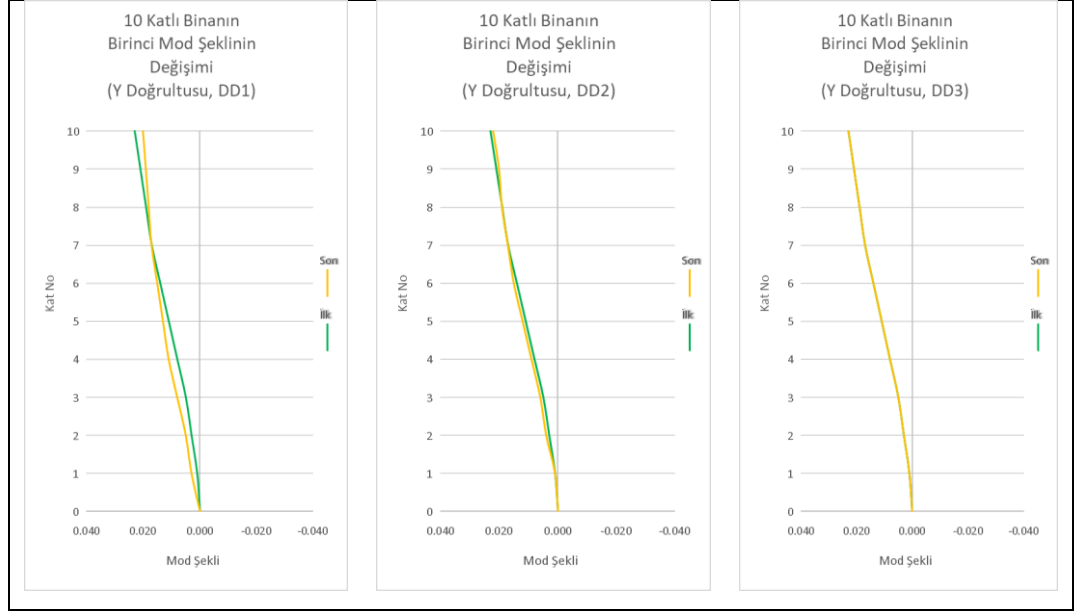


Şekil 4.13: 10 Katlı binanın itme analizlerinden elde edilen kapasite eğrileri (+Y).

Yukarıdaki grafiklerde 10 katlı binanın itme analizlerinden elde edilen kapasite eğrileri gösterilmiştir. Bu grafiklerden, DD3 ve DD2 deprem düzeylerinde binanın elastik davranış gösterdiği anlaşılmaktadır. Elastik davranış gösteren binada kalıcı deformasyonlar meydana gelmediği için mod şekillerinde, dolayısıyla yatay yük dağılımında önemli bir değişim olmamıştır. Bunun sonucu olarak DD3 ve DD2 deprem düzeylerindeki performans noktalarında iki farklı analiz yönteminden elde edilen kapasite eğrilerinin neredeyse çakıştığı görülmektedir. DD1 deprem düzeyinde ise artan hedef tepe deplasmanı değerine bağlı olarak yapıda kalıcı deformasyonlar (plastik mafsallar) meydana gelmiştir. UTMİA'da yatay yük dağılımı bu deformasyonlar dikkate alınarak belirlendiği için kapasite eğrisinde, STMİA'dan elde edilen kapasite eğrisine göre farklılık görülmektedir.



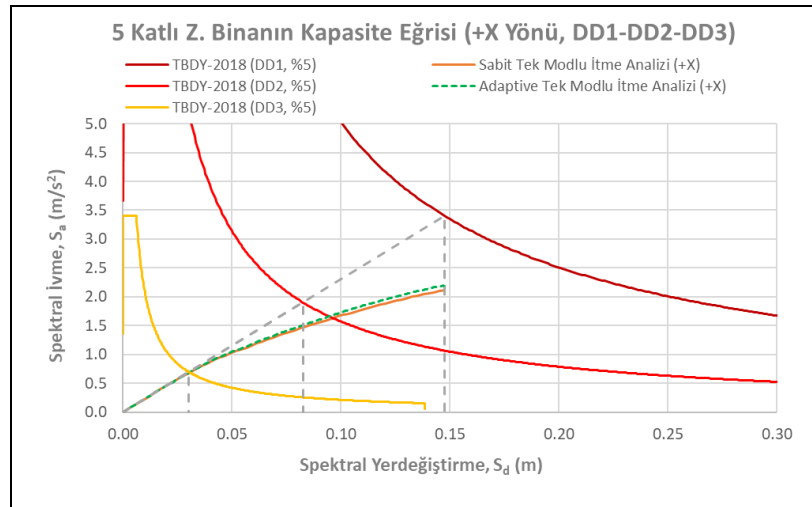
Şekil 4.14: 10 Katlı binanın UTMİA sonucunda birinci mod şeklinde meydana gelen değişim (+X).



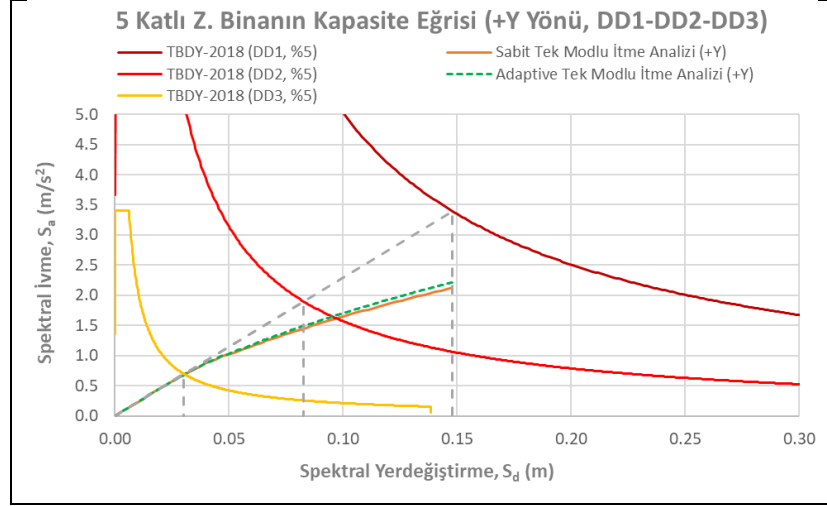
Şekil 4.15: 10 Katlı binanın UTMİA sonucunda birinci mod şeklinde meydana gelen değişim (+Y).

Elde edilen mod şekillerinden görüldüğü üzere, DD3 ve DD2 düzeyindeki depremler için yürütülen uyarlanan tek modlu itme analizlerinde, binanın birinci mod şeklinde önemli bir değişim olmamıştır. DD1 deprem düzeyi için yürütülen analizlerin sonucunda ise mod şeklindeki değişim daha belirgindir.

Zemin kat kolonlarında diğer katlara göre çok daha az donatı bulunan 5 ve 10 katlı binaların (Bina-2 ve Bina-4) analiz sonuçları da oluşturulan kapasite eğrileri ve elde edilen mod şekilleri incelenerek değerlendirilmiştir.

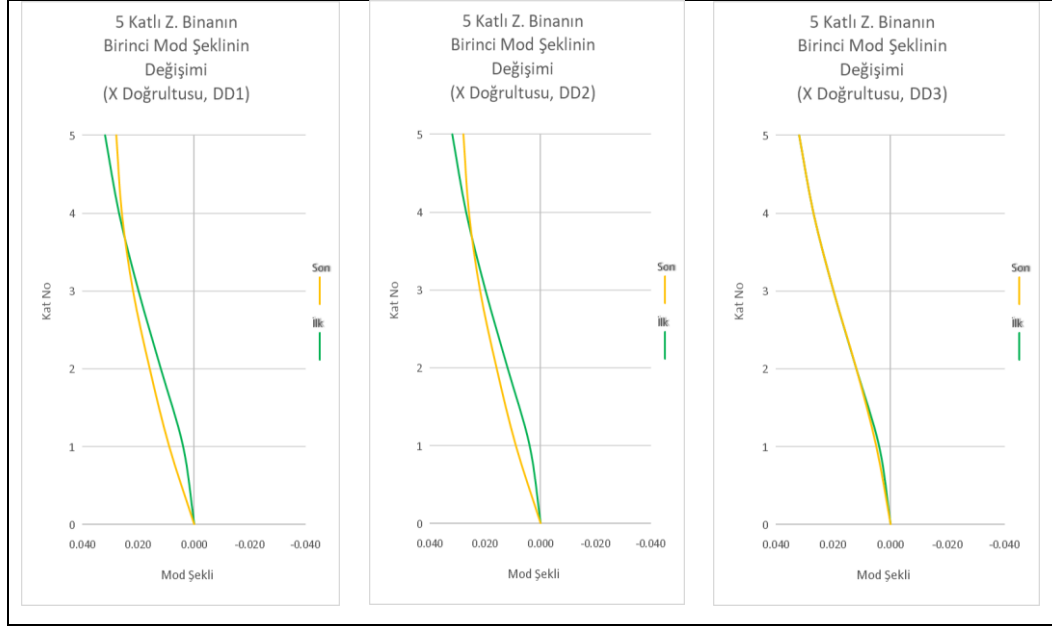


Şekil 4.16: 5 Katlı, zemin katı zayıflatılmış binanın itme analizlerinden elde edilen kapasite eğrileri (+X).

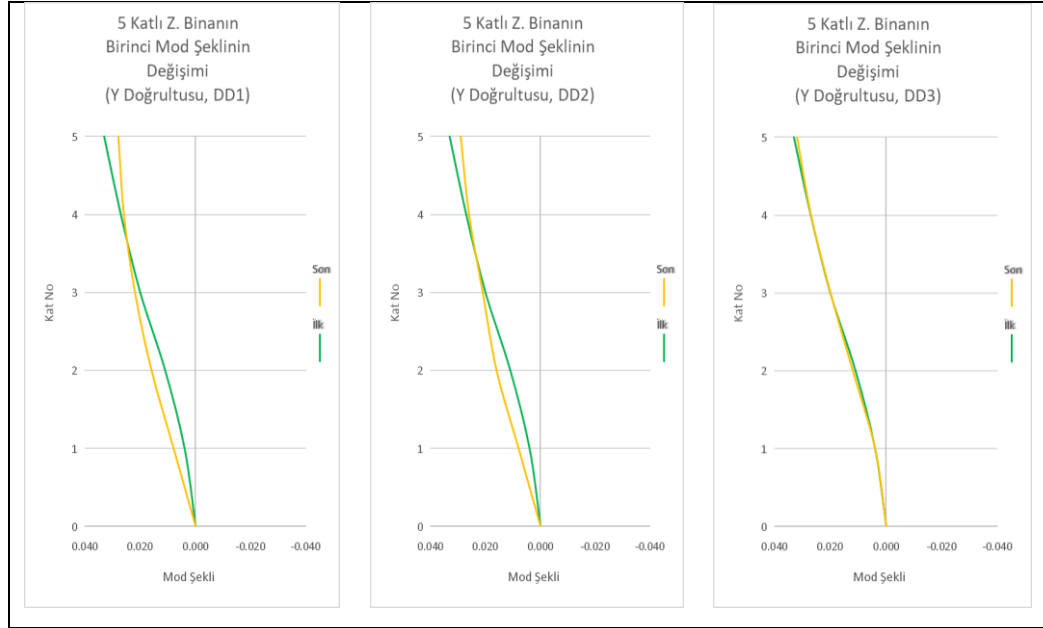


Şekil 4.17: 5 Katlı, zemin katı zayıflatılmış binanın itme analizlerinden elde edilen kapasite eğrileri (+Y).

Yukarıdaki şekillerden görüldüğü üzere zemin kat kolonlarının donatıları azaltılmış 5 katlı binanın (Bina-2) itme analizlerinden elde edilen kapasite eğrileri, DD3 deprem düzeyindeki performans noktasında neredeyse üst üste çakışmaktadır. DD2 ve DD1 depremlerinde ise söz konusu kapasite eğrileri arasındaki fark artmaktadır. Kapasite eğrilerinin eğiminin, kolonları zayıflatılmamış olan binanın (Bina-1) kapasite eğrilerinin eğiminden az olduğu görülmektedir. Bu da bina dayanımının azaldığını göstermektedir. Ancak iki farklı analiz tipinden elde edilen kapasite eğrileri arasındaki fark Bina-1 için elde edilen kapasite eğrilerinin arasındaki farka çok yakındır. Örneğin, her iki bina tipinde de, DD1 deprem düzeyi için yürütülen STMİA ve UTMİA sonuçlarından elde edilen performans noktasındaki spektral ivme değerleri arasındaki fark %3-4 arasındadır. Bina-2 için yürütülen UTMİA sonucunda birinci mod şeklinde meydana gelen değişim DD1, DD2 ve DD3 deprem düzeyleri için Şekil 4.18 ve Şekil 4.19’da gösterilmiştir.

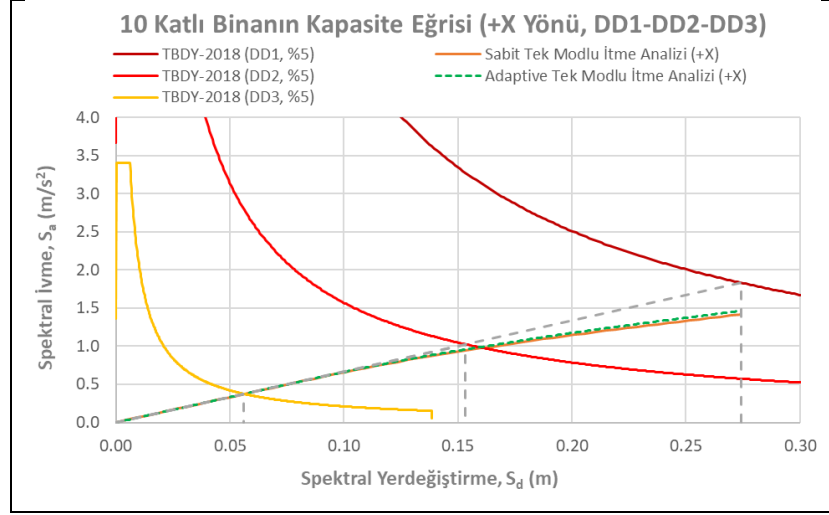


Şekil 4.18: 5 Katlı, zemin katı zayıflatılmış binanın UTMİA sonucunda birinci mod şeklinde meydana gelen değişim (+X).

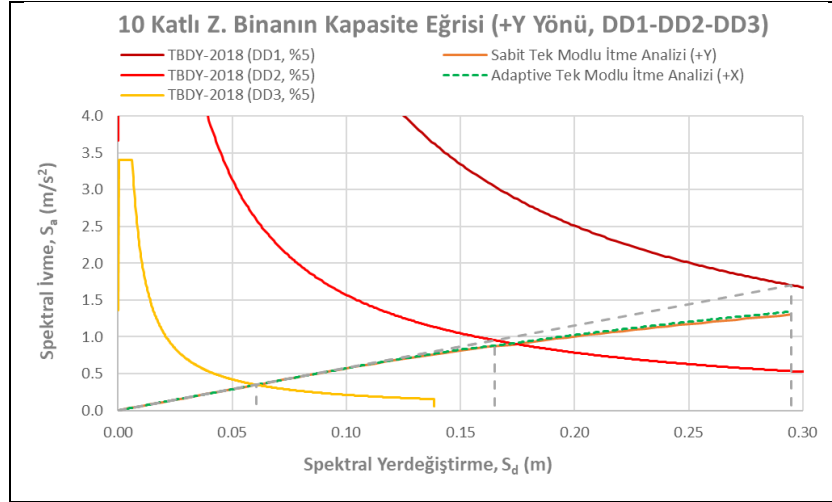


Şekil 4.19: 5 Katlı, zemin katı zayıflatılmış binanın UTMİA sonucunda birinci mod şeklinde meydana gelen değişim (+Y).

Görüldüğü gibi birinci mod şeklindeki değişimin en belirgin olduğu deprem düzeyi DD1 deprem düzeyidir. DD2 deprem düzeyi için yürütülen analiz sonucunda da mod şeklinde belirgin bir değişim meydana gelmiş olup DD3 deprem düzeyi için yürütülen analiz sonucunda mod şekli neredeyse değişmemiştir.

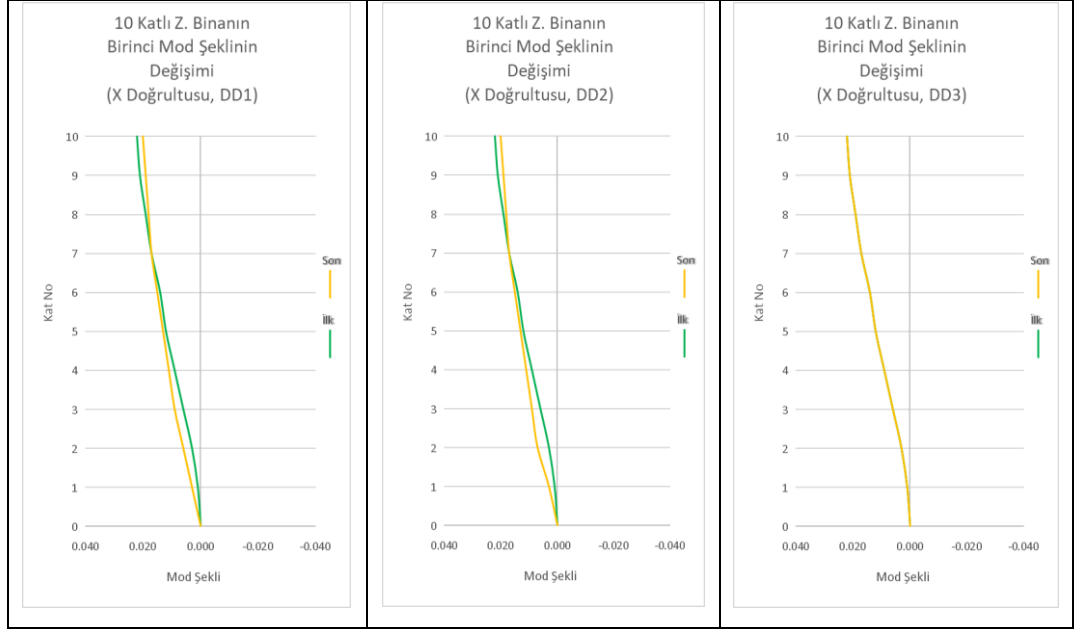


Şekil 4.20: 10 Katlı, zemin katı zayıflatılmış binanın itme analizlerinden elde edilen kapasite eğrileri (+X).

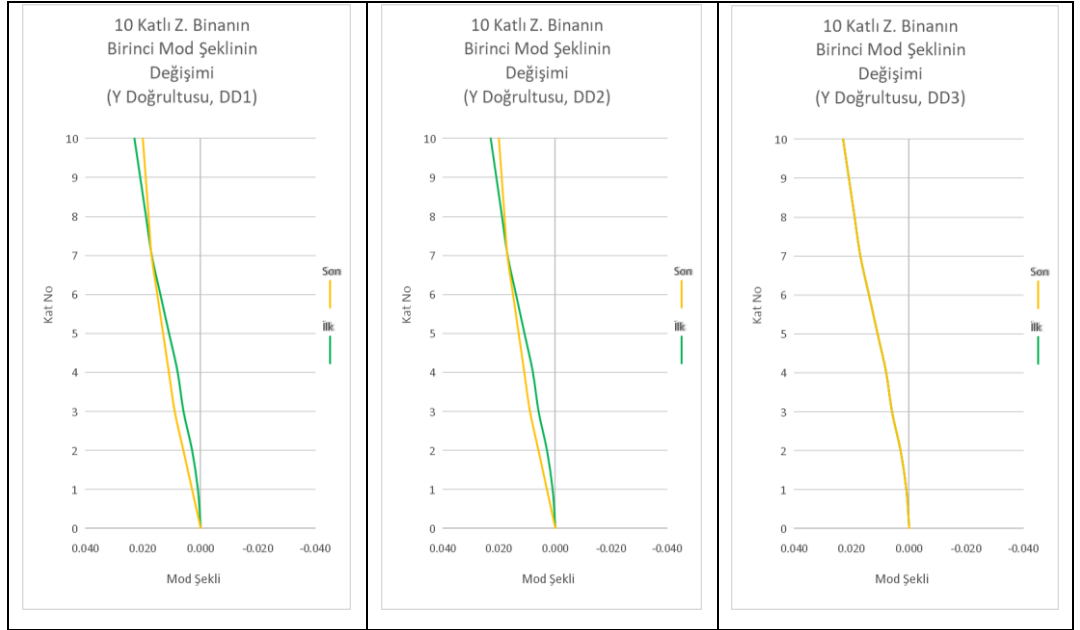


Şekil 4.21: 10 Katlı, zemin katı zayıflatılmış binanın itme analizlerinden elde edilen kapasite eğrileri (+Y).

Yukarıdaki şekillerde 10 katlı, zemin kat kolonlarının donatıları azaltılmış olan binanın (Bina-4) itme analizlerinden elde edilen kapasite eğrileri gösterilmiştir. Analiz sonuçlarından görüldüğü üzere, DD3 ve DD2 deprem düzeyleri için yürütülen analizlerde Bina-3'tekine benzer şekilde Bina-4 de elastik davranış göstermiştir. Bu nedenle bu deprem düzeyleri için yürütülen STMİA ve UTMİA'dan elde edilen kapasite eğrileri neredeyse üst üste çakışmaktadır. Tepe deplasman talebinin daha fazla olduğu DD1 deprem düzeyi için yürütülen itme analizlerinde ise binada plastik mafsallar oluşmuş, STMİA ve UTMİA'dan elde edilen kapasite eğrilerinin performans noktasında %3 kadar fark oluşmuştur.



Şekil 4.22: 10 Katlı, zemin katı zayıflatılmış binanın UTMİA sonucunda birinci mod şeklinde meydana gelen değişim (+X).



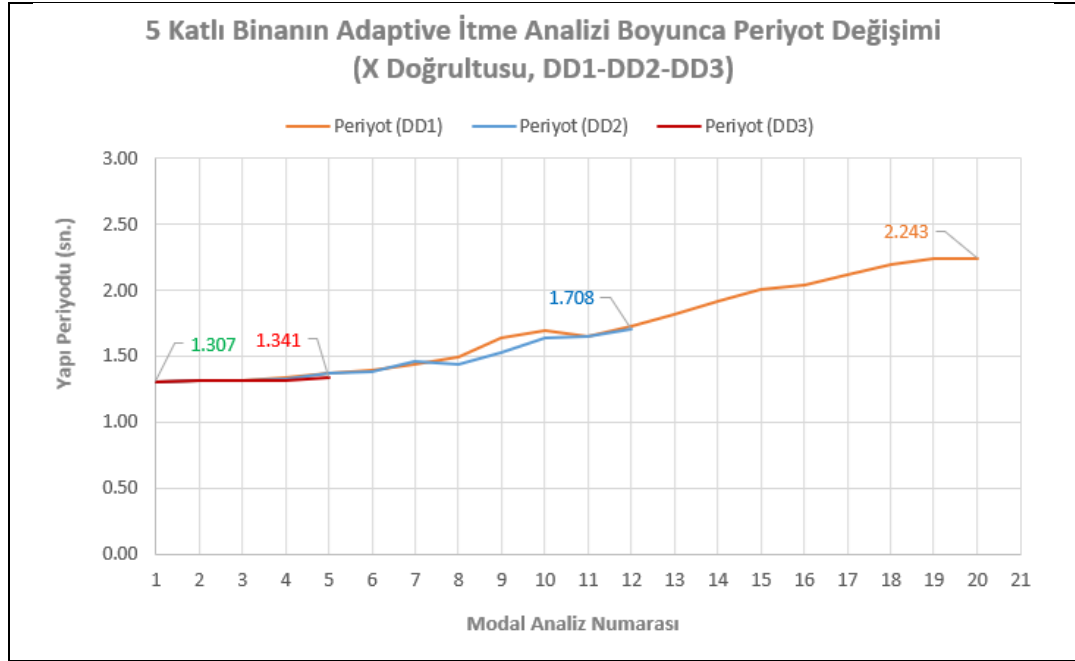
Şekil 4.23: 10 Katlı, zemin katı zayıflatılmış binanın UTMİA sonucunda birinci mod şeklinde meydana gelen değişim (+Y).

Zemin kat kolon donatılarının azaltılmış olduğu 10 katlı bina modeli üzerinde yürütülen UTMİA sonucunda birinci mod şeklinde meydana gelen değişimin gösterildiği yukarıdaki şekiller incelendiğinde, DD1 ve DD2 deprem düzeyleri için yürütülen analizlerde mod şeklinde belirgin bir değişim olduğu görülmektedir. DD3

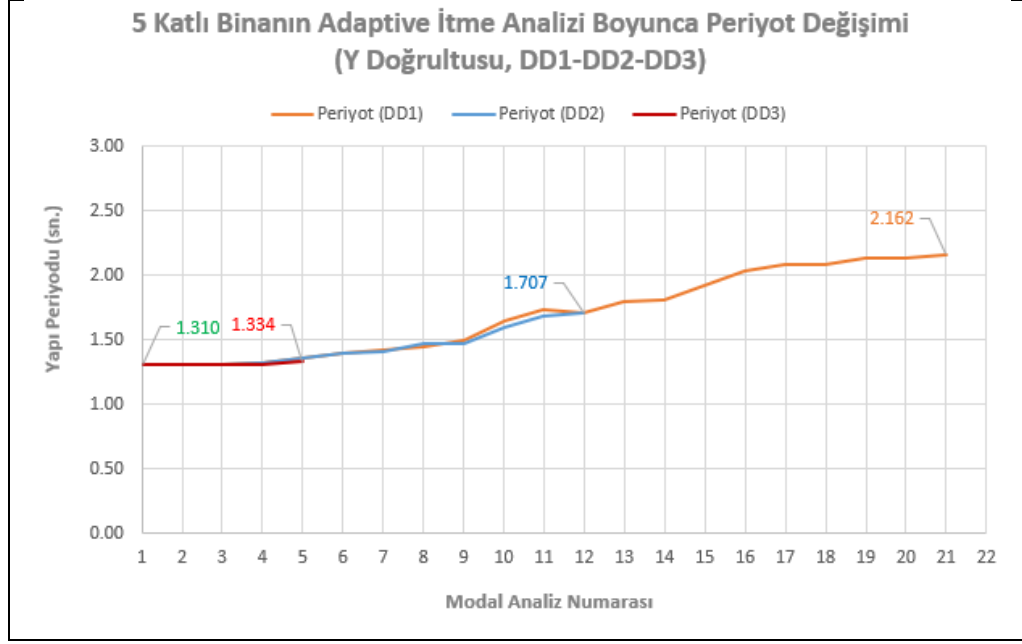
deprem düzeyi için yürütülen analiz sonucunda ise mod şeklinde değişim olmadığı görülmüştür.

4.3.2. Uyarlanan Tek Modlu İtme Analizi Boyunca Bina Periyodunun Değişimi

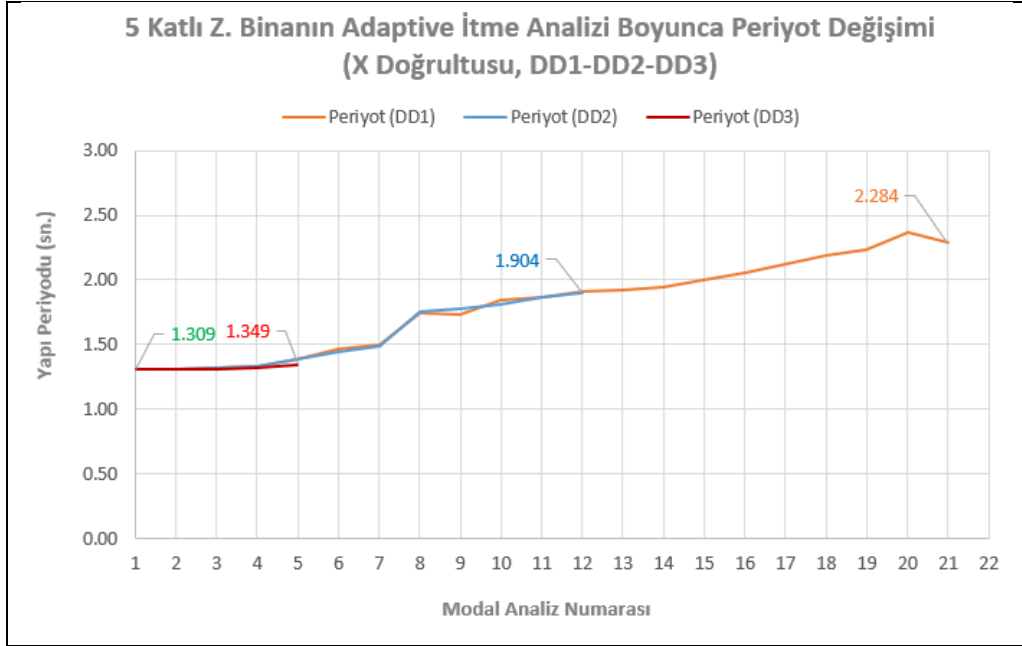
Yürütülen uyarlanan tek modlu itme analizlerinde, yaklaşık her 10mm tepe yer değiştirmesinin ardından taşıyıcı sistem elemanlarında meydana gelen plastik mafsallar dikkate alınarak binanın modal özellikleri tekrar belirlenmiştir. Çalışmada kullanılan 4 farklı bina tipi için birbirine dik iki doğrultuda (X ve Y) yürütülen analizlerde binanın hakim titreşim periyodunda meydana gelen değişimini gösteren tablolar ve grafikler dijital olarak Ek A’da sunulmuştur.



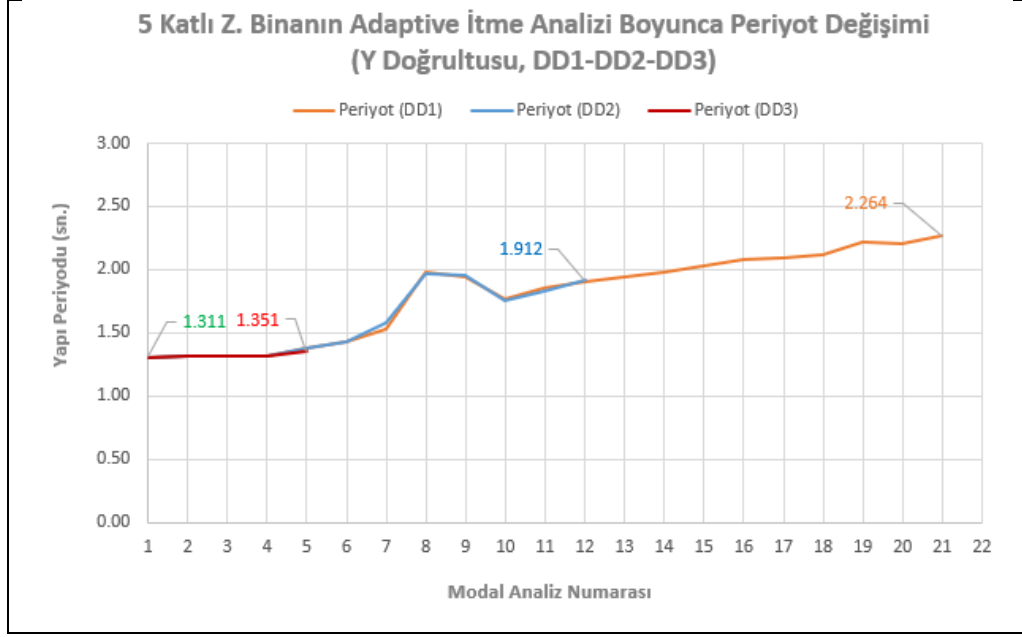
Şekil 4.24: 5 Katlı binanın UTMİA boyunca periyot değişimi (+X).



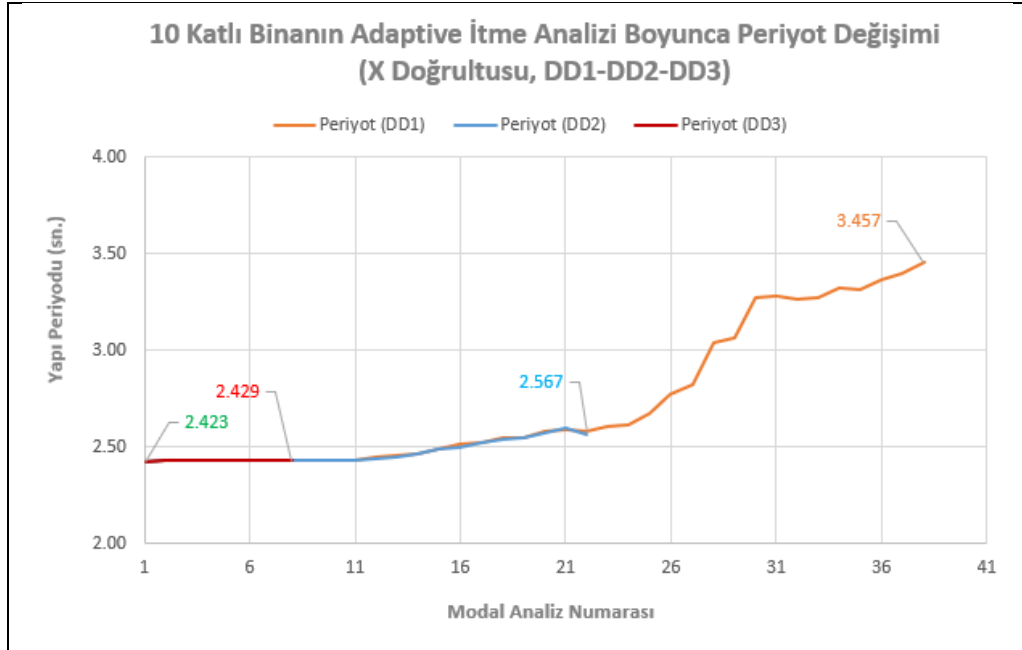
Şekil 4.25: 5 Katlı binanın UTMİA boyunca periyot değişimi (+Y).



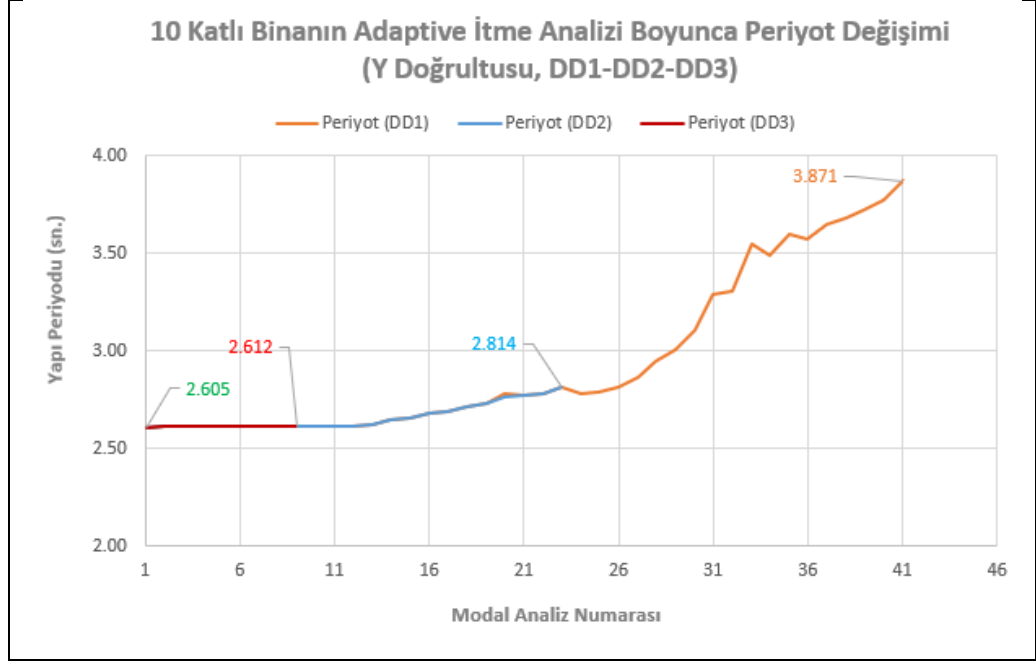
Şekil 4.26: 5 Katlı, zemin katı zayıflatılmış binanın UTMİA boyunca periyot değişimi (+X).



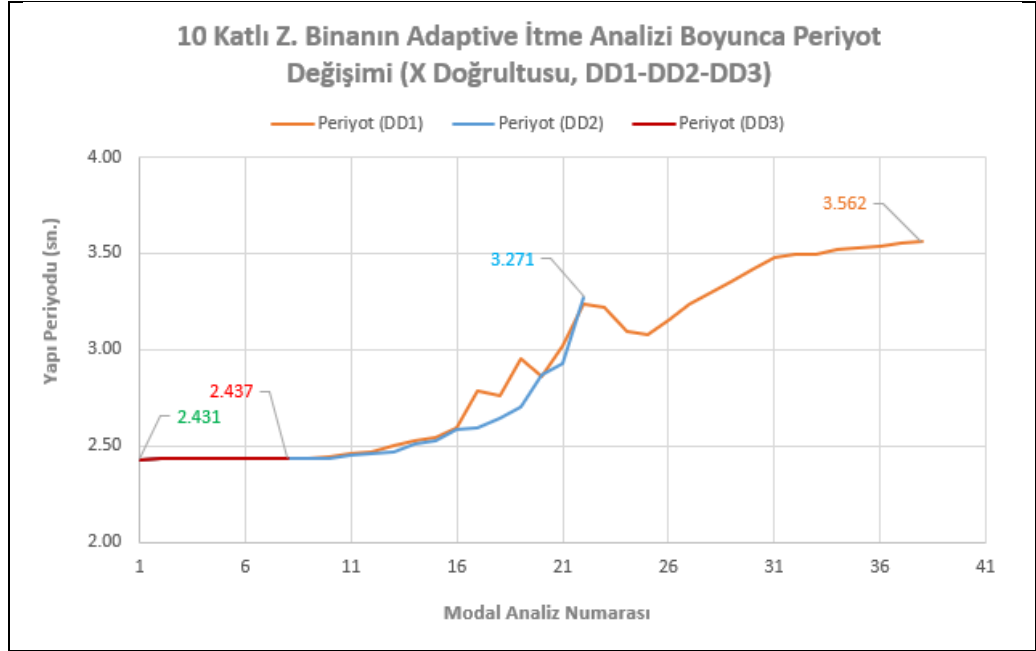
Şekil 4.27: 5 Katlı, zemin katı zayıflatılmış binanın UTMİA boyunca periyot değişimi (+Y).



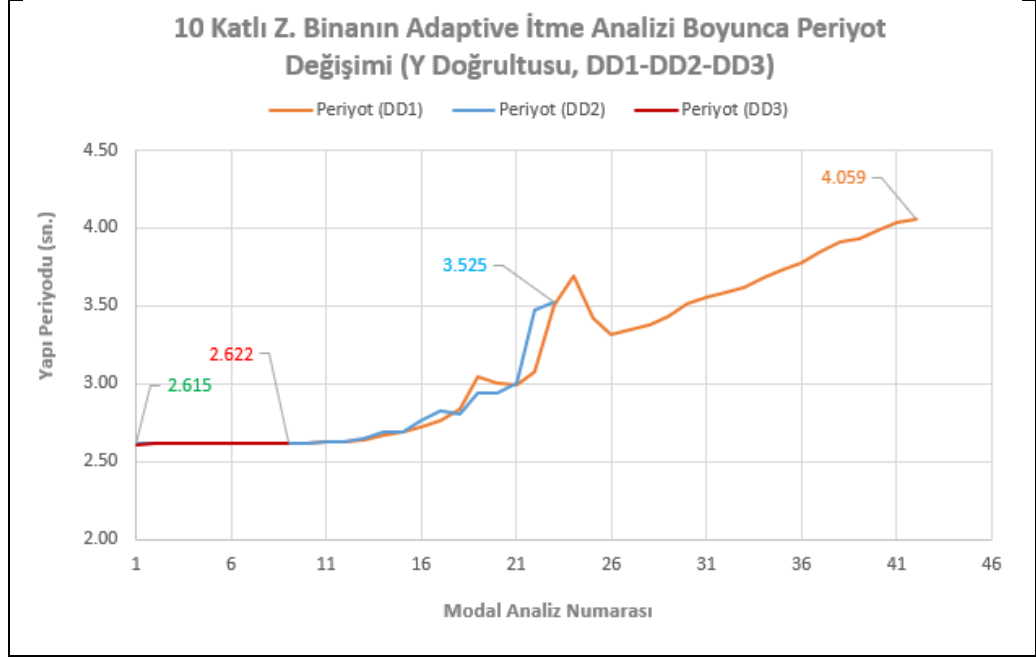
Şekil 4.28: 10 Katlı binanın UTMİA boyunca periyot değişimi (+X).



Şekil 4.29: 10 Katlı binanın UTMİA boyunca periyot değişimi (+Y).



Şekil 4.30: 10 Katlı, zemin katı zayıflatılmış binanın UTMİA boyunca periyot değişimi (+X).



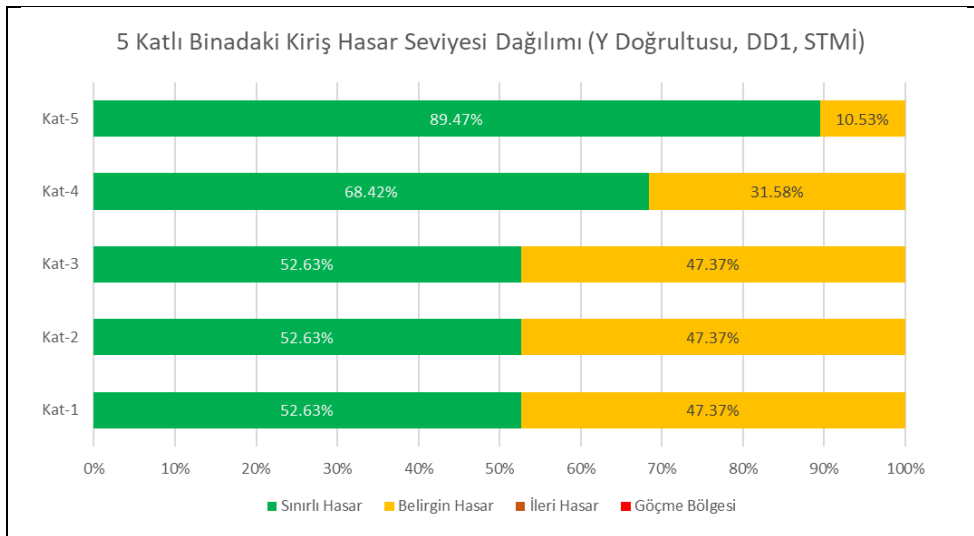
Şekil 4.31: 10 Katlı, zemin katı zayıflatılmış binanın UTMİA boyunca periyot değişimi (+Y).

Periyot değişimi grafiklerinden görüldüğü gibi tez kapsamında kullanılan tüm binaların UTMİA boyunca belirli aralıklarla yürütülen modal analizlerde bina periyodunun beklendiği gibi arttığı tespit edilmiştir. UTMİA’da binanın tepe deplasmanı arttıkça taşıyıcı sistem elemanlarında plastik şekil değiştirmeler meydana gelmekte, dolayısıyla yapı rijitliği giderek azalmaktadır. DD1 deprem düzeyi için gerçekleştirilen analizlerde periyot değişim oranı, 5 katlı binalarda %65-74 aralığında, 10 katlı binalarda %43-55 aralığındadır. DD2 deprem düzeyi için, 5 katlı binalarda %30-46, 10 katlı binalarda %6-35 aralığındadır. DD3 deprem düzeyi içinse 5 katlı binalarda %2-3 aralığında, 10 katlı binalar için %2.5-3 aralığındadır. Sabit tek modlu itme analizlerinde yapı rijitliğindeki bu değişim dikkate alınmamaktadır. Bu nedenle uyarlanan tek modlu itme analizi ile tespit edilen yapı davranışı daha gerçekçidir. DD3 deprem düzeyindeki tepe deplasman taleplerinin az olması ve çalışmada kullanılan binaların bu deplasman talebi karşısında elastik davranış göstermesi nedeniyle STMİA ve UTMİA sonuçlarının çok benzer çıkması beklenmektedir. Ancak DD1 deprem düzeyi için yapılan analizlerde, yapı periyodundaki değişim oranı %70'lere kadar çıktığından dolayı STMİA ve UTMİA sonuçlarında tespit edilen elemanların hasar seviyeleri ve hatta binaların deprem performans seviyelerinde farklılıklar beklenmektedir.

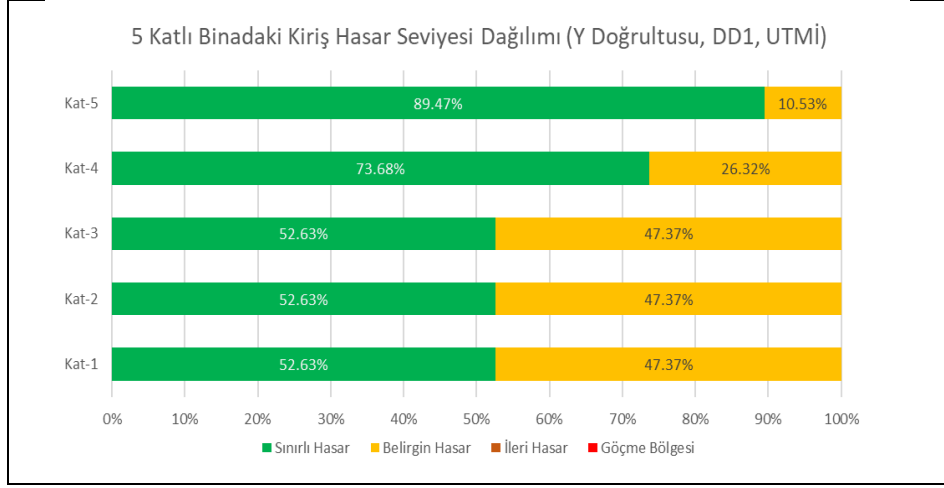
4.3.3. Binaların Performans Noktasındaki Kiriş Hasar Dağılımları

Bu tez çalışması kapsamında yürütülen analizlerin sonucunda binaların tüm kolon ve kirişlerinin performans noktasındaki hasar seviyeleri tespit edilmiştir. Kolonların hasar seviyeleri, elemanların iki ucunda tanımlanan fiber kesitlerdeki şekil değiştirme değerleri kullanılarak belirlenmiştir. Kirişlerin hasar seviyelerinin belirlenmesinde ise, elemanların iki ucundaki plastik mafsallarda meydana gelen plastik dönme değerleri kullanılmıştır. Binalardaki tüm elemanlar (kolonlar ve kirişler) için hasar sınırlarının ve hasar seviyelerinin gösterildiği detaylı tablolar dijital olarak Ek A’da sunulmuştur.

Şekil 4.32, Şekil 4.33, Şekil 4.35 ve Şekil 4.36’daki grafiklerde örnek olarak 5 ve 10 katlı binaların (Bina-1 ve Bina-3) DD1 deprem düzeyi için Y doğrultusundaki STMİA ve UTMİA sonuçlarında tespit edilen kiriş hasar seviyelerinin katlara göre dağılımı gösterilmiştir. Tüm binaların, farklı deprem düzeyleri ve farklı doğrultular için elde edilen hasar seviyesi dağılımı tabloları ve grafikleri dijital olarak Ek A’da sunulmuştur.

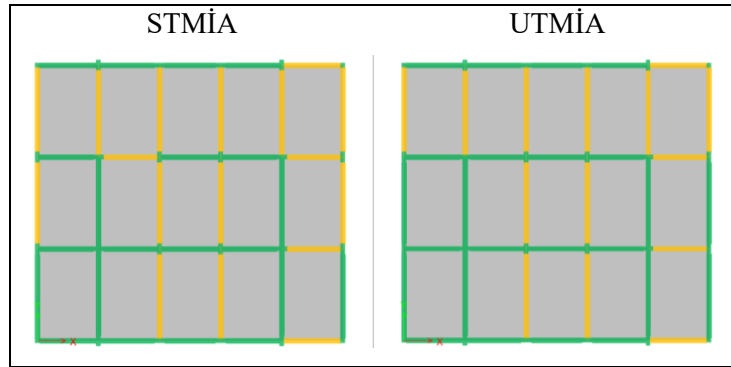


Şekil 4.32: 5 Katlı binanın (Bina-1) STMİA sonucunda tespit edilen kiriş hasar seviyelerinin katlara göre dağılımı (+Y yönü).

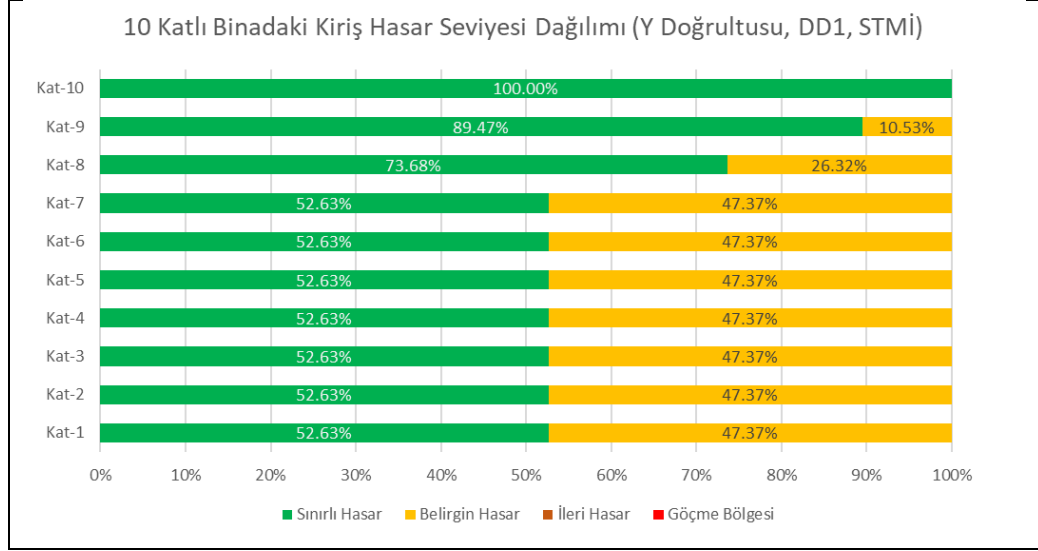


Şekil 4.33: 5 Katlı binanın (Bina-1) UTMİA sonucunda tespit edilen kiriş hasar seviyelerinin katlara göre dağılımı (+Y yönü).

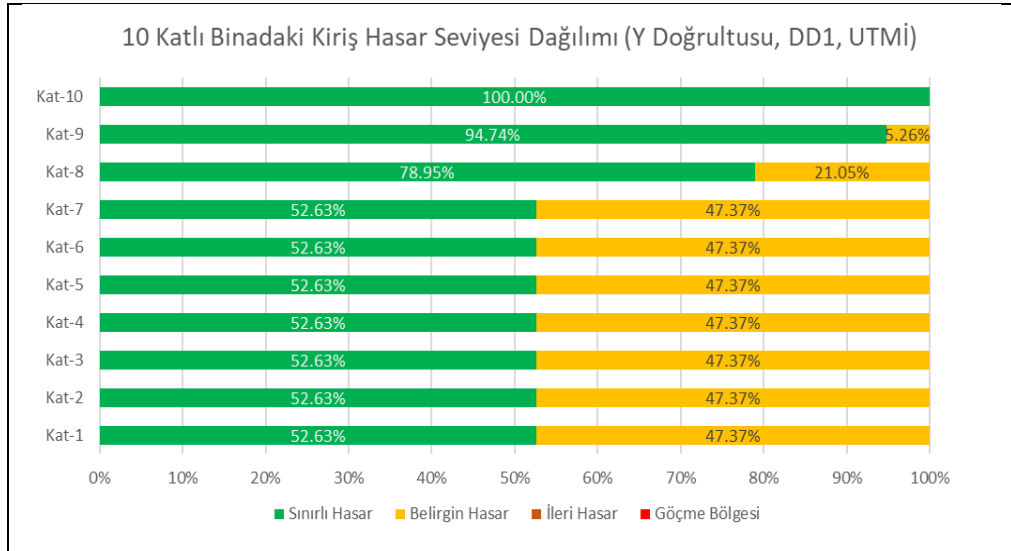
5 katlı binanın ilk üç katındaki kiriş hasar dağılımının, iki analiz sonucunda da aynı olduğu tespit edilmiştir. 4. kat kirişlerinin STMİA'da %31.58'i, UTMİA'da %26.32'si Belirgin Hasar seviyesindedir. 5. kat kirişlerinin hasar dağılımı da her iki analiz tipinin sonucunda aynı bulunmuştur. X ve Y doğrultularında ayrı ayrı yürütülen analiz sonuçları Excel makro uygulaması tarafından değerlendirilerek tüm elemanların hasar seviyeleri tespit edilmiş ve ETABS modelindeki çubuk elemanlar hasar seviyelerine göre renklendirilmiştir. Şekil 4.32 ve Şekil 4.33'te yalnızca Y doğrultusundaki hasar dağılımı verilmiş olan binanın X ve Y doğrultularındaki hasar seviyelerine göre renklendirilmiş olan 4.kat planı Şekil 4.34'te görülebilmektedir. Sınırlı Hasar seviyesindeki elemanlar yeşil, Belirgin Hasar seviyesindeki elemanlar turuncu, İleri Hasar seviyesindeki elemanlar kahverengi ve Göçme Bölgesi'ndeki elemanlar kırmızı renkle gösterilmiştir.



Şekil 4.34: 5 Katlı binanın (Bina-1) STMİA ve UTMİA sonucunda 4.katında tespit edilen kiriş hasar seviyeleri (Deprem düzeyi: DD1).

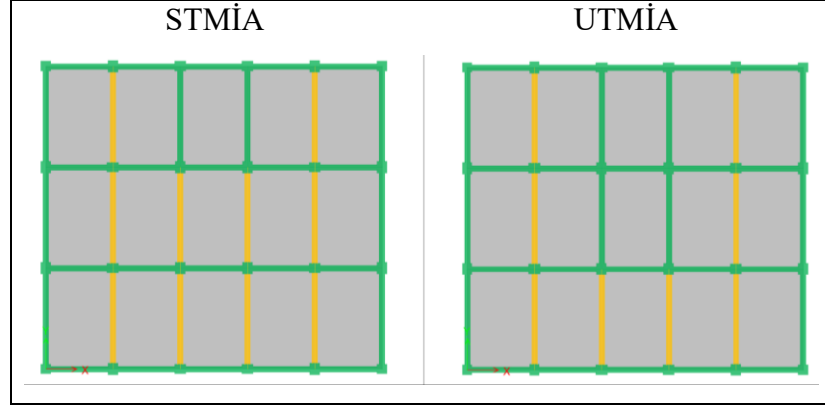


Şekil 4.35: 10 Katlı binanın (Bina-3) STMİA sonucunda tespit edilen kiriş hasar seviyelerinin katlara göre dağılımı (+Y yönü).

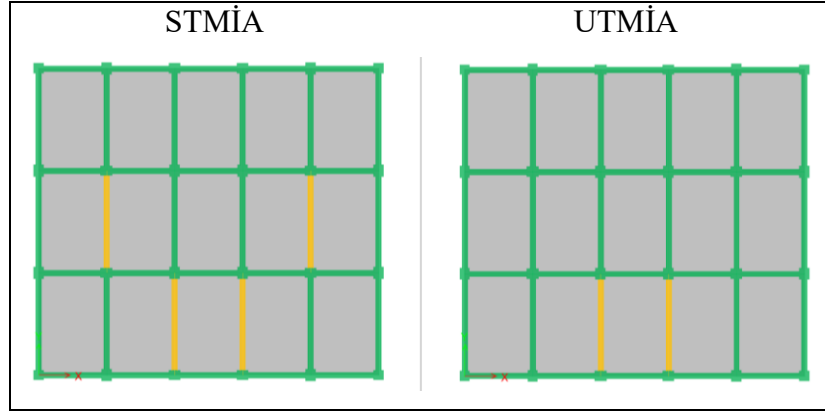


Şekil 4.36: 10 Katlı binanın (Bina-3) UTMİA sonucunda tespit edilen kiriş hasar seviyelerinin katlara göre dağılımı (+Y yönü).

10 katlı binanın ilk yedi katındaki kiriş hasar dağılımının, iki analiz sonucunda da aynı olduğu tespit edilmiştir. 8. kat kirişlerinin STMİA'da %26.32'si, UTMİA'da %21.05'i Belirgin Hasar seviyesindedir. 9. kat kirişlerinin ise STMİA'da %10.53'ü, UTMİA'da %5.26'sı Belirgin Hasar seviyesindedir. Elemanların hasar seviyelerine göre renklendirildiği ETABS modelinden alınan 8 ve 9. kat plan görüntüleri Şekil 4.37 ve Şekil 4.38'de gösterilmiştir:



Şekil 4.37: 10 Katlı binanın (Bina-3) STMİA ve UTMİA sonucunda 8.katında tespit edilen kiriş hasar seviyeleri (Deprem düzeyi: DD1).

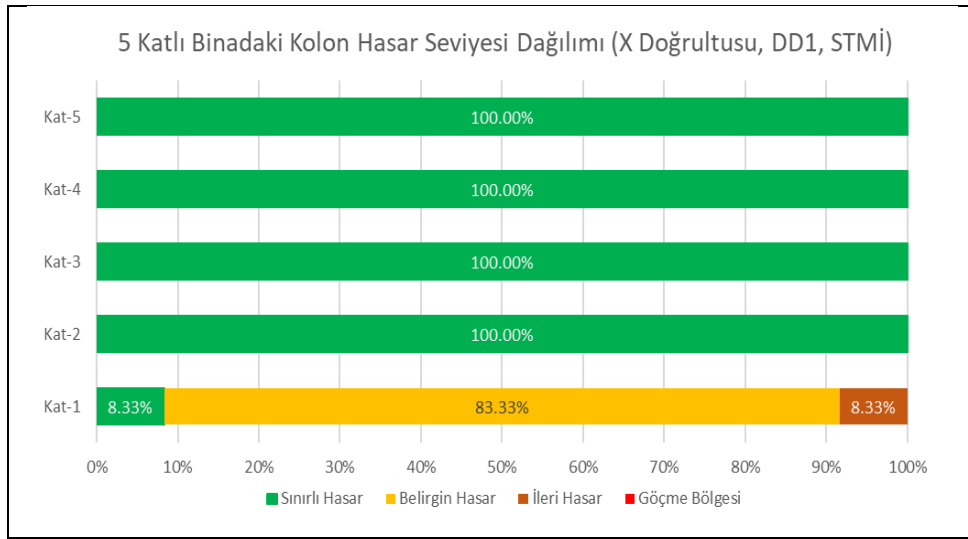


Şekil 4.38: 10 Katlı binanın (Bina-3) STMİA ve UTMİA sonucunda 9.katında tespit edilen kiriş hasar seviyeleri (Deprem düzeyi: DD1).

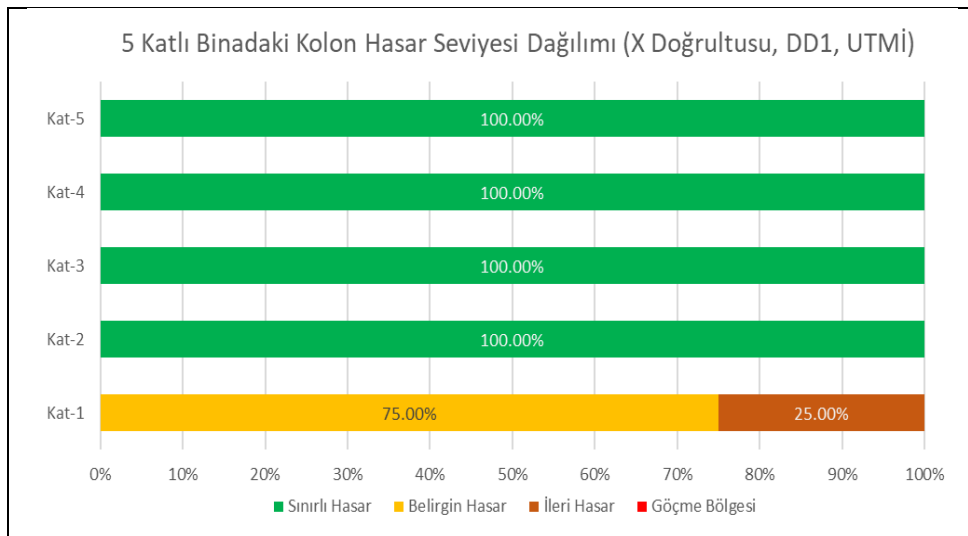
Tez çalışması kapsamında yürütülen tüm analiz sonuçları incelendiğinde iki analiz tipinde de kirişlerdeki hasarların 5 katlı binalarda ilk 3 katta, 10 katlı binalarda ise ilk 7 katta yoğunlaştığı, bununla birlikte bu katlardaki hasar dağılımlarının her iki analiz tipi için de aynı olduğu görülmektedir. Tüm binaların genellikle üst katlarında (son üç katta) STMİA ve UTMİA ile tespit edilen hasar seviyelerinde farklılıklar bulunmaktadır. Analizlerin hiçbirinde İleri Hasar seviyesinde ya da Göçme Bölgesi'nde olan kiriş tespit edilmemiştir. Tüm kirişler ya Sınırlı Hasar ya da Belirgin Hasar seviyesindedir. UTMİA sonucunda üst katlarda tespit edilen Belirgin Hasar seviyesindeki kiriş sayıları, STMİA sonucunda tespit edilenden daha azdır.

4.3.4. Binaların Performans Noktasındaki Kolon Hasar Dağılımları

Şekil 4.39 ve Şekil 4.40'taki grafiklerde örnek olarak 5 ve 10 katlı binaların (Bina-1 ve Bina-3) DD1 deprem düzeyi için yürütülen, X doğrultusundaki STMİA ve UTMİA sonuçlarında tespit edilen kolon hasar seviyelerinin katlara göre dağılımı gösterilmiştir. Tüm binaların, farklı deprem düzeyleri ve farklı doğrultular için elde edilen hasar seviyesi dağılımı tabloları ve grafikleri dijital olarak Ek A'da sunulmuştur.

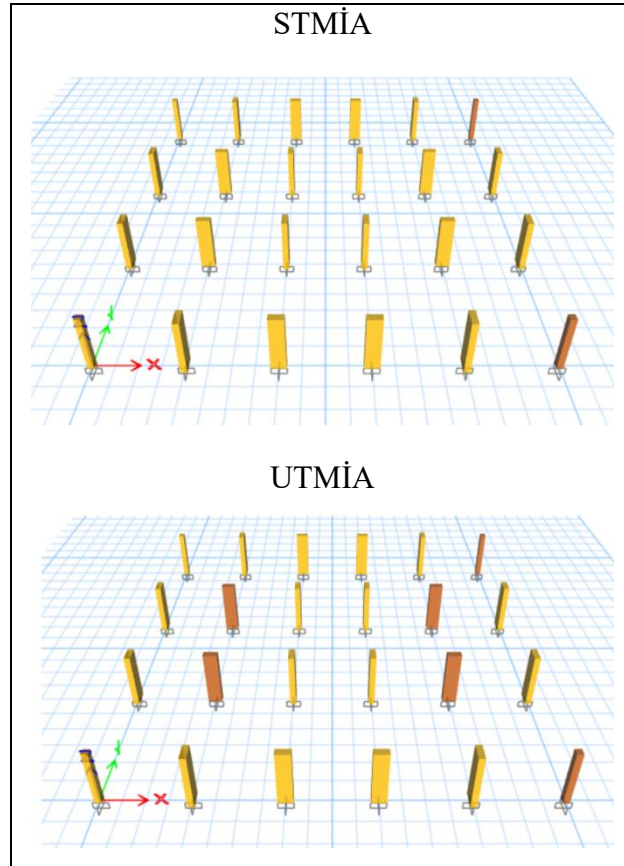


Şekil 4.39: 5 Katlı binanın (Bina-1) STMİA sonucunda tespit edilen kolon hasar seviyelerinin katlara göre dağılımı (+X yönü).

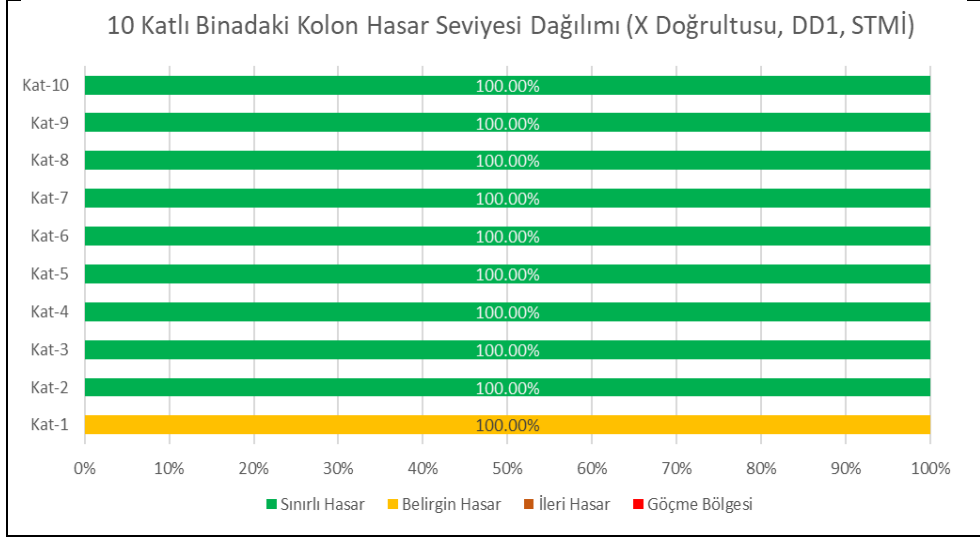


Şekil 4.40: 5 Katlı binanın (Bina-1) UTMİA sonucunda tespit edilen kolon hasar seviyelerinin katlara göre dağılımı (+X yönü).

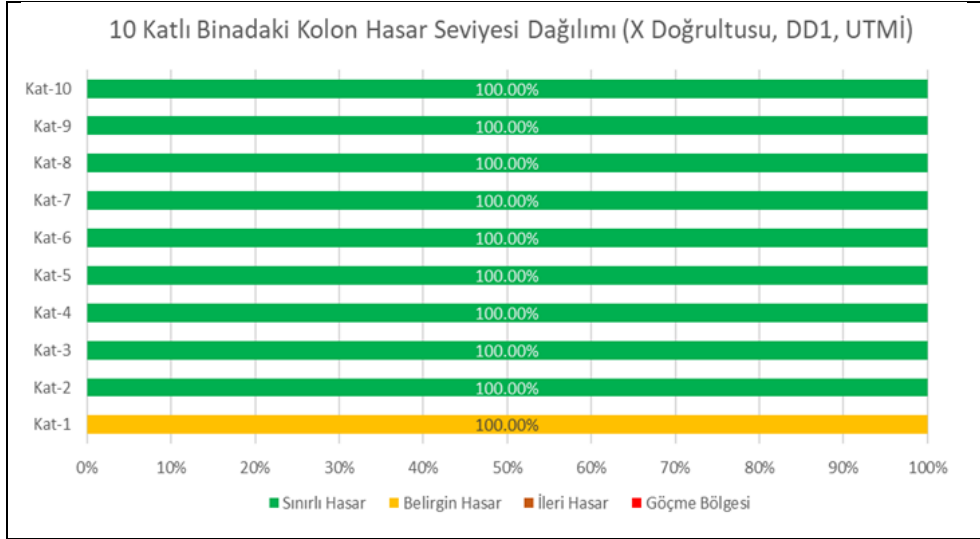
STMİA sonucunda 5 Katlı binanın zemin kat kolonlarının %83.33'ünün Belirgin Hasar (BH) seviyesinde, %8.33'ünün İleri Hasar (İH) seviyesinde ve %8.33'ünün Sınırlı Hasar (SH) seviyesi olduğu tespit edilmiştir. Diğer katlardaki tüm kolonlar SH seviyesindedir. UTMİA sonucu incelendiğinde benzer şekilde zemin kat dışındaki katlarda, tüm kolonların SH seviyesinde olduğu görülmektedir. Bununla birlikte zemin katta BH ve İH seviyelerindeki eleman sayısı STMİA'ya göre daha fazla bulunmuştur. Zemin kat kolonlarının %75'i BH seviyesinde ve %25'i İH seviyesindedir. Zemin katta SH seviyesinde olan kolon bulunmamaktadır. Şekil 4.39 ve Şekil 4.40'ta yalnızca X doğrultusundaki analizler sonucunda tespit edilen hasar dağılımı gösterilmiş olan binanın, X ve Y doğrultularındaki analiz sonuçları dikkate alınarak belirlenen hasar seviyelerine göre renklendirilmiş yapısal analiz modeli görüntüsü Şekil 4.41'de sunulmuştur. Kolay anlaşılabilir olması açısından yalnızca zemin kat kolonları gösterilmiştir. Sınırlı Hasar seviyesindeki elemanlar yeşil, Belirgin Hasar seviyesindeki elemanlar turuncu, İleri Hasar seviyesindeki elemanlar kahverengi ve Göçme Bölgesi'ndeki elemanlar kırmızı renkle gösterilmiştir.



Şekil 4.41: 5 Katlı binanın (Bina-1) STMİA ve UTMİA sonucunda zemin katında tespit edilen kolon hasar seviyeleri (Deprem düzeyi: DD1).

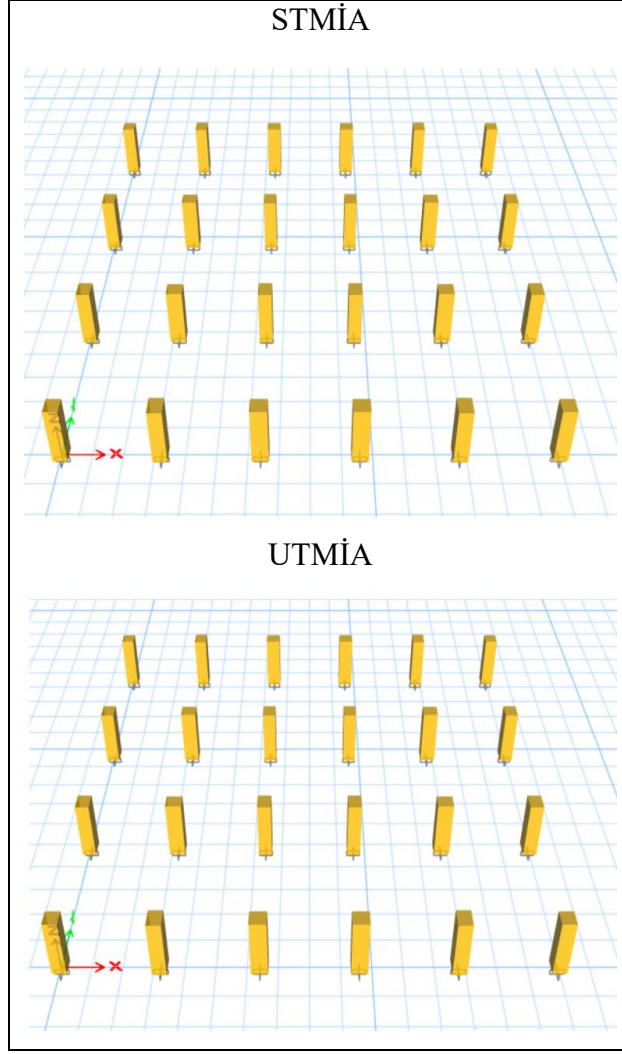


Şekil 4.42: 10 Katlı binanın (Bina-3) STMİA sonucunda tespit edilen kolon hasar seviyelerinin katlara göre dağılımı (+X yönü).



Şekil 4.43: 10 Katlı binanın (Bina-3) UTMİA sonucunda tespit edilen kolon hasar seviyelerinin katlara göre dağılımı (+X yönü).

Şekil 4.42 ve Şekil 4.43'teki grafiklerden görüldüğü üzere 10 katlı binanın DD1 deprem düzeyi için, X doğrultusunda yürütülen STMİA ve UTMİA sonuçlarında tespit edilen eleman hasar seviyeleri aynıdır. Her iki analiz sonucunda da binanın zemin katındaki tüm kolonların Belirgin Hasar seviyesinde olduğu tespit edilmiştir. Diğer katlardaki tüm elemanlar Sınırlı Hasar seviyesindedir. Elemanların hasar seviyelerine göre renklendirildiği yapısal analiz modelinden alınan zemin kat görüntüleri Şekil 4.44'te verilmiştir.



Şekil 4.44: 10 Katlı binanın (Bina-3) STMİA ve UTMİA sonucunda zemin katında tespit edilen kolon hasar seviyeleri (Deprem düzeyi: DD1).

Bu tez çalışması kapsamında yürütülen tüm analiz sonuçları değerlendirildiğinde DD3 düzeyindeki deprem etkisinde hiçbir binada Sınırlı Hasar seviyesini aşan kolon bulunmadığı görülmektedir.

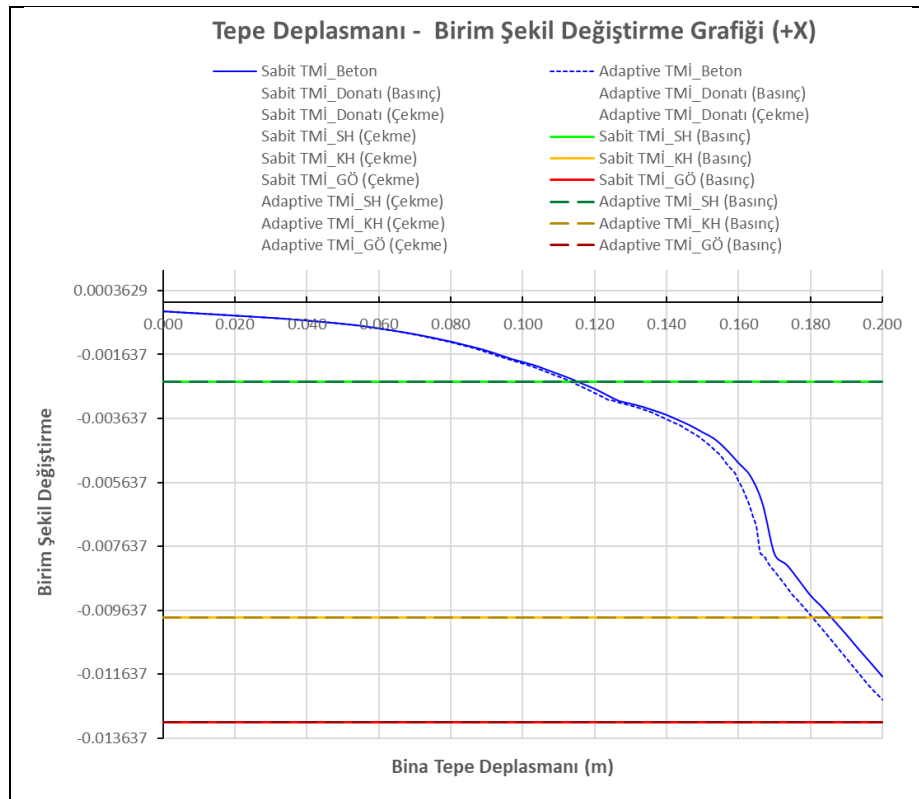
DD2 deprem düzeyi için yürütülen analizlerde, yalnızca 5 katlı binaların zemin kat kolonları SH seviyesini aşmaktadır. STMİA sonuçlarında, Bina-1'in zemin kat kolonlarının %16.67'si BH seviyesindedir. Diğer tüm kolonlar SH seviyesindedir. Bina-2'nin zemin kat kolonlarının %50'si BH seviyesinde, diğer kolonların tamamı SH seviyesindedir. UTMİA sonuçlarında tespit edilen hasar seviyesi oranları STMİA sonuçları ile aynıdır.

DD1 deprem düzeyi için yürütülen analizlerde, 10 katlı binaların (Bina-3 ve Bina-4) hepsinde zemin kat kolonlarının %100'ü BH seviyesindedir. Diğer katlardaki kolonların tamamı SH seviyesindedir. Bu binalar için STMİA ve UTMİA

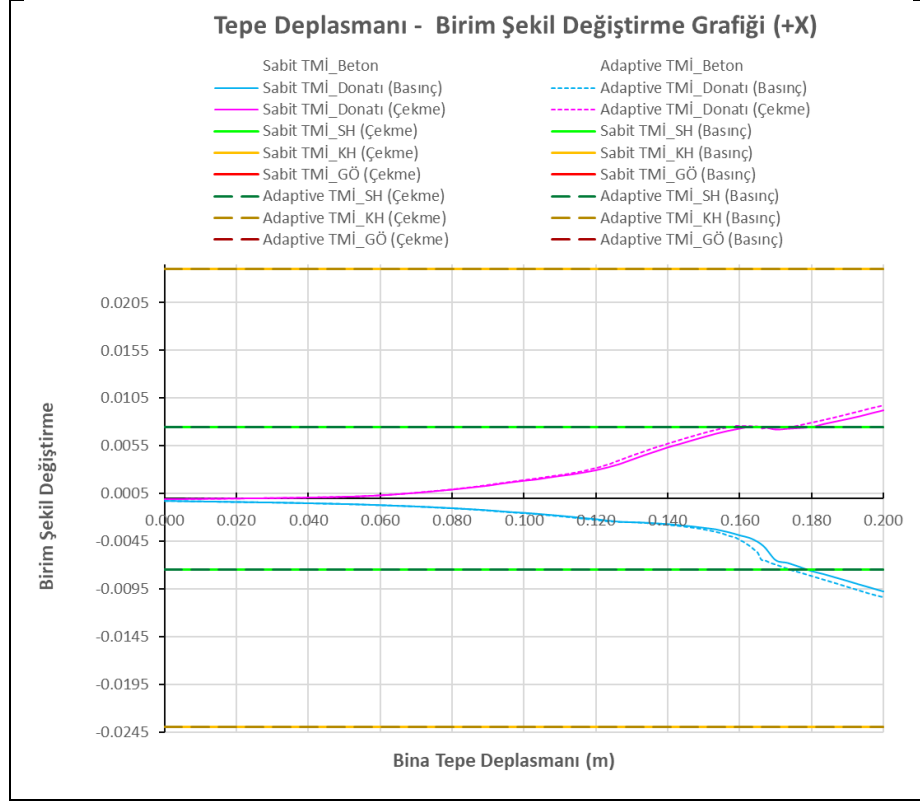
sonuçlarında tespit edilen kolon hasar dağılımları aynıdır. 5 Katlı binalarda (Bina-1 ve Bina-2) ise Şekil 4.39 ve Şekil 4.40’takine benzer sonuçlar elde edilmiştir. Yalnızca zemin kat kolonlarında SH seviyesi aşılmış olup, UTMİA sonuçlarında BH, İH ya da GB seviyesindeki kolon sayılarının STMİA sonuçlarına göre daha fazla olduğu tespit edilmiştir.

4.3.5. Kolonlarda Bina Tepe Deplasmanı – Kesit Birim Şekil Değiştirmesi İlişkisinin İncelenmesi

Geliştirilen Excel makro uygulaması kullanılarak, tüm binaların zemin katından seçilen 5’er adet kolon için bina tepe deplasmanı – kesit birim şekil değiştirmesi ilişkisini gösteren grafikler oluşturulmuştur. Söz konusu grafikler seçilen kolonların alt ve üst uç bölgeleri için, beton ve donatı malzemeleri ayrı ayrı dikkate alınarak oluşturulmuştur. Örnek olarak, 5 ve 10 katlı binaların (Bina-1 ve Bina-3) zemin katındaki “2” numaralı kolonlar için oluşturulan grafikler Şekil 4.45, Şekil 4.46, Şekil 4.47 ve Şekil 4.48’de gösterilmiştir.



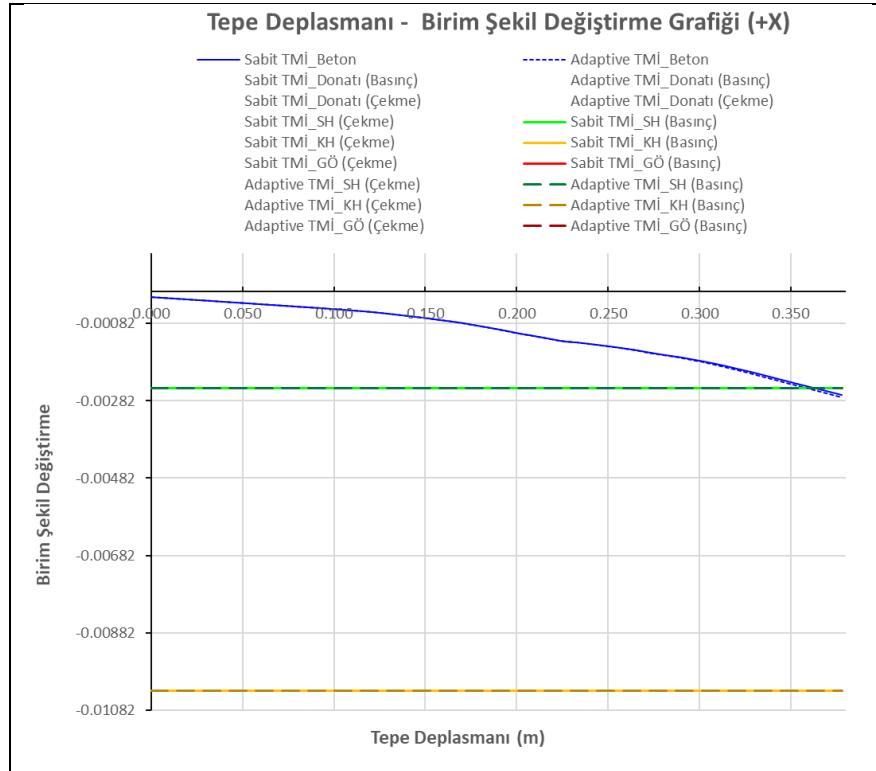
Şekil 4.45: 5 Katlı binanın (Bina-1) “2” numaralı kolonunun STMİA ve UTMİA sonuçlarından elde edilen bina tepe deplasmanı – birim şekil değiştirmesi ilişkisi (DD1, +X yönü, alt uç, beton).



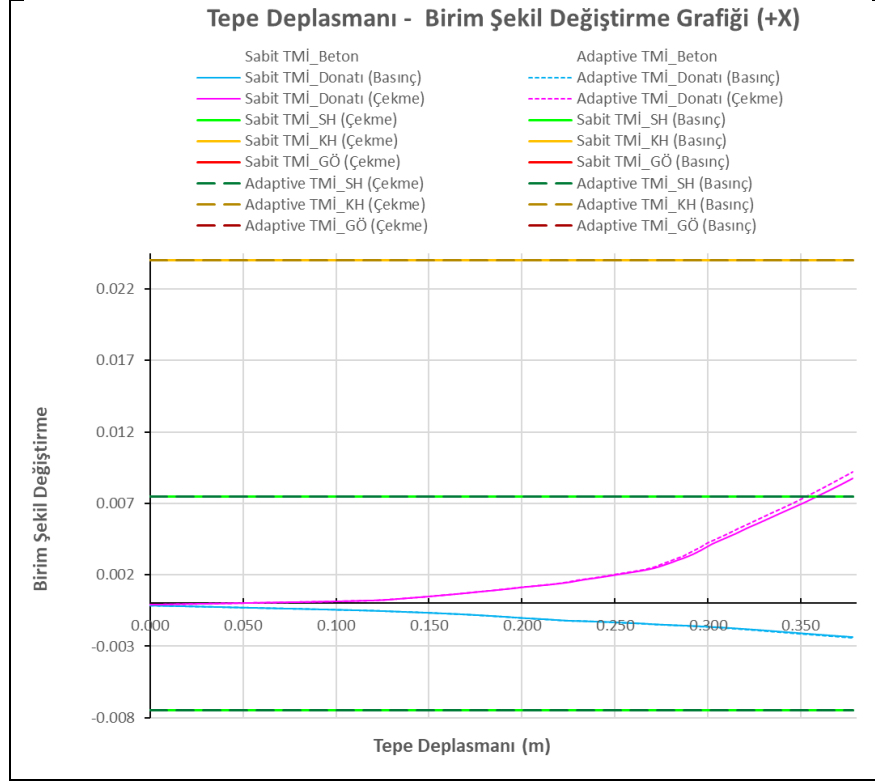
Şekil 4.46: 5 Katlı binanın (Bina-1) “2” numaralı kolonunun STMİA ve UTMİA sonuçlarından elde edilen bina tepe deplasmanı – birim şekil değiştirmesi ilişkisi (DD1, +X yönü, alt uç, donatı).

Şekil 4.45’te 5 katlı binanın (Bina-1) zemin katında bulunan bir kolonun alt uç bölgesindeki kesiti için, STMİA ve UTMİA boyunca artan bina tepe deplasmanına bağlı olarak kesitteki maksimum beton birim şekil değiştirme değerleri gösterilmiştir. Bununla birlikte kesitin hasar sınır değerleri yatay çizgilerle grafik üzerinde işaretlenmiştir. Yeşil renk Sınırlı Hasar (SH) sınırını, turuncu renk Kontrollü Hasar (KH) sınırını ve kırmızı renk Göçme Öncesi (GÖ) hasar sınırını göstermektedir. Hedef tepe deplasmanına karşılık gelen birim şekil değiştirme değerinin hangi sınırların arasında kaldığı, söz konusu kesitin hasar seviyesini göstermektedir. Performans noktasındaki birim şekil değiştirme değeri SH sınırına ulaşmayan kesit Sınırlı Hasar Bölgesi’nde, SH ile KH sınırları arasında kalan kesit Belirgin Hasar Bölgesi’nde, KH ile GÖ sınırları arasında kalan kesit İleri Hasar Bölgesi’nde, GÖ sınırını aşan kesit ise Göçme Bölgesi’nde yer alır. Kesit hasar sınırları STMİA ve UTMİA için ayrı ayrı gösterilmiştir. Çünkü, her iki analiz sonucunda kesit için hesaplanan kesme kuvveti oranı farklı olabileceğinden, TBDY-2018 Madde 15.7.1.4’e göre hesaplanan birim şekil değiştirme düzeltme katsayısı da farklı olabilmektedir. Şekil 4.45 incelendiğinde,

iki analiz sonucunda da kesitin İleri Hasar seviyesinde bulunduğu anlaşılmaktadır. Ancak performans noktasında (0.20m) UTMİA sonucunda bulunan beton birim şekil değiştirme değerinin STMİA'ya göre daha büyük olduğu görülmektedir. Binanın tepe deplasman değeri arttıkça, iki analiz sonucunda hesaplanan birim şekil değiştirme değerleri arasındaki farkın giderek arttığı tespit edilmiştir. Şekil 4.46'da kesitte bulunan çekme ve basınç etkisi altındaki donatılar için bina tepe deplasmanı – birim şekil değiştirme grafiği verilmiştir. Bu grafikte de donatı şekil değiştirme sınırları işaretlenmiştir. Grafikten görüldüğü üzere binanın performans noktasında (0.20m) çekme ve basınç etkisi altındaki donatılar SH sınırını aşmıştır. Bu durumda donatılar Belirgin Hasar seviyesindedir. Betonda meydana gelen şekil değiştirmeler Belirgin Hasar seviyesinden daha ileri bir hasar seviyesine (İH) karşılık geldiği için, kesitin hasar seviyesi İH olarak belirlenmiştir. Bina tepe deplasmanı arttıkça, STMİA ve UTMİA ile hesaplanan birim şekil değiştirme değerleri arasındaki fark giderek artmaktadır.



Şekil 4.47: 10 Katlı binanın (Bina-3) “2” numaralı kolonunun STMİA ve UTMİA sonuçlarından elde edilen bina tepe deplasmanı – birim şekil değişirgesi ilişkisi (DD1, +X yönü, alt uç, beton).



Şekil 4.48: 10 Katlı binanın (Bina-3) “2” numaralı kolonunun STMİA ve UTMİA sonuçlarından elde edilen bina tepe deplasmanı – birim şekil değiştirmesi ilişkisi (DD1, +X yönü, alt uç, donatı).

Şekil 4.47’de 10 katlı binanın (Bina-3) zemin katında bulunan bir kolonun alt uç bölgesindeki kesiti için, STMİA ve UTMİA boyunca artan bina tepe deplasmanına bağlı olarak kesitteki maksimum beton birim şekil değiştirme değerleri gösterilmiştir. Binanın performans noktasında (0.378m) hesaplanan maksimum beton birim şekil değiştirme değerinin SH ile KH sınırları arasında kaldığı görülmektedir. Bu durumda betonun şekil değiştirmesine göre belirlenen hasar seviyesi BH seviyesidir. Grafikten görüldüğü üzere binanın performans noktasında dahi iki analiz sonucunda elde edilen birim şekil değiştirme değerleri birbirine çok yakındır (-0.002659 ve -0.002733). Şekil 4.48’de kesitte bulunan çekme ve basınç etkisi altındaki donatılar için bina tepe deplasmanı – birim şekil değiştirme grafiği verilmiştir. Binanın performans noktasında çekme etkisi altındaki donatı birim şekil değiştirmesinin SH sınırını aştığı, basınç etkisi altındaki donatı birim şekil değiştirmesinin SH sınırının altında kaldığı görülmektedir. Bu durumda kesitin Belirgin Hasar seviyesinde olduğu anlaşılmaktadır. 10 katlı binanın STMİA ve UTMİA sonuçlarından elde edilen donatı birim şekil değiştirme değerlerinin de birbirine yakın olduğu tespit edilmiştir.

Tüm binalar için bina tepe deplasmanı - birim şekil değiştirme ilişkisini gösteren grafikler incelendiğine, bu ilişkiyi gösteren eğrinin eğiminin düşük olduğu durumlarda sabit tek modlu itme analizi ve uyarlanan tek modlu itme analizi sonuçlarının birbirine çok yakın çıktığı, eğrinin eğiminin daha fazla olduğu durumlarda iki analizden elde edilen sonuçlar arasındaki farkın giderek arttığı tespit edilmiştir. Söz konusu eğrinin eğiminin, kesitin rijitliği ile ilişkili olduğu söylenebilir. Yüksek rijitliğe sahip olan kesitlerde, artan bina tepe deplasmanına karşılık kesitte meydana gelen şekil değiştirmeler daha az olacaktır. Bu durum tepe deplasmanı ile birim şekil değiştirme ilişkisini gösteren eğrinin düşük bir eğime sahip olması anlamına gelmektedir. Rijitliği düşük kesitlerde ise bina tepe deplasmanı arttıkça kesitte oluşan birim şekil değiştirmeler daha hızlı artacaktır. Bu durumda söz konusu eğrinin eğimi daha dik olacaktır. 5 katlı binanın (Bina-1) 30x30cm boyutlarındaki kolon kesiti için oluşturulan Şekil 4.45'teki grafik ile 10 katlı binanın (Bina-3) 60x60cm boyutlarındaki kolon kesiti için oluşturulan Şekil 4.47'deki grafik bu duruma örnek olarak gösterilebilir.

4.3.6. Binaların Deprem Performans Seviyeleri

Bu tez çalışması kapsamında oluşturulan Excel makro uygulaması kullanılarak, yürütülen analizler sonucunda tüm elemanların hasar seviyeleri tespit edilmiş ve TBDY-2018 Bölüm 15.8'de bina performans düzeyleri için belirtilen kriterlere göre değerlendirme yapılmıştır. X ve Y doğrultularında yürütülen itme analizleri sonucunda tespit edilen bina deprem performans seviyeleri Tablo 4.9 ve Tablo 4.10'da özetlenmiştir.

Tablo 4.9: Binaların deprem performans seviyeleri (+X).

	+X Yönü					
	DD1		DD2		DD3	
	STMİA	UTMİA	STMİA	UTMİA	STMİA	UTMİA
Bina-1	KH	GÖ	KH	KH	SH	SH
Bina-2	GD	GD	KH	KH	SH	SH
Bina-3	KH	KH	SH	SH	SH	SH
Bina-4	GD	GD	SH	SH	SH	SH

Tablo 4.10: Binaların deprem performans seviyeleri (+Y).

	+Y Yönü					
	DD1		DD2		DD3	
	STMİA	UTMİA	STMİA	UTMİA	STMİA	UTMİA
Bina-1	KH	KH	SH	SH	SH	SH
Bina-2	GD	GD	KH	KH	SH	SH
Bina-3	KH	KH	SH	SH	SH	SH
Bina-4	GD	GD	SH	SH	SH	SH

Görüldüğü üzere Bina-1'in deprem performans seviyesi, DD1 deprem düzeyi için X doğrultusunda yürütülen STMİA sonucuna Kontrollü Hasar, UTMİA sonucunda ise Göçmenin Önlenmesi olarak tespit edilmiştir. Diğer tüm binalar için iki tip analiz sonucunda tespit edilen deprem performans seviyeleri aynıdır. Bu durum, söz konusu STMİA ve UTMİA sonuçlarında tespit edilen eleman hasar seviyelerinde farklılıklar bulunsa da incelenen binaların çoğunda performans seviyesini değiştirecek kadar büyük farklar oluşmadığını göstermektedir.

5. SONUÇLAR

Bu tez çalışmasında, taşıyıcı sistemleri betonarme moment çerçevelerinden oluşan dört farklı binanın deprem performans seviyeleri, sabit tek modlu itme analizi (STMİA) ve uyarlanan tek modlu itme analizi (UTMİA) yöntemleri kullanılarak TBDY-2018 Bölüm-15 kapsamında belirlenmiştir. İki analiz yönteminden elde edilen sonuçlar kıyaslanmıştır. Bununla birlikte söz konusu analiz yöntemlerinin ETABS programında hızlı bir şekilde uygulanmasını ve sonuçlarının değerlendirilmesini sağlayan bir Excel makro uygulaması geliştirilmiştir.

Yürütülen analizlerden elde edilen sonuçlar değerlendirildiğinde aşağıdaki çıkarımlar yapılabilmektedir:

- Deprem talebinin düşük olduğu durumlarda STMİA ve UTMİA yöntemleri birbirine çok yakın sonuçlar vermektedir. Deprem talebi arttıkça iki analizden elde edilen sonuçlar arasındaki fark da artmaktadır.
- Binanın taşıyıcı elemanlarında meydana gelen plastik şekil değiştirmeler arttıkça, STMİA ve UTMİA yöntemlerinden elde edilen kapasite eğrileri farklılaşmaktadır. Düşük dayanımlı ve/veya deprem düzeyinin yüksek olduğu binalarda iki analiz sonucu arasında belirgin farklar meydana gelmektedir.
- DD1 deprem düzeyi için yürütülen UTMİA sonucunda, binaların mod şekillerinde belirgin değişimler meydana gelmiş ve birinci mod periyotlarındaki artış oranının %70'lere kadar çıktığı tespit edilmiştir.
- STMİA ve UTMİA sonuçlarından elde edilen eleman hasar seviyesi dağılımı arasındaki fark, özellikle DD1 deprem düzeyi için yapılan analizlerde belirgin bir şekilde ortaya çıkmıştır.
- Binalardaki kiriş hasar seviyesi dağılımları incelendiğinde, iki analiz tipi arasındaki farklılığın daha çok üstteki 2 ya da 3 katta belirginleştiği görülmüştür.
- Düşük dayanımlı ve/veya deprem düzeyinin yüksek olduğu binalarda STMİA ve UTMİA sonucunda belirlenen deprem performans seviyesi farklılık gösterebilmektedir.
- Rijitliği yüksek olan binalarda STMİA ve UTMİA birbirine çok yakın sonuçlar vermektedir.

- UTMİA yönteminde, analiz boyunca meydana gelen plastik şekil değiştirmeler dikkate alınarak bina davranışı STMİA yöntemine göre daha gerçekçi bir şekilde tespit edilebilmektedir.

Tez çalışması kapsamında geliştirilen Excel makro uygulaması etkin bir şekilde çalışmaktadır. Hem STMİA yöntemi hem de UTMİA yöntemi ETABS programı kullanılarak hızlı bir şekilde uygulanabilmekte ve sonuçları TBDY-2018 yönetmeliği kapsamında değerlendirilerek binaların deprem performans seviyeleri otomatik olarak tespit edilebilmektedir. Bu çalışmanın, geleneksel sabit tek modlu itme analizi yerine, bazı durumlarda daha gerçekçi sonuçlar sağlayabilen alternatif bir itme analizi yönteminin pratikte kullanılabilmesine yönelik önemli bir adım olduğu düşünülmektedir.

Gelecekteki çalışmalarda, Excel makro uygulaması daha da geliştirilerek uyarlanan tek modlu itme analizi yöntemi, farklı tipte taşıyıcı sistemlere sahip binalar için de kullanılabilir. STMİA ve UTMİA yöntemlerinin sonuçları farklı malzeme dayanımlarına sahip binalar için ya da farklı geometrideki binalar için de karşılaştırılabilir. UTMİA yönteminin sonuçlarının Zaman tanım alanında doğrusal olmayan analiz yönteminin sonuçları ile karşılaştırılması, yöntemin etkinliğini belirlemek amacıyla yapılacak önemli bir çalışma konusu olabilir.

KAYNAKLAR

- Antoniou S., Pinho R., (2004), “Advantages and Limitations of Adaptive and Non-Adaptive Force-Based Pushover Procedures”, *Journal of Earthquake Engineering*, 8 (4), 497–522.
- Aydinoğlu M.N., (2003), “An Incremental Response Spectrum Analysis Based on Inelastic Spectral Displacements for Multi-Mode Seismic Performance Evaluation”, *Bulletin of Earthquake Engineering*, 1 (1), 3-36.
- Aydinoğlu M.N., Önem G., (2007), “Artımsal Spektrum Analizi (ARSA) Yönteminin Değerlendirilmesi”, *Altıncı Ulusal Deprem Mühendisliği Konferansı*, İstanbul, Türkiye, 16-20 Ekim.
- Bracci J.M., Kunnath S.K., Reinhorn A.M., (1997), “Seismic Performance and Retrofit Evaluation of RC Structures”, *ASCE, ST Division 123* (1), 3-10.
- Chopra A.K., Goel R.K., (2001), “A Modal Pushover Analysis Procedure for Estimating Seismic Demands for Buildings”, *Earthquake Engineering and Structural Dynamics*, 31, 561-582.
- Chopra A.K., Goel R.K., Chintanapakdee C., (2004), “Evaluation of a Modified MPA Procedure Assuming Higher Modes as Elastic to Estimate Seismic Demands”, *Earthquake Spectra*, 20 (3), 757–778.
- Fajfar R., (2022), “The Story of the N2 Method”, *International Association for Earthquake Engineering*, January 2022.
- Freeman S.A., (2004), “Review of the Development of the Capacity Spectrum Method”, *ISET Journal of Earthquake Technology*, 41 (1), 1-13.
- Gupta B., Kunnath S.K., (2000), “Adaptive Spectra-Based Pushover Procedure for Seismic Evaluation of Structures”, *Earthquake Spectra*, 16 (2), 367–391.
- Li Yonghui R., (1996), “Nonlinear Time History and Push-Over Analyses for Seismic Design and Evaluation”, *PhD Thesis*, The University of Texas, Austin, TX, USA.
- Mahaney J.A., Paret T.F., Kehoe B.E. Freeman S.A., (1993), “The Capacity Spectrum Method for Evaluating Structural Response During the Loma Prieta Earthquake”, *Proceedings of the 1993 United States National Earthquake Conference*, 2, 501-510, Memphis, TN, USA.
- Özmen H.B., İnel M., Bilgin H., (2007), “Betonarme Elemanların Doğrusal Ötesi Davranışlarının Modellenmesi”, *Altıncı Ulusal Deprem Mühendisliği Konferansı*, 207-216, İstanbul, Türkiye, 16-20 Ekim.

Paret T.F., Sasaki K.K., Eilbeck D.H., Freeman S.A., (1996), “Approximate Inelastic Procedures to Identify Failure Mechanisms from Higher Mode Effects”, Proceedings of 11th World Conference on Earthquake Engineering, 966, Acapulco, MEX, USA.

Poursha M., Khoshnoudian F., Moghadam A., (2009), “A Consecutive Modal Pushover Procedure for Estimating the Seismic Demands of Tall Buildings”, Engineering Structures 31 (2), 591–599.

ResGaz1, (2018), “Türkiye Bina Deprem Yönetmeliği”, 18 Mart 2018 tarih ve 30364 sayılı Resmi Gazete.

ResGaz2, (2007), “Deprem Bölgelerinde Yapılacak Binalar Hakkında Yönetmelik”, 6 Mart 2007 tarih ve 26454 sayılı Resmi Gazete.

Sucuoğlu H., (2006), “2007 Deprem Yönetmeliği Performans Esaslı Hesap Yöntemlerinin Karşılıklı Değerlendirmesi”, Türkiye Mühendislik Haberleri, 4-5 (444-445), 24-36.

ÖZGEÇMİŞ

Özcan Yılmaz, lise eğitimini Nevzat Ayaz Anadolu Lisesi'nde tamamlamış ve 2009 yılında Pamukkale Üniversitesi İnşaat Mühendisliği Bölümü'nde lisans eğitimine başlamıştır. 2013 yılında bu bölümden İnşaat Mühendisi olarak mezun olmuştur. Mezun olduktan sonra iki yıl boyunca saha mühendisi olarak çalışmış, ardından üç yıl boyunca bir mühendislik firmasında betonarme binaların tasarımında görev almıştır. 2019 yılından bu yana Sismodinamik adlı firmada yapı mühendisi olarak mevcut binaların deprem performansının değerlendirilmesi, güçlendirilmesi ve yeni yapılacak yapıların tasarımı konularında çalışmaktadır.

EKLER

Ek A: Diğer Ekler

Çalışma sonucunda elde edilen tüm grafik ve tablolara erişim bağlantısı:

https://github.com/gtuinsaatt/EQE_MSc-Ozcan_Yilmaz